

П-168

1

Азәрбајҹан ССР
Елмләр Академијасы
Академия наук
Азербайджанской ССР

ISSN 0002-3078

МӘРҮЗЭЛӘР ДОКЛАДЫ

ЧИЛД

XLI

ТОМ

1

1985

ДАИ Азерб. ССР публикует краткие сообщения об оригинальных, нигде не опубликованных ранее, результатах научных исследований, представленные академиками АИ Азерб. ССР, которые тем самым берут на себя ответственность за научные достоинства представляемой статьи.

В «Докладах» не публикуются крупные статьи, механически разделенные на ряд отдельных сообщений, статьи полемического характера, без новых фактических сообщений, статьи полемического характера, без новых фактических данных, статьи с описанием промежуточных опыта, без определенных выводов и обобщений, чисто методические статьи, если предлагаемый метод не является принципиально новым, и также статьи по систематике растений и животных (за исключением описания особо интересных для науки находок).

Будучи органом срочной информации, журнал «ДАИ Азерб. ССР» принимает и отбирает к печати статьи, объем которых допускает их публикацию в установленные решением Президиума АИ Азерб. ССР сроки.

В связи со всеми перечисленными ограничениями отклонение статьи редакцией «Доклады АИ Азерб. ССР» означает только, что она не согласуется с требованиями и возможностями этого журнала и не исключает ее публикации в других изданиях.

ПРАВИЛА ДЛЯ АВТОРОВ

Редакция журнала «Доклады АИ Азерб. ССР» просит авторов руководствоваться приведенными правилами и надеется, что авторы ознакомятся с ними прежде, чем пришлют статью в редакцию.

Статьи, присланные без соблюдения этих правил, к рассмотрению не принимаются.

1. Статьи, направляемые в редакцию, должны иметь представление члена АИ СССР или академика АИ Азерб. ССР, если это требуется (см. выше).

Статьи с просьбой направить их на представление редакции не принимаются.

2. Статьи публикуются по мере поступления. Единственным поводом для внеочередной публикации является исключительная важность сообщения и соображения приоритета. Для этого необходимо специальное решение редколлегии.

3. Как правило, редакция направляет представленные статьи на рецензию.

4. «Доклады» помещают не более трех статей одного автора в год. Это правило не распространяется на членов АИ СССР, академиков Академии наук Азерб. ССР.

5. Авторы должны определить раздел, в который следует поместить статью, а также дать индекс статьи по Универсальной десятичной классификации (УДК). К статье прилагается отпечатанный на машинке реферат в двух экземплярах, предназначенный для передачи в один из реферативных журналов ВНИИПТИ.

6. В конце статьи нужно указать полное название учреждения, в котором вышло первоисследование, фамилии всех авторов и также полный почтовый адрес и номер телефона (служебный и домашний) каждого соавтора.

Кроме того, авторский коллектив должен указать лицо, с которым редакция будет вести переговоры и переписку.

7. Воззвание чукописи автору на доработку не означает, что статья принятa к печати. После получения доработанного текста рукопись вновь рассматривается редколлегией. Доработанный текст автор должен вернуть вместе с первоначальным экземпляром статьи, а также ответом на все замечания. Датой поступления считается день получения редакцией окончательного варианта статьи.

8. В «Докладах» публикуются статьи, занимющие не более 1/4 авторского листа (6 страниц машинописи). В этот объем входит текст, таблицы, библиография (не больше 16 источников) и рисунки, число которых не должно превышать четырех, включая и обозначения «а», «б» и т. д. в том числе вклейки на мелованной бумаге. Вклейки даются только для микрофотографий большого увеличения. Штриховые рисунки (карты, схемы и т. п.) на вклейках не печатаются, а ложатся на кальке. Текст и графический материал представляются в двух экземплярах. Повторение одних и тех же данных в тексте, таблицах и графиках недопустимо. Рисунки должны быть выполнены четко, в формате, обеспечивающемность передачи всех деталей фотографии представляются на глянцевой бумаге. Подпись к рисункам должна быть напечатана в 2-х экземплярах через два интервала на отдельной странице. На обороте рисунков мягким карандашом указываются фамилии авторов, название статьи и номер рисунка.

(Продолжение на третьей странице обложки)

**АЗӘРВАЙЧАН ССР ЕЛМЛƏР АКАДЕМИЯСЫ
АКАДЕМИЯ НАУК АЗЕРБАЙДЖАНСКОЙ ССР**

МӘРУЗӘЛӘР ДОКЛАДЫ

ТОМ XLI ЧИЛД

№ 1

РЕДАКЦИОННАЯ КОЛЛЕГИЯ:

Э. Ю. Салаев (главный редактор), Г. Б. Абдуллаев, М. Т. Абасов,
 Ад. А. Ализаде (зам. главного редактора), В. С. Алиев, Г. А. Алнев,
 Дж. А. Алнев, И. Г. Алнев, Дж. Б. Гулиев, И. А. Гулиев,
 М. З. Джабаров, Ф. Г. Максудов, А. А. Надиров,
 Ю. М. Сендов (зам. главного редактора),
 М. А. Усейнов, Г. Г. Зейналов (ответств. секретарь).

УДК 517.95

МАТЕМАТИКА

А. ЭЛЬ-КАДИ

РЕШЕНИЕ ОДНОЙ СМЕШАННОЙ ЗАДАЧИ

(Представлено академиком АН Азербайджанской ССР М. Л. Расуловым)

В настоящем сообщении дается решение в явном виде смешанной задачи для уравнения

$$\frac{\partial^2 u}{\partial t^2} + \left(\frac{\partial^2}{\partial x^2} + \frac{\partial^2}{\partial y^2} \right)^2 u = 0 \quad (1)$$

при граничных условиях

$$u_x^{(\kappa)}(0, y, t) = 0, \quad u_x^{(\kappa+1)}(0, y, t) - u_x^{(\kappa+1)}(a, y, t) = 0 \quad (\kappa = 0, 2), \quad (2)$$

$$u_y^{(\kappa)}(x, 0, t) = 0, \quad u_y^{(\kappa+1)}(x, 0, t) - u_y^{(\kappa+1)}(x, b, t) = 0 \quad (\kappa = 0, 2) \quad (3)$$

и начальных условиях

$$u_t^{(\kappa)}(x, y, 0) = \varphi_\kappa(x, y) \quad (\kappa = 0, 1), \quad (4)$$

где $\varphi_\kappa(x, y)$ —непрерывно дифференцируемые функции в области Π ($0 \leq x \leq a; 0 \leq y \leq b$).

Кратности полюсов спектральной задачи исключают возможность применения к решению задачи (1)–(4) методов Фурье и Фурье–Биркгофа.

В силу регулярности спектральной задачи [1]

$$X' - \lambda^2 X = h(x), \quad X(0) = 0, \quad X'(0) - X'(a) = 0 \quad (5)$$

для любой непрерывно дифференцируемой функции $h(x)$ на $[0, a]$ имеет место формула разложения

$$h(x) = \frac{-1}{2\pi\sqrt{-1}} \sum_{v} \int_{c_v} \lambda d\lambda \int_0^a G(x, \xi, \lambda) h(\xi) d\xi, \quad (6)$$

где $G(x, \xi, \lambda)$ —функция Грина спектральной задачи (5), c_v —простой замкнутый контур, окружающий только один полюс λ_v , и сумма по v распространена на все полюсы этой функции.

Решение $u(x, y, t)$ задачи (1)–(3) ищется вычетным методом разделения переменных [2] (§ 2, гл. V) в виде

$$u(x, y, t) = \frac{-1}{2\pi\sqrt{-1}} \sum_{v} \int_{c_v} \lambda d\lambda \int_0^a G(x, \xi, \lambda) v(\xi, y, t, \lambda) d\xi, \quad (7)$$

где $v(\xi, y, t, \lambda)$ предполагается аналитической в некоторой окрестности всякого полюса λ_v функции $G(x, \xi, \lambda)$. Подстановка (7) в левые части (1), (3) и (4) приводит к задаче

$$\frac{\partial^2 v}{\partial t^2} + 2\lambda^2 \frac{\partial^2 v}{\partial y^2} + \frac{\partial^4 v}{\partial y^4} + \lambda^4 v = 0, \quad (8)$$

$$v_y^{(\kappa)}(\xi, 0, t, \lambda) = 0, v_y^{(\kappa+1)}(\xi, 0, t, \lambda) - v_y^{(\kappa+1)}(\xi, b, t, \lambda) = 0 \quad (\kappa = 0, 1), \quad (9)$$

$$v_t^{(\kappa)}(\xi, y, 0, \lambda) = \varphi_\kappa(\xi, y) \quad (\kappa = 0, 1) \quad (10)$$

Спектральная задача

$$\left. \begin{aligned} \frac{d^4y}{dy^4} + 2\lambda^2 \frac{d^2y}{dy^2} - (\mu^4 - \lambda^4)y &= h_1(y), \\ y^{(\kappa)}(0) = 0, \quad y^{(\kappa+1)}(0) - y^{(\kappa+1)}(b) &= 0 \quad (\kappa = 0, 1) \end{aligned} \right\} \quad (11)$$

также оказывается регулярной в некоторой окрестности всякого полюса $\lambda_\kappa = \frac{2\sqrt{\pi}}{i}$ функции $G(x, \xi, \lambda)$ в смысле [1], и, следовательно, для всякой непрерывно дифференцируемой на $[0, b]$ функции $h_1(y)$ имеет место формула разложения

$$h_1(y) = \frac{-1}{2\pi\sqrt{-1}} \sum_k \int_{c_k} \int_0^b \mu^3 d\mu \int_0^b G_1(y, \eta, \mu, \lambda) h_1(\eta) d\eta, \quad (12)$$

где c_k —простой замкнутый контур, окружающий только один полюс μ_k функции Грина $G_1(y, \eta, \mu, \lambda)$ спектральной задачи (11) и сумма по k распространена на все полюсы этой функции.

Решение задачи (8), (9) ищется в виде полного вычета

$$v(\xi, y, t, \lambda) = \frac{-1}{2\pi\sqrt{-1}} \sum_k \int_{c_k} \int_0^b \mu^3 d\mu \int_0^b G_1(y, \eta, \mu, \lambda) z(t, \eta, \mu) d\eta; \quad (13)$$

здесь $z(t, \eta, \mu)$ предполагается аналитической в некоторой окрестности μ_k всякого полюса λ_κ функции Грина $G_1(y, \eta, \mu, \lambda)$ спектральной задачи (11). Подстановка (13) в левые части (8) и (10) приводит к задаче Коши

$$\frac{d^2z}{dt^2} + \mu^4 z = 0.$$

$$z_t^{(\kappa)}(0, \eta, \mu) = \varphi_\kappa(\xi, \eta) \quad (\kappa = 0, 1).$$

Решение этой задачи представляется формулой

$$z(t, \eta, \mu) = \Phi_0(\xi, \eta) \cos \mu^2 t + \frac{\Phi_1(\xi, \eta)}{\mu^2} \sin \mu^2 t. \quad (14)$$

Функция Грина $G_1(y, \eta, \mu, \lambda)$ строится известным методом [2] в виде

$$\begin{aligned} \Delta_1(\mu, \lambda) &= 4t\theta_1\theta_2\mu^4 e^{-(\theta_1+i\theta_2)b} (1 - e^{\theta_1b})^2 (1 - e^{i\theta_2b})^2, \\ \Delta_1(y, \eta, \mu, \lambda) &= g(y, \eta, \mu, \lambda) \Delta_1(\mu, \lambda) - \\ &- \frac{t\mu^2\theta_2}{2} e^{\theta_1y} \cdot e^{-(\theta_1+i\theta_2)b} (1 - e^{\theta_1b})(1 - e^{i\theta_2b})^2 (e^{\theta_1\eta} - e^{-\theta_1\eta}) + \\ &+ \frac{t\mu^2\theta_2}{2} e^{-\theta_1b} \cdot e^{-i\theta_2b} (1 - e^{\theta_1b})(1 - e^{i\theta_2b})^2 (e^{\theta_1\eta} - e^{-\theta_1\eta}) - \\ &- \frac{t\mu^2\theta_2}{2} (e^{\theta_1y} - e^{-\theta_1y}) e^{-i\theta_2b} (1 - e^{i\theta_2b})^2 (e^{\theta_1\eta} + e^{-\theta_1\eta} + e^{\theta_1(b-\eta)}) + \\ &+ e^{-\theta_1(b-\eta)}) + \frac{\mu^2\theta_1}{2} e^{i\theta_1y} \cdot e^{-(\theta_1+i\theta_2)b} (1 - e^{i\theta_2b})(1 - e^{\theta_1b}) (e^{i\theta_1\eta} - e^{-i\theta_1\eta}) - \end{aligned} \quad (15)$$

$$- \frac{\mu^2\theta_1}{2} e^{-i\theta_1y} \cdot e^{-\theta_1b} (1 - e^{i\theta_2b})(1 - e^{\theta_1b})^2 (e^{i\theta_1\eta} - e^{-i\theta_1\eta}) + \frac{\mu^2\theta_1}{2} (e^{i\theta_1y} -$$

$$- e^{-i\theta_1y}) e^{-\theta_1b} (1 - e^{\theta_1b})^2 (e^{i\theta_1\eta} + e^{-i\theta_1\eta} + e^{i\theta_1(b-\eta)} + e^{-i\theta_1(b-\eta)}). \quad (16)$$

Значительно проще строить функцию Грина $G(x, \xi, \lambda)$ спектральной задачи (5):

$$\begin{aligned} \Delta(x, \xi, \lambda) &= g(x, \xi, \lambda) \Delta(\cdot) - \frac{e^{\lambda x}}{2} (e^{-\lambda a} - 1) \sin \lambda \xi + \sin \lambda \xi + \\ &+ \sin \lambda(a - \xi)] + \frac{e^{-\lambda x}}{2} [(1 - e^{\lambda a}) \sin \lambda \xi + \sin \lambda \xi + \sin \lambda(a - \xi)], \end{aligned} \quad (17)$$

$$\Delta(\lambda) = \lambda e^{-\lambda a} (e^{\lambda a} - 1)^2. \quad (18)$$

Как видно из (15), (16) и (17), (18) все полюсы функций $G_1(y, \eta, \mu, \lambda)$, $G(x, \xi, \lambda)$ —второй кратности. Вычисляя сначала полный вычет (13), а затем полный вычет (7), получаем

$$\begin{aligned} u(x, y, t) &= \sum_{k=1}^{\infty} \frac{4}{a^2} \int_0^a \left[x \cos \frac{2\sqrt{\pi}}{a} x \cos \frac{2\sqrt{\pi}}{a} \xi - (\xi - \right. \\ &\quad \left. - a) \sin \frac{2\sqrt{\pi}}{a} x \sin \frac{2\sqrt{\pi}}{a} \xi \right] \times \left\{ \sum_{k=1}^{\infty} \frac{4}{b^2} \int_0^b \left[y \cos \frac{2\kappa\pi}{b} y \cos \frac{2\kappa\pi}{b} \eta - \right. \right. \\ &\quad \left. \left. - (\eta - b) \sin \frac{2\kappa\pi}{b} y \sin \frac{2\kappa\pi}{b} \eta \right] \times \left[\Phi_0(\xi, \eta) \cos \mu_{vk}^2 t + \right. \right. \\ &\quad \left. \left. + \frac{\Phi_1(\xi, \eta)}{\mu_{vk}^2} \sin \mu_{vk}^2 t \right] d\eta - \sum_{k=1}^{\infty} \frac{16\kappa\pi}{b^3} \int_0^b \sin \frac{2\kappa\pi}{b} y \cos \frac{2\kappa\pi}{b} \eta \times \right. \\ &\quad \left. \times \left[t \Phi_0(\xi, \eta) \sin \mu_{vk}^2 t + \frac{\Phi_1(\xi, \eta)}{\mu_{vk}^4} \sin \mu_{vk}^2 t - \frac{t \Phi_1(\xi, \eta)}{\mu_{vk}^2} \cos \mu_{vk}^2 t \right] d\eta \right\} d\xi - \\ &\quad - \sum_{k=1}^{\infty} \sum_{m=1}^{\infty} \frac{32\sqrt{\pi}}{a^3 b^3} \int_0^a \sin \frac{2\sqrt{\pi}}{a} x \cos \frac{2\sqrt{\pi}}{a} \xi \left\{ \int_0^b \left[y \cos \frac{2\kappa\pi}{b} y \cos \frac{2\kappa\pi}{b} \eta - \right. \right. \\ &\quad \left. \left. - (\eta - b) \sin \frac{2\kappa\pi}{b} y \times \sin \frac{2\kappa\pi}{b} \eta \right] \left[t \Phi_0(\xi, \eta) \sin \mu_{vk}^2 t - \right. \right. \\ &\quad \left. \left. - \frac{t \Phi_1(\xi, \eta)}{\mu_{vk}^2} \cos \mu_{vk}^2 t + \frac{\Phi_1(\xi, \eta)}{\mu_{vk}^4} \sin \mu_{vk}^2 t \right] d\eta + \right. \\ &\quad \left. + \frac{4\kappa\pi}{b} \int_0^b \sin \frac{2\kappa\pi}{b} y \cos \frac{2\kappa\pi}{b} \eta \left[t^2 \Phi_0(\xi, \eta) \cos \mu_{vk}^2 t + \right. \right. \\ &\quad \left. \left. + \frac{2t}{\mu_{vk}^4} \Phi_1(\xi, \eta) \cos \mu_{vk}^2 t - \frac{2\Phi_1(\xi, \eta)}{\mu_{vk}^6} \sin \mu_{vk}^2 t + \right. \right. \\ &\quad \left. \left. + \frac{t^2}{\mu_{vk}^2} \Phi_1(\xi, \eta) \sin \mu_{vk}^2 t \right] d\eta \right\} d\xi, \end{aligned} \quad (19)$$

где

$$\mu_{vk}^2 = \left(\frac{2\kappa\pi}{b} \right)^2 + \left(\frac{2\sqrt{\pi}}{a} \right)^2.$$

Таким образом доказана

Теорема 1. Если $\Phi_k(x, y)$ ($k = 0, 1$) имеют непрерывные производные до 6-го порядка в области II, обращающиеся в нуль на границе этой области, то задача (1)–(4) имеет решение $u(x, y, t)$, представимое формулой (19).

Применяя вычетный метод разделения переменных (см. [2]—§ 2, гл. V), нетрудно доказать, что всякое решение задачи (1)–(4) при условиях теоремы 1 представимо в виде полного двойного вычета. Следовательно, имеет место

Теорема 2. При условиях теоремы 1 решение задачи (1)–(4) единствено.

Литература

1. Расулов М. Л.—Дифф. уравнения, 1982, № 12, с. 2149–2166. 2. Расулов М. Л. Метод контурного интеграла.—М.: Наука, 1964.

АГУ им. С. М. Кирова

Поступило 18. VI 1984

А. Ел-Кади

БИР ГАРЫШЫГ МӘСӘЛӘНИН ҢӘЛЛИ

Мәгәләдә дүзбұчаглы левіненин рәгесинә айд бир гарышыг мәсәләнин ңәлли верилир. Спектрал мәсәләни тәқрар гүтбләри олдуғуна көрә бу мәсәлә мә'лум классик үсулларла ңәллә едилмир.

A. El-Kady

THE SOLUTION OF A MIXED PROBLEM

In this article the representation of the explicit solution of the mixed problem for the equation of the rectangular disk oscillation is obtained. This problem is not solved by the known classical methods in view of multiplicities of poles for spectral problem.

АЗЭРБАЙЧАН ССР ЕЛМЛӘР АКАДЕМИЯСЫНЫН МӘРҮЗӘЛӘРИ

ДОКЛАДЫ АКАДЕМИИ НАУК АЗЕРБАЙДЖАНСКОЙ ССР

ТОМ XLII ЧИЛД

№ 1

1985

УДК 518.90

МАТЕМАТИКА

А. И. ДЖАФАРОВ

О ФОРМАЛИЗАЦИИ И РЕДУКЦИИ КОАЛИЦИОННЫХ ИГР С ОБЪЕДИНЕНИЕМ РЕСУРСОВ

(Представлено академиком АН Азербайджанской ССР
А. А. Эфендизаде)

В [1] предложен наиболее гибкий способ формализованного описания коалиций, где, в частности, рассмотрены коалиции с объединением ресурсов.

Настоящая статья посвящена развитию схем и конструкций из [1], связанных с объединением ресурсов. Здесь в качестве математического подхода к формализации коалиционных игр с объединением ресурсов предлагается метод редукции, который позволяет определить в коалиционной игре объективный гарантированный результат оперирующей стороны и его оптимальную стратегию.

Дело в том, что в бескоалиционной игре объективный гарантированный результат оперирующей стороны и его оптимальная стратегия определяются из условия реализации (может быть, с ε -точностью) обычного максимина

$$F_i = \sup_{x_i \in X_i} \inf_{\substack{x_j \in X_j \\ j \neq i}} f_i(x_1, \dots, x_N).$$

В коалиционной игре ситуация резко меняется — хотя бы потому, что коалиция, образовавшаяся объединением ресурсов, может иметь различную структуру, т. е. объединение ресурсов и их перераспределение содержат немалое число комбинаций. В связи с этим обстоятельством возникает вопрос, как же отразится отмеченная неопределенность на объективном гарантированном результате оперирующей стороны?

Попытаемся ответить на этот вопрос. Пусть Γ — коалиционная игра N лиц, в которой $\Omega = \{1, \dots, N\}$ — множество игроков, X_i — суть множество стратегий i -го игрока, а функции выигрышей f_i определены на $X_1 \times \dots \times X_N$. Коалиционность Γ выражается в стремлении всех или некоторых игроков объединяться по ресурсам и в последующем выборе совместной программы действий исходя из объединенных ресурсов.

Следует отметить, что сам факт объединения ресурсов зависит от смысла, вкладываемого в x_i . Поэтому, придерживаясь [1], всюду в дальнейшем будем предполагать, что x_i есть вектор ресурса игрока $i \in \Omega$. Следовательно, если $\forall i \in \Omega x_i$ допускают одинаковую физическую или экономическую интерпретацию, то общий ресурс объедине-

ния всех игроков можно выразить в виде $\sum_{i \in \Omega} x_i = X$. Однако это не

всегда возможно, ибо $\forall i \in \Omega$ x_i могут не допускать одинаковой физической или экономической интерпретации. В таких случаях будем говорить об объединении неоднотипных ресурсов, что, в отличие от [1], не означает обычного сложения однотипных ресурсов, а предполагает их концентрацию у некоторых игроков.

Перейдем к изложению собственно метода. Отметим, что для предлагаемого метода редукции не имеет существенного значения однотипность ресурсов игроков, входящих в коалицию. Именно

$\forall i \in \Omega + \forall j \in \Omega / \{i\}$ положим

$$z_j = (x_1, \dots, x_{i-1}, x_{i+1}, \dots, x_N) \stackrel{\Delta}{=} x/x_i,$$

где z_j — выбор j -го игрока, распоряжающегося выборами игроков из коалиции $\Omega / \{i\}$. Пусть

$$Z_j = \{z_j / \forall i \in \Omega \wedge \forall j \in \Omega / \{i\} z_j = x/x_i\}$$

— множество выборов j -го игрока. Зафиксируем произвольные $i, j \in \Omega$, такие, что $i \neq j$, и рассмотрим систему

$$\Gamma_{ij} = \langle \Omega, \{f_i^j\}, \{f_{ij}\}, \{X_i\}, \{Z_j\} \rangle,$$

где обозначено $f_i^j = f_i(x_i, z_j)$ и $f_{ij} = f_j(x_i, z_j)$.

Определение. Система Γ_{ij} называется неантагонистической игрой, индуцированной коалиционной игрой Γ .

Всего в игре Γ индуцированных таким образом антагонистических и неантагонистических игр соответственно N^2 и $N(N - 1)$.

Объективный гарантированный результат i -го игрока и его оптимальную стратегию в игре Γ_{ij} определим из условия реализации (может быть, с ϵ -точностью) величины

$$F_{ij} = \sup_{x_i \in X_i} \inf_{\substack{z_j \in Z_j \\ j \neq i}} f_i^j.$$

В дальнейшем эквивалентность игр понимается в смысле равенства объективных гарантированных результатов и оптимальных стратегий i -го игрока.

Лемма. $\forall i \in \Lambda \forall j, k \in \Omega / \{i\}$, таких, что $j \neq k$, неантагонистические игры Γ_{ij} и Γ_{ik} , индуцированные игрой Γ , попарно эквивалентны.

Стало быть, справедлива

Теорема. В игре Γ с объединением ресурсов объективный гарантированный результат i -го игрока и его оптимальная стратегия определяются из условия реализации (может быть, с ϵ -точностью) величины

$$F_i = \sup_{x_i \in X_i} \inf_{\substack{x_j \in X_j \\ j \neq i}} f_i(x_1, \dots, x_N)$$

Литература

1. Гермейер Ю. Б. Игры с непротивоположными интересами. — М.: Наука, 1976.

Вычислительный центр
АИС СССР

Э. Н. Чәфәров

ЕҢІЈАТЛАРЫН БИРЛӘШМӘСИНДӘН ИБАРӘТ ОЛАН КОАЛИСИЈАЛЫ ОЈУНЛАРЫН ФОРМАЛАШДЫРЫЛМАСЫ ВӘ РЕДУКСИЈАСЫ ҮЛГІҮНДА

Мәғаләдә еңіјатларын бирләшмәсіндән ибарәт олан коалисијалы ојунларын мүәжжіїтін редуксија үсүлу иле ријази формалашдырымасы тәклиф олунур вә бу үсулла һөмии ојунларда әмәлијаты апарын тәрәфии объектив зәманәтли удушу вә уйғын оптимал стратегијасы мүәжжіләшдирилір.

A. N. Jafarov

ON FORMALIZATION AND REDUCTION OF COALITION GAMES WITH JOINING OF RESOURCES

The article gives the method of reduction as a mathematical approach to formalization of coalition games with joining resources. It allows the determination of an objective guaranteed result of the operative side and its optimal strategy in the coalition game under consideration.

А. Д. ДЖАБРАИЛОВ, Р. Ш. МАМЕДОВ

**ГРАНИЧНЫЕ СВОЙСТВА ЗАДАННЫХ В ОБЛАСТИ
ФУНКЦИЙ СО СМЕШАННЫМИ ПРОИЗВОДНЫМИ ИЗ ВЕСОВЫХ
ПРОСТРАНСТВ**

(Представлено академиком АН Азербайджанской ССР Ф. Г. Максудовым)

Пусть n -мерная область $G \in A(\varphi; H)$, т. е. она удовлетворяет условию "переменного φ -рога", (см. [1, 2]), где $\varphi = (\varphi_1, \dots, \varphi_n)$, $\varphi_k = \varphi_k(x; v) > 0$ ($0 < v \leq H$), $x \in G$ ($k = 1, \dots, n$), $\varphi_k = \varphi_k(x; v)$ — дифференцируемые по параметру v функции, причем

$$\frac{\partial}{\partial v} \varphi_k(x; v) > 0, \lim_{v \rightarrow 0^+} \varphi_k(x; v) = 0.$$

Исследуется весовое пространство дифференцируемых функций

$$\prod_{k=0}^n L_{p_k}^{m_k}(G; b_k),$$

т. е. замыкание множества достаточно гладких финитных в E_n функций по норме (полунорме)

$$\sum_{k=0}^n \|b_k D^{m_k} f\|_{L_{p_k}} < \infty,$$

где $m_k (m_1, \dots, m_n)$, m_i — целые неотрицательные,

$$\|\cdot\|_{L_{p_k}}(G) = \left(\int_G |\cdot|^{p_k} dx \right)^{\frac{1}{p_k}}, \quad 1 < p_k < \infty,$$

$$D^{m_k} f = D_1^{m_k} \cdots D_n^{m_k} f,$$

причем весовые функции $b_k = b_k(x)$ удовлетворяют условию Б (см. [1, 2]) в области G .Пусть Γ_s — s -мерная ($1 \leq s \leq n-1$) поверхность, которая описывается равенствами

$x_1 = x_1, \dots, x_s = x_s; \quad x_{s+1} = \psi_{s+1}(x^*); \dots; \quad x_n = \psi_n(x^*)$,
где $\psi_i(x^*)$ ($x^* = (x_1, \dots, x_s)$, $i = s+1, \dots, n$), определенные в некоторой s -мерной области G_s , имеют первые непрерывные частные производные, такие, что

$$\sup_{x^* \in \Omega_s} \left| \frac{\partial}{\partial x_k} \psi_i(x^*) \right| < M (k = 1, \dots, s; i = s+1, \dots, n).$$

Класс этих поверхностей обозначим через $A^{(s)}$. Через $\Delta^{(s)}$ обозначен определитель элементов

$$\gamma_{ki}^{(s)} = \begin{cases} m_i^k - v_i - \frac{1}{p_k} + \frac{1}{q} & \text{при } i = 1, \dots, s, \\ m_i^k - v_i - \frac{1}{p_k} & \text{при } i = s+1, \dots, n, \end{cases}$$

где k указывает строку, а i — столбцы, на пересечении которых находится элемент $\gamma_{ki}^{(s)}$. Через $A_{ki}^{(s)}$ обозначено алгебраическое дополнение элемента $\gamma_{ki}^{(s)}$ определителя $\Delta^{(s)} \neq 0$.Обозначая через $\Delta_{0k}^{(s)}$ определитель, который отличается от $\Delta^{(s)}$ тем, что в нем вместо элементов k -й строки стоят соответствующие координаты вектора $(\gamma_{01}^{(s)}, \dots, \gamma_{0n}^{(s)})$:

$$\gamma_{0i}^{(s)} = m_i^0 - v_i - \frac{1}{p_0} + \frac{1}{q} \quad (i = 1, \dots, s),$$

$$\gamma_{0i}^{(s)} = m_i^0 - v_i = \frac{1}{p_0} \quad (i = s+1, \dots, n).$$

основные результаты статьи можно анонсировать в виде следующих теорем:

Теорема 1. Пусть

$$f \in \prod_{k=0}^n L_{p_k}^{m_k}(G; b_k).$$

Здесь: 1) $m_k = (m_1^k, \dots, m_n^k)$ ($k = 0, 1, \dots, n$), $v = (v_1, \dots, v_n)$ такие, что $v > m^0$ (т. е. $v_i \geq m_i^0$, $i = 1, \dots, n$); $m_k^k > v_k$, $v_i \geq m_i^k$ ($i \neq k$) ($k = 1, \dots, n$); $1 < p_k < q < \infty$ ($k = 0, 1, \dots, n$);2) весовые функции $b_k = b_k(x)$ ($k = 1, \dots, n$) — произвольные, удовлетворяющие условию Б в области G , а функция $b_0 = b_0(x)$ определяется равенством

$$b_0 = \prod_{k=1}^n b_k^{a_k}, \quad a_k = \frac{\Delta_{0k}^{(s)}}{\Delta^{(s)}} \quad (k = 1, \dots, n);$$

$$3) G \in A(\varphi; H), \quad \varphi = (\omega_1 g_1, \dots, \omega_n g_n), \quad g_i = \prod_{k=1}^n L_{p_k}^{\beta_{ik}}, \quad \beta_{ik} = \frac{A_{ki}^{(s)}}{\Delta^{(s)}}, \quad \text{где}$$

$\omega_k = \omega_k(v)$ ($0 < v \leq H$) дифференцируемые, причем $\omega_k(v) > 0$, $\lim_{v \rightarrow 0^+} \omega_k(v) = 0$ ($k = 1, \dots, n$).

Предполагаем, что

$$W_{kk}(H) < \infty \quad (0 < H < \infty) \quad (k = 1, \dots, n),$$

где

$$W_{kk}(H) = \int_0^H \frac{\omega'_k(v)}{\omega_k(v)} \prod_{i=1}^n \{\omega_i(v)\}^{\gamma_{ki}^{(s)}} dv.$$

Пусть поверхность Γ_s лежит на границе ∂G области G , причем $\Gamma_s \in A^{(1)}$, тогда следы функции на Γ_s

$$D^s f|_{\Gamma_s} \in L_q(\Gamma_s),$$

причем существует $H_0 > 0$, такое, что при $0 < H \leq H_0$ справедливо неравенство

$$\|D^s f|_{\Gamma_s}\|_{L_q(\Gamma_s)} \leq c \sum_{k=0}^n W_{ks}(H) \|b_k D^{m_k} f\|_{L_{p_k}(G)}, \quad (1)$$

где c —постоянная, не зависящая от f и H , а

$$W_{0s}(H) = \prod_{i=1}^n (\omega_i(H))^{s_i}, \quad \gamma_{0i}^{(s)} = m_i^0 - v_i - \frac{1}{p_0} + \frac{1}{q}$$

$$(i = 1, \dots, s), \quad \gamma_{0i}^{(s)} = m_i^0 - v_i - \frac{1}{p_0} \quad (i = s+1, \dots, n).$$

Теорема 2. В условиях теоремы 1 при малом $t > 0$ существует $R(t) > 0$ ($R(t) \rightarrow \infty$, $t \rightarrow 0$), такое, что справедливо неравенство

$$\|D^s f|_{\Gamma_s}\|_{L_q(\Gamma_s)} \leq t \sum_{k=1}^n \|b_k D^{m_k} f\|_{L_{p_k}(G)} + R(t) \|b_0 D^{m_0} f\|_{L_{p_0}(G)}. \quad (2)$$

Замечание 1. Если в теореме 1 полагать

$$\omega_k(v) = v^{\sigma_k} \quad \sigma_k > 0 \quad (k = 1, \dots, n) \quad (0 < v \leq H), \quad (3)$$

то условия

$$W_{ks}(H) < \infty \quad (k = 1, \dots, n)$$

имеют место при

$$\lambda_{ks} = \sum_{i=1}^n \left(m_i^k - v_i - \frac{1}{p_k} \right) \sigma_i + \frac{1}{q} \sum_{i=1}^s \sigma_i > 0. \quad (4)$$

В этом случае теорема 1 усиливается, т. е. в случае (3) результаты теоремы 1 справедливы при $\lambda_{ks} > 0$ ($k = 1, \dots, n$), при этом равенство $\lambda_{ks} = 0$ допускается только при $1 < p_k < q < \infty$ для соответствующего s , причем

$$W_{ks}(H) = H^{\lambda_{ks}} \quad (k = 0, 1, \dots, n),$$

где λ_{ks} ($k = 1, \dots, n$) определяется равенствами (4), а

$$\lambda_{0s} = \sum_{i=1}^n \left(m_i^0 - v_i - \frac{1}{p_0} \right) \sigma_i + \frac{1}{q} \sum_{i=1}^s \sigma_i < 0.$$

Оценку вида (2) в литературе иногда называют весовыми неравенствами типа неравенства Эрлинга—Ниренберга. В весовых пространствах типа пространства С. Л. Соболева подобные неравенства с параметрами приведены в работе [3].

Результаты статьи доказаны методом интегральных представлений, разработанным С. Л. Соболевым и развитым в дальнейшем В. П. Ильиным, О. В. Бесовым и др. [4—6]. Основным аппаратом исследования является интегральное представление с переменным параметром для функций многих переменных, приведенное в [6].

Литература

- Джабраилов А. Д., Мамедов Р. Ш.—Докл. АН СССР, 1982, т. 262, № 5.
- Мамедов Р. Ш.: Автореф. канд. дис.—Баку, 1983. З. Кудрявцев Л. Д.: Тр/МИАН СССР, 1972, т. 117. 4. Соболев С. Л. Некоторые применения функционального анализа в математической физике.—Л., 1950. 5. Бесов О. В., Ильин В. П., Нильский С. М. Интегральное представление функций и теоремы вложения.—М.: Наука, 1978. 6. Джабраилов А. Д., Мамедов Р. Ш.—Докл. АН АзССР, 1981, т. XXXVII, № 10.

АзИСИ

Поступило 11. IV 1984

А. Ч. Чәбәрайлов, Р. Ш. Мәммәдов

ОБЛАСТДА ВЕРИЛМИШ ГАРЫШЫГ ТӨРӘМӘЛИ ФУНКСИЈАЛАРЫН ЧӘКИЛИ ФӘЗАЛАРДА СӘРҮӘД ХАССӘЛӘРИ

Мәғаләдә областда верилмиш гарышыг төрәмәли функцијаларын чәкили фәзаларда сәрүәд хассәләри өјрәнилмишdir.

A. D. Dzhabrailov, R. Sh. Mamedov

BORDERING PROPERTIES GIVEN IN THE FIELD OF FUNCTIONS WITH MIXED DERIVATIVES FROM WEIGHT SPACES

Bordering properties given in the field of functions with mixed derivatives from weight spaces are considered in the article.

Ф. Б. НАГИЕВ, Ф. М. МАМЕДОВА

КОЛЕБАНИЯ ПАРОГАЗОВЫХ ПУЗЫРЬКОВ
В АКУСТИЧЕСКОМ ПОЛЕ(Представлено академиком АН Азербайджанской ССР
Ф. Г. Максудовым)

Тепловые эффекты при малых свободных и вынужденных колебаниях парогазовых пузырьков в жидкости с учетом неоднородности температуры в пузырьке и неравновесности фазовых переходов изучены в работе [1]. Рассматривались малые колебания пузырьков, заполненных паром жидкости и не растворимым в жидкости газом с учетом взаимной диффузии компонентов парогазовой смеси. В настоящей статье результаты [1] обобщены на случай малых колебаний пузырьков, заполненных паром и растворимым в жидкости газом.

Уравнения притока тепла, неразрывности и состояния фаз, диффузии газа в жидкости в сферических эйлеровых координатах имеют вид

$$\rho_v \frac{du_v}{dt} + \rho_g \frac{du_g}{dt} = \frac{p}{\rho} \frac{dp}{dt} + \frac{1}{r^2} \frac{\partial}{\partial r} \left(\lambda r^2 \frac{\partial T}{\partial r} \right) + \rho D \frac{\partial \kappa}{\partial r} \frac{\partial (u_v - u_g)}{\partial r}, \quad (1)$$

$$\frac{\partial p_v}{\partial t} + \frac{1}{r^2} \frac{\partial}{\partial r} [\rho_v r^2 (v + w_v)] = 0, \quad \frac{\partial p_g}{\partial t} + \frac{1}{r^2} \frac{\partial}{\partial r} [\rho_g r^2 (v + w_g)] = 0, \quad (2)$$

$$\rho_g w_g = -\rho_v w_v = \rho D \frac{\partial \kappa}{\partial r} \quad (0 < r \leq R(t)), \quad (3)$$

$$p = p_v + p_g = (\rho_g B_g + \rho_v B_v) T = \rho B T, \quad T_v = T_g = T, \quad u_v = c_{vv} T,$$

$$u_g = c_{vg} T, \quad \frac{dp_{vs}}{dT_s} = \frac{l_{pv}}{T_s}, \quad (4)$$

$$\rho_l \left(\frac{\partial u_l}{\partial t} + v_l \frac{\partial u_l}{\partial r} \right) + \frac{1}{r^2} \frac{\partial}{\partial r} \left(\lambda_l r^2 \frac{\partial T_l}{\partial r} \right) + 12 \mu_l \frac{v_l^2}{r^2}, \quad (5)$$

$$r^2 v_l = R^2 v_{ls}, \quad u_l = c_l T_l, \quad \rho_l = \text{const}, \quad (6)$$

$$\frac{\partial \kappa_l}{\partial t} + v_l \frac{\partial \kappa_l}{\partial r} = \frac{D_l}{r^2} \frac{\partial}{\partial r} \left(r^2 \frac{\partial \kappa_l}{\partial r} \right), \quad \kappa_l = c_l / \rho_l, \quad (7)$$

где u —удельная внутренняя энергия, T —температура, v —скорость, R —радиус пузырька, D —коэффициент взаимной диффузии, c_p , c_v —удельные теплоемкости, λ —коэффициент теплопроводности, w —диффузионная скорость, l —удельная теплота парообразования, B —газовая постоянная, μ —вязкость.

постоянная, κ —концентрация пара, c —концентрация газа в жидкости, μ_l —вязкость жидкости. Нижние индексы v , g , l относятся соответственно к параметрам пара, газа и жидкости, а s и o —к параметрам на поверхности пузырька и на линии насыщения.

Кинетика фазовых переходов и уравнение пульсации пузырька в вязкой несжимаемой жидкости при наличии фазовых превращений имеют вид [2]

$$j = \frac{x}{\sqrt{2\pi B_v T_s}} [p_s(T_{ls}) - p_{vo}], \quad (8)$$

$$\kappa_l \dot{v}_l + \frac{3}{2} v_l^2 + \frac{2 j v_{ls}}{\rho_l} = \frac{p - p_l - 2 \sigma / R}{\rho_l} - 4 \frac{\mu_l}{\rho_l} \frac{v_{ls}}{R}, \quad (9)$$

где x —коэффициент аккомодации, p_l —давление жидкости вдали от пузырька, σ —коэффициент поверхностного натяжения.

Гравитационные условия задаются на подвижной границе $r = R(t)$:

$$T_l = T_v = T_s, \quad \lambda_l \frac{\partial T_l}{\partial r} - \lambda \frac{\partial T}{\partial r} = j l, \\ \rho_v (\dot{R} - v - w_v) = j, \quad \rho_g (\dot{R} - v - w_g) = \rho_l D_l \frac{\partial \kappa_l}{\partial r} |_R, \\ \kappa_{ls} = \Gamma \rho_g / \rho_l, \quad \rho_l (\dot{R} - v_l) = j. \quad (10)$$

Здесь Γ —коэффициент Генри [3]. Кроме того,

$$\frac{\partial \kappa}{\partial r} = \frac{\partial T}{\partial r} = 0 \quad \text{при } r = 0, \quad T_l = T_o, \quad \kappa_l = \kappa_{lo} \quad \text{при } r = \infty. \quad (11)$$

Аналогично [1] при выполнении условия гомобаричности имеет место интеграл уравнения притока тепла

$$\frac{dp}{dt} = \frac{-p R^2 v_{ls} + \int_0^R G r^2 dr}{R^3 / 3 - \int_0^R B r^2 / c_p dr}, \quad (12)$$

$$\text{где } G = \frac{1}{c_p} \left[(B_v - B_g) c_v \frac{T}{r^2} \frac{\partial}{\partial r} \left(D r^2 \rho \frac{\partial \kappa}{\partial r} \right) + B \left[\frac{1}{r^2} \frac{\partial}{\partial r} \left(\lambda r^2 \frac{\partial T}{\partial r} \right) + \right. \right. \\ \left. \left. + \rho D \frac{\partial \kappa}{\partial r} (c_{vv} - c_{vg}) \frac{\partial T}{\partial r} \right] \right].$$

Рассмотрим колебания одиночных парогазовых пузырьков в акустическом поле. Пусть парогазовый пузырек пульсирует в вязкой несжимаемой жидкости под действием переменного давления. В случае малых колебаний с амплитудой R_0 радиус пузырька можно описать действительной частью выражения

$$R = R_0 (1 + \alpha e^{i\omega t}) = R_0 (1 + \alpha_1(t)), \quad (13)$$

где α —комплексное число, отвечающее условию $|\alpha| \ll 1$, ω —частота акустического поля. Аналогично [1] предположим, что малые отклонения параметров от состояния равновесия можно представить в виде

$$P(t) = P^0 e^{i\omega t}, \quad \theta(r, t) + \theta^0 r e^{i\omega t}, \quad V = V^0 e^{i\omega t}, \quad J = J^0 e^{i\omega t}, \\ K = K^0(r) e^{i\omega t}, \quad V = v R_0 / D, \quad J = j / j_0, \quad j_0 = D \rho_0 / 3 R_0. \quad (14)$$

Тогда получим

$$p = p_0 [1 + P(t)], \quad T = T_0 [1 + \theta(r, t)], \quad \kappa = \kappa_0 [1 + K(r, t)]. \quad (15)$$

Давление на поверхности сферы, пульсирующей в жидкости, равно

$$p_1(R, t) = p_\infty + p_A e^{i\omega t} - \alpha p_I \omega^2 R_0^2, \quad (16)$$

где p_∞ —гидростатическое давление в жидкости вдали от пузырька, $p_A e^{i\omega t}$ —акустическое давление. С другой стороны, с учетом (13) действие нормальных сил на межфазной границе определяется равенством

$$p_1(R, t) = p(t) - 2\sigma/R_0 + (2\sigma/R_0)\alpha e^{i\omega t} - 4i\mu_I \alpha \omega e^{i\omega t}. \quad (17)$$

Систему основных уравнений (1)–(12) после линеаризации и перехода к безразмерным величинам с учетом соотношений (13)–(15) и условия $\rho_v \ll \rho_l$ можно переписать в виде

$$V_s = \alpha z - J/3 - (1 - \kappa_0) T_0 D_l / D \Gamma B_g \partial K_l / \partial \xi_l, \quad V_{l_1} = \alpha z, \quad (18)$$

$$P = z V_{l_1} / Pe^2 - S \alpha_{l_1} \quad (19)$$

$$J = N_2 [0_s - M(P + K_l B_g / B_0)], \quad (20)$$

$$zP = 3\gamma [Ll_0 \partial \theta / \partial \xi_l - V_s + N_1 \kappa_0 \partial K / \partial \xi_l] / (\gamma - 1), \quad (21)$$

$$z\theta = Le_0 \nabla^2 \theta + (\gamma - 1) P z / \gamma - N_1 \kappa_0 K z, \quad (22)$$

$$zK = \nabla^2 K. \quad (23)$$

$$z\theta_l = Le_l \nabla^2 \theta e_l, \quad (24)$$

$$zK_l = D_l / D \nabla^2 K_l, \quad (25)$$

$$\partial K / \partial \xi_l = (1 - \kappa_0) J / 3 \kappa_0 - (1 - \kappa_0) T_0 D_l / D \Gamma B_g \partial K_l / \partial \xi_l,$$

$$\xi = r / R_0, \quad \nabla^2 = \frac{\partial^2}{\partial \xi^2} + \frac{2}{\xi} \frac{\partial}{\partial \xi}, \quad z = i \omega R_0^2 / D, \quad Pe = \sqrt{\frac{p_0}{p_1}} \frac{R_0}{D},$$

$$S = \frac{2\sigma}{R_0 p_0}, \quad (26)$$

$$N_1 = \frac{B_v - B_g}{C_p}, \quad N_2 = \frac{3 R_0 l_1 \kappa_0}{D V 2\pi B_v T_0}, \quad Le_0 = \frac{a_0}{D}, \quad Le_l = \frac{a_l}{D},$$

$$M = \frac{B_v T_0}{l}, \quad \gamma = \frac{c_p}{c_v}.$$

Решение уравнений (18)–(26), удовлетворяющих граничным условиям при $r = R_0$ и $r = \infty$, а также условию конечности температуры и концентрации в центре пузырька, можно представить в виде

$$\theta = A_v \frac{\sinh(z_2^{1/2} \xi)}{\xi} + \frac{\gamma - 1}{\gamma} P - N_1 \kappa_0 K \frac{1}{1 - Le_0}, \quad (27)$$

$$\theta_l = \theta_s \frac{\exp[z_1^{1/2} (1 - \xi)]}{\xi}, \quad (28)$$

$$K = \left(\frac{1 - \kappa_0}{3 \kappa_0} J + PG_0 \right) \frac{1}{z^{1/2} \cosh z^{1/2} - \sinh z^{1/2}} \cdot \frac{\sinh(z^{1/2} \xi)}{\xi}, \quad (29)$$

$$K_l = \left[P - \frac{\kappa_0 B_v}{B_0 (1 - \kappa_0)} K_l \right] \frac{\exp[z_3^{1/2} (1 - \xi)]}{\xi}, \quad (30)$$

$$J = A_J P, \quad \theta_s = A_s p, \quad (31)$$

$$A_J = 3 \frac{G_5 G_6 + B_2 [\kappa_0 N_1 G_2 - (\gamma - 1)(1 - Le_0)/\gamma] + N_1 \kappa_0 G_1 (\kappa_0 B_v G_2 / B_0 - 1 + \kappa_0)}{(1 - \kappa_0) N_1 (1 - B_2 G_3) - N_3 - 3G_4 G_6 - N_1 G_1 \kappa_0 B_v (1 - \kappa_0) G_3 / B_0},$$

$$A_v = \frac{(A_s - (\gamma - 1)/\gamma) P + N_1 \kappa_0 K_l / (1 - Le_0)}{\sinh z_2^{1/2}}, \quad A_s = G_5 + G_4 A_J,$$

$$G_0 = G_1 \left[1 - \kappa_0 - \kappa_0 \frac{B_v}{B_0} \left(\frac{1 - \kappa_0}{3 \kappa_0} G_3 A_J + G_2 \right) \right], \quad (32)$$

$$N_3 = \frac{(1 - Le_0) l}{c_p T_0 Le_0}, \quad G_1 = T_0 \frac{D_l}{D} \Gamma B_g (1 + z_3^{1/2}), \quad G_2 = \frac{(1 - \kappa_0) G_1 B_0}{B_0 B_1 + \kappa_0 G_1 B_v},$$

$$G_3 = \frac{G_2}{(1 - \kappa_0) G_1},$$

$$G_4 = \frac{1}{N_2} + M \frac{B_g}{B_0} \frac{1 - \kappa_0}{3 \kappa_0} G_3, \quad G_5 = M \left(1 + \frac{B_g}{B_0} G_2 \right),$$

$$G_6 = (1 - Le_0) \left[\frac{\lambda_l}{\lambda_0} (1 + z_1^{1/2}) + B_2 \right],$$

$$B_1 = z^{1/2} \cosh z^{1/2} - 1, \quad B_2 = z_2^{1/2} \cosh z_2^{1/2} - 1, \quad z_1 = z / Le_l,$$

$$z_2 = z / Le_0, \quad z_3 = z D / D_l.$$

Из решений (27)–(32) можно получить выражение для амплитуды колебаний радиуса пузырька

$$\alpha = \frac{p_A}{p_1 \omega^2 R_0^2 + 2\sigma/R_0 - 4t\omega\mu_l - 3p_0\gamma G}, \quad (33)$$

$$\text{где } G = \frac{z}{-N_4 \gamma A_J - Le_0 G_1 + z}, \quad N_4 = 1 + \frac{N_1 (1 - \kappa_0) (1 - \gamma Le_0)}{(\gamma - 1) (1 - Le_0)},$$

$$A_J = 3\gamma B_2 \left[A_s - \frac{\gamma - 1}{\gamma} + \frac{N_1 \kappa_0}{1 - Le_0} \frac{1}{B_1} \left(\frac{1 - \kappa_0}{3 \kappa_0} A_J + G_0 \right) \right].$$

Решение (33) в случае $\Gamma = 0$ (нерасторимого газа) совпадает с решением работы [1].

Безразмерная амплитуда колебаний $|\alpha| p_\infty / p_A$, фаза колебаний β паровоздушного пузырька в воде, а также парового пузырька, содержащего растворимый углекислый газ при атмосферном давлении, были вычислены как функции частоты и радиуса для различных значений равновесной концентрации κ_0 . Расчеты подтвердили обнаруженные в [1] критические концентрации пара, разграничающие области качественно различного поведения пузырьков в области малых частот акустического поля и радиусов. Учет в данной работе растворимости газа ведет лишь к «сглаживанию» резонансов, а также к расширению области применимости линейного решения (13).

На рис. 1, 2 представлены распределения концентраций воздуха в паровоздушной смеси и растворенного в воде воздуха при пульсациях пузырька радиусом 210 мкм на частоте 20 кГц. Начальная концентрация пара в пузырьке принималась равной $\kappa_0 = 0,3$. На рис. 3 представлено распределение температуры частиц паровоздушной смеси и жидкости. Кривым 1–6 на всех приведенных рисунках соответствуют следующие моменты времени: $\omega t = 0, 2\pi/5, 4\pi/5, 6\pi/5, 8\pi/5, 2\pi$. На рисунках для удобства построены отношения амплитуд пульсаций концентрации и температуры к амплитуде колебания давления вдали от пузырька.

Расчеты показали, что увеличение содержания пара внутри крупных пузырьков приводит к значительному увеличению амплитуды колебания концентрации газа в пузырьке и практически не влияет на концентрацию газа в жидкости.

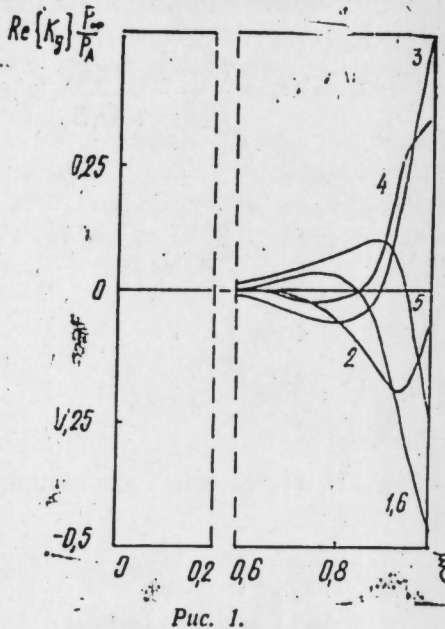
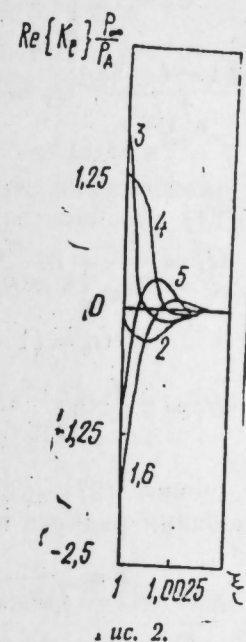


Рис. 1.



ис. 2.

Параметр Льюиса $Le_0 \sim 1$, поэтому диффузионный и температурный пограничные слои в пузырьке имеют примерно одинаковую толщину. Можно оценить диффузионные пограничные слои в жидкости

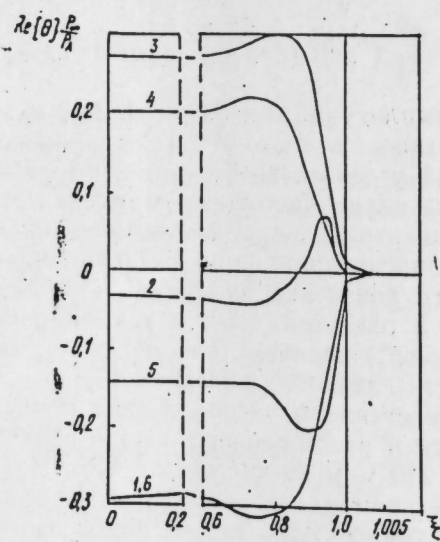


Рис. 3.

и пузырьке: $\delta_l^D \sim (D_l/\omega)^{1/2}$, $\delta_n^D \sim (D_n/\omega)^{1/2}$, следовательно, $\delta_l^D, \delta_n^D \sim (D_l/D)^{1/2} \approx 10^{-2}$. Сравнением рис. 1 и 2 можно убедиться в том, что действительно диффузионный пограничный слой в пузырьке на два порядка

превышает слой в жидкости. Кроме того, температурный пограничный слой в жидкости $\delta_l^T \sim (a_l/\omega)^{1/2}$, поэтому $\delta_l^T/\delta_l^D \sim (a_l/D_l)^{1/2} \approx 10$ (рис. 2 и 3).

Литература

- Нагиев Ф. Б., Хабеси Н. С. — Акуст. журн., 1979, № 2, с. 271—279.
- Нигматуллин Р. И. — ПММ, 1971, т. 35, № 3, с. 451—463.
- Рамм В. М. Абсорбционные процессы в химической промышленности. — М., Госхимиздат, 1951, с. 17.

Институт математики и механики
АН АзССР

Поступило 16. II 1982

Ф. Б. Нагиев, Ф. М. Мамедова

БУХАР-ГАЗ ГАБАРЧЫЛАРЫНЫН МАЈЕДӘ МӘЧБУРИ РӘГСЛӘРИ

Мәгаләдә истилек мүбадилесинин вә таразлыгда олмајан фаза кечидләринин тә'сирі вә газларың һәллә олунмасының нәзәрә алмаг шәртиндә маједә бухар-газ габарчыларының кичик мәчбури рәгсләрине баҳылыш.

F. B. Naglev, F. M. Mamedova

OSCILLATIONS OF THE VAPOUR-GAS BUBBLES IN THE ACOUSTIC FIELD

In this article the effect of the heat-transfer and disbalanced phase transition on the small forced oscillations of the vapour-gas bubbles accounting solubility of gas in liquid is considered.

И. М. АМЕТОВ, А. М. МАМЕД-ЗАДЕ, Г. Х. МЕЛИКОВ

О РЕЛАКСАЦИОННЫХ ЯВЛЕНИЯХ В ГАЗОЖИДКОСТНЫХ СИСТЕМАХ

(Представлено академиком АН Азербайджанской ССР
А. Х. Мирзаджанзаде)

При изменении нагрузок, действующих на двухфазную систему, в ней возникают релаксационные явления, связанные с передислокацией дисперсной фазы. Можно представлять два физических механизма подобной передислокации. Известно, что при наложении сдвиговых деформаций в дисперсных системах происходит перемещение частиц дисперсной фазы в области действия наибольших напряжений. Этот эффект должен иметь место в двухфазных системах, по крайней мере, в области малых газонасыщенностей, когда газ диспергирован в виде мелких пузырьков. При снятии нагрузки в результате диффузии в течение определенного времени будет происходить «рассасывание» неоднородностей. При снижении давления из жидкости в виде мелких пузырьков выделяется газ, причем, что вполне естественно, не равномерно по объему, а вблизи определенных центров образования. В дальнейшем, если внешние условия не изменяются, происходит выравнивание концентрации газовой фазы по объему.

Ниже на основе соображений размерности проводится оценка характерного времени релаксации для двухфазной системы. Введем следующие обозначения:

τ — время релаксации, μ — вязкость дисперсной среды, v — средняя скорость движения пузырьков, m — средняя масса пузырька; n — число пузырьков в единице объема.

Допустим, что время релаксации зависит от указанных параметров. Тогда исходя из соображений размерности получаем

$$\tau = v^{-1} n^{-1/3} \varphi \left(\frac{m V_n^{2/3}}{\mu} \right). \quad (1)$$

Очевидно, что с ростом вязкости дисперсной среды время перераспределения (релаксации) увеличивается. Поэтому необходимо

$$\varphi'(\xi) < 0, \quad \xi = \frac{m n^{2/3}}{\mu} v. \quad (2)$$

Предположим, что для малых ξ $\varphi(\xi) = \text{const}$: ξ^{-a} , где $a > 0$. Такая асимптотика представляется разумной, поскольку при $\xi \rightarrow 0$, вообще говоря, должно быть $\tau \rightarrow \infty$. Естественно, что в зависимости от показателя степени a величина времени τ может изменяться очень

сильно. Определение параметра a в рамках анализа размерностей произвести невозможно. Тем не менее оправдывающим является то обстоятельство, что, как будет показано ниже, выбор $a = 1$ приводит к простой, физически ясной формуле для времени релаксации τ . Имеем

$$\tau = \text{const} v^{-1} n^{-1/3} \left(\frac{m v n^{2/3}}{\mu} \right)^{-1} = \text{const} \frac{\mu^a}{m^a v^{a+1} n^{(a+1)/3}}. \quad (3)$$

Полученная формула неудобна тем, что в нее средняя масса пузырьков m и их средняя плотность в единице объема n входят в неодинаковой степени. Только при $a = 1$ эти степени совпадают. Учитывая, что $m \cdot n = \rho$ есть средняя плотность газовой фазы по определению, из (3) находим

$$\tau = \text{const} \frac{\mu}{\rho v^2}. \quad (4)$$

Произведем оценку времени релаксации τ в соответствии с (4). Для нефтей обычно $\mu \sim 10^{-1}$ п. Через C обозначают объемную концентрацию газовой фазы, а через ρ_1 — плотность газа. Имеем

$$\rho = m \cdot n = C \rho_1.$$

При давлении в жидкости порядка ~ 10 МПа $\rho \sim 10^{-2}$ г/см³. Приняв $C \sim 10^{-1}$, получаем $\rho = m \cdot n \sim 10^{-3}$ г/см³. Массу пузырька можно оценить следующим образом: $m \sim \rho_1 w \sim \rho_1 r^3$, где w , r — соответственно объем и радиус пузырька. Известно, что радиус выделяющихся из нефти пузырьков порядка $\sim 10^{-6}$ см. Тогда $m \sim 10^{-20}$ г и $n \sim \rho/m \sim 10^{17}$.

Для оценки скорости движения пузырьков воспользуемся диффузионным законом. Имеем

$$v = D \frac{\delta C}{\delta x} = DCn^{1/3}.$$

Учитывая, что для жидкостей величина коэффициента диффузии $D \sim 10^{-5}$ см²/с, и подставляя полученные данные в формулу (4), находим $\tau \approx \text{const} \cdot 10^3$ с. В газоконденсатных системах релаксационные процессы, связанные с переупаковкой частиц, происходят значительно быстрее, чем в нефтегазовых. Отметим, что для частиц рассматриваемых размеров влиянием силы тяжести можно пренебречь.

Акад. АН Аз ССР А. Х. Мирзаджанзаде высказал предположение, что в области выше давления насыщения при резких изменениях давления могут зарождаться центры образования пузырьков, которые влияют на фазовые переходы и релаксационные процессы в газожидкостной системе. Была проведена серия экспериментов на газожидкостной системе, представляющей собой смесь трансформаторного масла с природным газом (рис. 1). Уровень снижения давления составлял соответственно 12,5 (1); 10 (2); 7,5 (3); 5 (4) — рис. 2. Диагностирование состояния системы осуществлялось контролированием релаксационной характеристики $\beta = [\ln(P_1 - P_\infty) / (P - P_\infty)]/t$, которая определялась путем обработки кривых изменения давления.

Проанализируем на основе модельного подхода результаты экспериментов. При снижении давления в системе образуются микрозародыши. Можно предположить, что из-за естественной неоднородности системы образование их наиболее интенсивно происходит в определен-

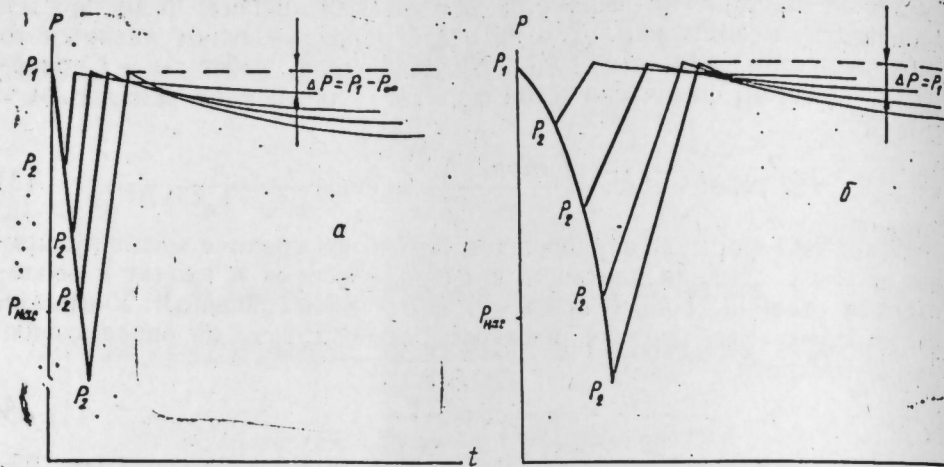


Рис. 1. Схема проведения экспериментов ($\text{---} \frac{dP}{dt} = 0,5 \text{ МПа/мин}$; $\text{---} \frac{d^2P}{dt^2} = 0,1 \text{ МПа/мин}^2$)

ных центрах или областях. Поэтому параллельно с процессом образования зародышей идет диффузионный процесс, приводящий к равномерному распределению их по объему. Из-за неравновесности процесса $(\frac{dP}{dt} \neq 0)$ расширения и сжатия системы и конечности времени диффузионный процесс оказывается «сборванным», т. е. равномерного распределения в этот период не достигается. При прекращении воздей-

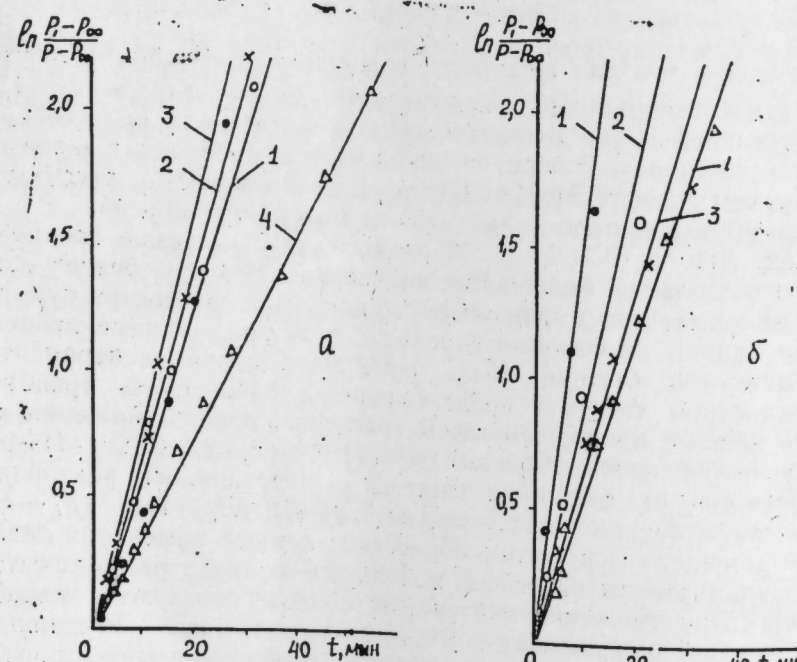


Рис. 2. Обработка экспериментальных данных

ния на систему происходит ее релаксация, обусловленная перераспределением неоднородного распределения зародышей. Характерное время процесса зависит в основном от свойств системы. Поэтому прямые линии на рис. 2а имеют примерно один и тот же наклон.

Для описания соответствующего диффузионного процесса будем использовать модель

$$C_t = (D(C) C_x)_x, \quad (5)$$

причем $D(0) = 0$ и $\int_0^\infty \frac{D(C)}{C} dC < \infty$. Это условие, как известно, обеспечивает конечную скорость распределения возмущений.

Рассмотрим решение уравнения (5) при условиях

$$C(+\infty, t) = 0, C(0, t) = f(t), C(x, 0) = 0, 0 < x < \infty. \quad (6)$$

В дальнейшем будем считать, что $D(C) = D_0 C^\kappa$, $\kappa > 0$. Пусть граничное условие в (6) имеет вид $f(t) = \alpha t$, где $\alpha > 0$ является константой. В этих условиях решение задачи (5)–(6) описывает расширяющуюся во времени зону (при $\kappa = 1$)

$$C(x, t) = \begin{cases} \sqrt{\frac{\alpha}{D_0}} (\sqrt{\alpha D_0} t - x), & \sqrt{\alpha D_0} t > x, \\ 0, & \sqrt{\alpha D_0} t < x. \end{cases}$$

Это решение соответствует диффузионному перемешиванию зародышей с конечной скоростью.

Известно, что для уравнения (5) имеет место эффект „локализации“. Иными словами, при определенном граничном режиме области, где решение отлично от нуля, имеет ограниченный, не изменяющийся во времени размер. Это так называемые граничные режимы с „обострением“. Они соответствуют условиям, когда граничная функция $f(t)$ имеет ускоряющийся во времени темп изменения. Необходимо выполнение условия $\frac{d^2f}{dt^2} \neq 0$, причем $\frac{d^2f}{dt^2}$ везде сохраняет знак [1].

Конкретный вид функции $f(t)$ зависит от вида уравнения (5). Например, при $\kappa = 1$ и условиях (вместо (6))

$C(\infty, t) = C(x, -\infty) = 0, C(0, t) = b(-t)^{-1}, -\infty < t < 0$,
решение имеет вид

$$C(x, t) = \begin{cases} b(-t)^{-1} \left(1 - \frac{x}{x_1}\right)^2, & x < x_1, \\ 0, & x > x_1, \end{cases}$$

$$x_1 = 6D_0 b.$$

Можно предположить, что появление зародышей пропорционально снижению давления. Поэтому из приведенных выше рассуждений следует, что в режимах, когда $\frac{d^2P}{dt^2} \neq 0$, возможно возникновение

устойчивых локализованных областей концентрации зародышей. При прекращении воздействия на систему происходит их «рассасывание» по пространству и во времени. Увеличение интервала снижения давления приводит к возрастанию неоднородности распределения зародышей и как следствие — к увеличению времени релаксации системы. Это хорошо видно из рис. 2б при сопоставлении линий 1–4.

Авторы выражают благодарность акад. АН АзССР А. Х. Мирзаджанзаде за постановку задачи и обсуждение результатов.

Литература

1. Зимренко Н. В., Михайлов А. П. Инерция тепла. — М.: Знание, 1982.

АзИНЕФТЕХИМ
им. М. Азизбекова

Поступило 24. VI 1983

И. М. Аметов, А. М. Мамедзадэ, Г. Х. Меликов

ГАЗ-МАЈЕ СИСТЕМЛӘРИНДӘ РЕЛАКСАСИЯ ҺАДИСӘЛӘРИ

Мәгаләдә дојма тәэсілгендән јухары саһаләрдә тәэсілгүн бирдән дәйнишмәснини газ маје системинде габарчыларын әмәлә кәлмәсн процессинә бағылыштыр. «Қәскинләшмә» сәрһәд режими учун габарчыларын «локаллашма» еффектинин әмәлә кәлмәсн мүәјжән едилмишdir.

I. M. Ametov, A.M. Mamed-zade, G. Kh. Mellikov

ON RELAXATION PHENOMENA IN GAS-LIQUID SYSTEMS

The article deals with the influence of sharp pressure changes in gas-liquid system in the process of bubble formation in the region above the saturation pressure point. It is established that the effect of bubble „localisation“ takes place in the boundary regime of „straining“.

АЗЭРБАЙЧАН ССР ЕЛМЛӘР АКАДЕМИЈАСЫНЫН МӘРҮЗӘЛӘРИ

ДОКЛАДЫ АКАДЕМИИ НАУК АЗЕРБАЙДЖАНСКОЙ ССР

ТОМ XLII ЧИЛД

№ 1

1985

УДК 537.311.4

ФИЗИКА ПОЛУПРОВОДНИКОВ И ДИЭЛЕКТРИКОВ

Н. А. ДЖАМАЛОВ, Б. Ш. БАРХАЛОВ, Я. С. ФЕЛЗИЕВ, Д. Ш. АБДИНОВ,
Н. А. ГАСАНОВА

ВЛИЯНИЕ КОНЦЕНТРАЦИИ АТОМОВ ВИСМУТА НА ПЕРЕХОДНОЕ СОПРОТИВЛЕНИЕ НА ГРАНИЦЕ РАЗДЕЛА МОНОКРИСТАЛЛОВ ТВЕРДЫХ РАСТВОРОВ Bi—Sb С КОНТАКТНЫМ МАТЕРИАЛОМ

(Представлено академиком АН Азербайджанской ССР
Э. Ю. Салаевым)

Сплавы висмут-сульфурма *n*-типа проводимости являются перспективными материалами для использования в термоэлементах с пониженными уровнями температур [1]. При этом в качестве контактного материала применяется сплав Вуда, который имеет состав (масс. %) 25 Bi + 50 Pb + 12,5 Cd + 12,5 Sn (I. пл. ~ 343 K) и находится в контакте со сплавом (масс. %) 57 Bi + 43 Sn [2]. Последний играет роль контактного материала для *P*-ветви термоэлемента.

В процессе коммутации и дальнейшей эксплуатации атомы висмута, входящие в состав контактного материала *P*-ветви, диффундируя в контактный материал *n*-ветви, могут обогащать его висмутом и тем самым изменять параметры переходных контактов и термоэлементов.

В настоящей статье исследовано влияние концентрации висмута на величину переходного контактного сопротивления r_k на поверхности раздела контактного материала — сплава Вуда с монокристаллами твердых растворов висмут-сульфурма различного состава в широком интервале температур от 77 до 300 K.

Образцы для исследования вырезались из монокристаллических слитков состава Bi₉₁Sb₉, Bi₉₃Sb₇ и Bi₉₄Sb₆, выращенных методом вытягивания из жидкой фазы по Чохральскому с одновременной подпиткой расплава твердой сульфурмой [3]. Для снятия нарушенного слоя, образующегося при резке [4], и очистки поверхности образцы подвергались химическому травлению.

Переходное контактное сопротивление r_k определялось зондовым методом на переменном токе с погрешностью не более 8%.

На рис. 1 представлены зависимости контактного сопротивления от концентрации добавки висмута в контактный материал при различных температурах от 77 до 300 K для кристаллов висмут-сульфурма с различным содержанием сульфурмы. Видно, что зависимость r_k от концентрации добавки висмута для составов Bi₉₃Sb₇ (кр. б) и Bi₉₁Sb₉ (кр. в) во всем исследованном интервале температур носит немонотонный характер: сначала с увеличением концентрации добавки висмута r_k растет, достигая максимума при ~2,5 масс. % Bi, в дальнейшем монотонно падает,

Несколько отличается зависимость для состава $\text{Bi}_{94}\text{Sb}_6$ (кр. а). Для этого состава с увеличением концентрации добавки висмута r_k монотонно уменьшается во всем интервале температур и концентраций висмута. Кроме того, контактное сопротивление уменьшается при переходе к составу с меньшим содержанием сурьмы, т. е. от $\text{Bi}_{91}\text{Sb}_9$ к $\text{Bi}_{93}\text{Sb}_7$ и $\text{Bi}_{94}\text{Sb}_6$.

Полученные результаты объясняются влиянием концентрации атомов висмута на структуру энергетических зон системы висмут-сурьма и изменением работы адгезии и краевого угла смачивания. Висмут и сплавы висмут-сурьма с содержанием висмута более 97 ат. % являются полуметаллами. Сплав $\text{Bi}_{93}\text{Sb}_7$ при 4,2 К имеет узкую запрещенную зону (щель) [5], и согласно [6] для этого сплава ниже 77 К наблюдается температурный ход электропроводности, характерный для полупроводников. С дальнейшим уменьшением концентрации висмута в сплаве энергетическая щель между зоной проводимости и валентной зоной расстет. Однако согласно [6] максимальное электрическое сопротивление при температурах ниже 200 К (особенно при 77 К) наблюдается в сплавах с содержанием 88–89 ат. % висмута. Дальнейшее снижение концентрации атомов висмута приводит к уменьшению сопротивления, что объясняется сменой экстремумов валентной зоны, ответственных за явление переноса. Так, для сплавов с содержанием висмута более 91,5 ат. % вклад в электропроводность валентная зона осуществляет в основном дырками T_{45} , для сплавов с 91,5–85,0 ат. % висмута — дырками L_5 и для сплавов с содержанием висмута менее 85 ат. % — дырками Σ .

Уменьшение контактного сопротивления на границе раздела висмут—сурьма—контактный материал при переходе от $\text{Bi}_{91}\text{Sb}_9$ к $\text{Bi}_{93}\text{Sb}_7$ и $\text{Bi}_{94}\text{Sb}_6$ обусловлено, по-видимому, уменьшением объемного удельного сопротивления в приконтактном слое за счет сокращения энергетической щели в сплаве. Этим же объясняется уменьшение r_k с ростом концентрации добавки висмута в контактный материал более чем на 25 масс. %.

Наличие максимума в зависимости r_k от концентрации добавки висмута в контактный материал (при 2,5 % Bi) для составов $\text{Bi}_{93}\text{Sb}_7$ и $\text{Bi}_{91}\text{Sb}_9$ обусловлено характером зависимости краевого угла смачивания θ и работы адгезии A_a от концентрации добавки (рис. 2). Количество диффундирующих из добавленных в контактный материал атомов висмута в сплав Bi—Sb при малых концентрациях добавки незначительно, и потому в этом случае изменение энергетической щели и соответственно объемного сопротивления сплава Bi—Sb мало. Вследствие этого в изменении r_k доминирующую роль будут играть процессы смачивания и адгезии.

Интересно отметить, что при переходе от полуметаллического состава $\text{Bi}_{94}\text{Sb}_6$ к составам с энергетической щелью $\text{Bi}_{93}\text{Sb}_7$ и $\text{Bi}_{91}\text{Sb}_9$ максимумы на кривых зависимости r_k от концентрации добавки висмута в контактный материал с уменьшением температуры проявляются более ярко. Это объясняется тем, что с понижением температуры и ростом концентрации сурьмы электрические свойства сплавов становятся более чувствительными к изменениям концентрации висмута [6].

Литература

1. Осипов Э. В. Твердотельная криогеника. — Киев: Наукова думка, 1977. 2. Коленко Е. А. Термоэлектрические охлаждающие приборы. — Л.: Наука, 1967. 3. Земсков В. С., Белая А. Д., Родин П. Г. — Изв. АН СССР. Металлы, 1978, № 1, с. 73. 4. Джамалов Н. А., Бархалов Б. Ш., Салаев Э. Ю., Абдинов Д. Ш. — Изв. АН СССР. Неоргн. мат-лы, 1983, т. 19, № 2, с. 329. 5. Брандт Н. Б., Чудинов С. М., Караваев В. Г. — ЖЭТФ, 1976, т. 70, № 6, с. 229. 6. Земсков В. С., Бородин П. Г., Белая А. Д., Родин П. Г. Деп. в ВИНИТИ 10 февраля 1978, № 983-78.

Поступило 24. IV 1984

Н. Э. Чамалов, Б. Ш. Бархалов, Ж. С. Феъзиев, Ч. Ш. Абдинов, Н. А. Ысанова
БИСМУТ АТОМЛАРЫНЫН Bi—Sb БАРК МӘНДҮЛҮК МОНОКРИСТАЛЛАРЫНЫН
КОНТАКТ МАТЕРИАЛЫ ИЛЭ АЙРЫЛМА СӘРІӘДДИНИН КЕЧИД
МУГАВИМӘТИНӘ ТӘ'СИРИ

Мүәјжән олунмушадур ки, контакт материалына аз мигдарда элавә олунан висмут атомлары $\text{Bi}_{91}\text{Sb}_9$, $\text{Bi}_{93}\text{Sb}_7$ және $\text{Bi}_{94}\text{Sb}_6$ барк мәндулүк монокристалларынын контакт материалы илэ айрымла сәріәддинин электрик хассасындаң әһәмијәтли дәрәчәде тә'сир едир.

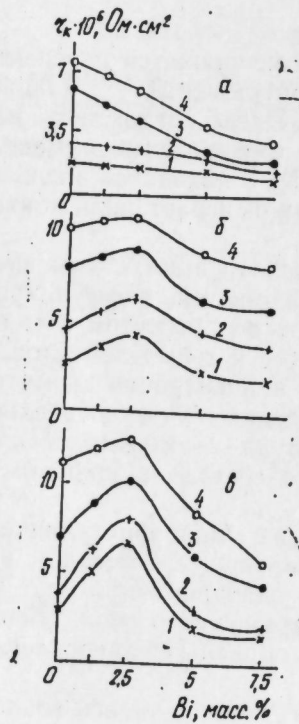


Рис. 1. Зависимость контактного сопротивления от концентрации добавки висмута в контактный материал для кристаллов $\text{Bi}_{94}\text{Sb}_6$ (а), $\text{Bi}_{93}\text{Sb}_7$ (б) и $\text{Bi}_{91}\text{Sb}_9$ (в) при температуре:
1 — 77; 2 — 196; 3 — 273;
4 — 300 К

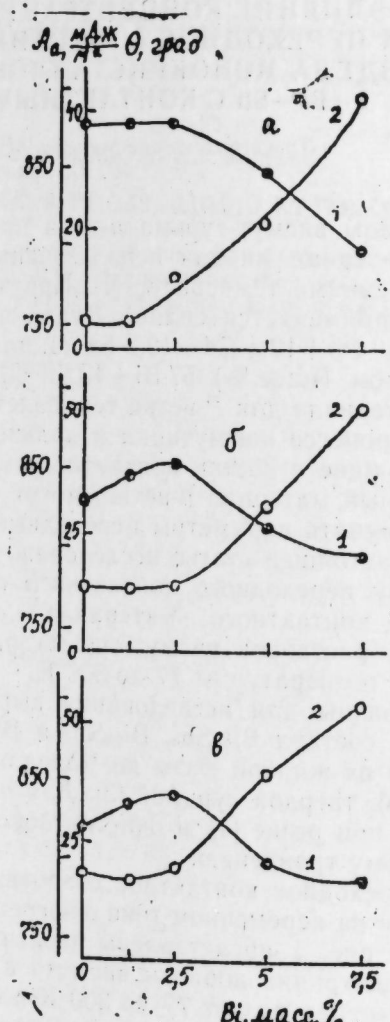


Рис. 2. Зависимости угла смачивания (1) и работы адгезии (2) от концентрации добавки висмута в контактный материал для кристаллов $\text{Bi}_{94}\text{Sb}_6$ (а), $\text{Bi}_{93}\text{Sb}_7$ (б) и $\text{Bi}_{91}\text{Sb}_9$ (в)

Алынан иетиңдөр бисмут атомларынын концентрасиясынын бисмут-стибиум системине енержи зона структурасы та'сирі адкезија вәэ ислатма бучагынын дәйшишесін иле изаһ олуңур.

N. A. Djamalov, B. Sh. Barkhalov, Ya. S. Feyzlev, D. Sh. Abdinov,
N. A. Gasanova

BISMUTH ATOMS CONCENTRATION INFLUENCE ON CONTACT
RESISTANCE ON BI-Sb SOLID SOLUTION MONOCRYSTALS
BOUNDARY WITH CONTACT MATERIAL

It is established that the small doping of bismuth into the contact material essentially determines the electric characteristics of contact material boundary with solid solution monocrystals of $\text{Bi}_{0.9}\text{Sb}_{0.1}$, $\text{Bi}_{0.3}\text{Sb}_7$ and $\text{Bi}_{0.4}\text{Sb}_6$.

The obtained results are explained by bismuth atoms concentration influence on energy band structure of bismuth-antimony system and by change of adhesion work and boundary angle at crystal surface wetting by contact material melt.

АЗЭРБАЙЖАН ССР ЕЛМІЛӘР АКАДЕМИЈАСЫНЫН МӘРҮЗӘЛӘРІ

ДОКЛАДЫ АКАДЕМИИ НАУК АЗЕРБАЙДЖАНСКОП ССР

ТОМ XLI ЧИЛД

№ 1

1985

УДК 538.221

ФИЗИКА МАГНИТНЫХ ЯВЛЕНИЙ

З. З. МАХМУДОВ, К. М. СУЛТАНОВ, Ш. А. КУЛИЕВ

СВЯЗАННЫЕ ВОЛНЫ В ПРОВОДЯЩИХ СПИНОВЫХ СТЕКЛАХ

(Представлено академиком АН Азербайджанской ССР
Н. А. Гулиевым)

Известно, что в спиновых стеклах могут существовать спиновые волны с частотой порядка 10^{10} с^{-1} [1]. Гидродинамическая теория спиновых волн в спиновых стеклах была развита в работе [2]. В [3] выведено динамическое уравнение для спинового стекла с использованием лагранжиева формализма. Вид этого уравнения определяется геометрией группы вращений. Линеаризация и пренебрежение магнитным полем и релятивистскими взаимодействиями в этом уравнении приводят к уравнению, эквивалентному уравнениям Гальперина и Саслова.

При низких температурах в полупроводниковых спиновых стеклах типа $\text{Hg}_{1-x}\text{Mn}_x\text{Te}$ ($0,2 < x < 0,6$) подвижность носителей тока может достигать величины порядка $10^6 \text{ см}^2/\text{В}\cdot\text{с}$ [4]. Поэтому в достаточно сильном постоянном магнитном поле \vec{H}_0 в плазме носителя тока этих материалов возможно распространение низкочастотных электромагнитных волн. Благодаря этому спиновые волны могут взаимодействовать с колебаниями плазмы носителей тока подобно тому, как это имеет место в упорядоченных магнитных полупроводниках и металлах. Так как высокочастотная магнитная восприимчивость спинового стекла пропорциональна статической восприимчивости χ_0 , то параметром связи волн в плазме носителей тока со спиновыми волнами будет величина $4\pi\chi_0$ порядка 10^{-3} – 10^{-2} [5].

Спиновые волны в спиновых стеклах будем описывать линеаризованным уравнением движения для параметра $\vec{\varphi}$, осуществляющего некоторую параметризацию группы спиновых вращений [3]:

$$\frac{\partial^2 \vec{\varphi}}{\partial t^2} - v^2 \vec{\varphi} + \gamma \left[\vec{H}_0 \frac{\partial \vec{\varphi}}{\partial t} \right] + \frac{a \gamma^2}{2\chi_0} \vec{\varphi} + \gamma \frac{\partial \vec{h}}{\partial t} = 0 \quad (1)$$

где $\chi_0 = \frac{a \gamma^2}{4 v^2}$, v —скорость спиновых волн, γ —гиромагнитное отношение, a —некоторая постоянная, \vec{h} —переменное магнитное поле. Магнитный момент единицы объема \vec{M} связан с $\vec{\varphi}$ и \vec{H}_0 следующим выражением [3]:

$$\vec{M} = \chi_0 \vec{H}_0 + \frac{a \gamma}{2 v^2} \frac{\frac{\partial \vec{\varphi}}{\partial t} + \left[\vec{\varphi} \frac{\partial \vec{\varphi}}{\partial t} \right]}{1 + \vec{\varphi}^2}. \quad (2)$$

Считая, что $\vec{M} = \vec{M}_0 + \vec{m}$, $|\vec{m}| \ll |\vec{M}_0| = \chi_0 |\vec{H}_0|$, и предполагая, что малые величины $\vec{\varphi}$, \vec{m} , \vec{h} пропорциональны $\exp i(\vec{k} \cdot \vec{r} - \omega t)$, получим

$$\chi_{ij} = 2\chi_0 \cdot \begin{pmatrix} m_i = \chi_0 h_j, \\ \frac{1}{2} + \frac{\Omega^2 \omega^2}{\Delta}, -i \frac{\gamma H_0 \omega^3}{\Delta}, 0 \\ i \frac{\gamma H_0 \omega^3}{\Delta}, \frac{1}{2} + \frac{\Omega^2 \omega^2}{\Delta}, 0 \\ 0 \quad \frac{1}{2} + \frac{\omega^2}{\Omega^2} \end{pmatrix}, \quad (3)$$

$$\text{где } \Omega^2 = \frac{a \gamma^2}{2 \chi_0} + v^2 \kappa^2 - \omega^2, \Delta = \Omega^4 - (\gamma H_0 \omega)^2.$$

Используя дисперсионное уравнение для электромагнитных колебаний в проводящем магнетике [6], с учетом тензора диэлектрической проницаемости [7]

$$\begin{aligned} \epsilon_{11} &= \epsilon_{22} = \epsilon_1 = 1 - \sum_a \frac{\omega_{pa}^2}{\omega^2 - \omega_{Ba}^2}, \\ \epsilon_{33} &= \epsilon_3 = 1 - \sum_a \frac{\omega_{pa}^2}{\omega^2}, \\ \epsilon_{12} &= -i \epsilon_2 = i \sum_a \frac{\epsilon_a \omega_{pa} \omega_{Ba}}{\omega(\omega^2 - \omega_{Ba}^2)} = -\epsilon_{21}, \quad \vec{B}_0 = (1 + 4\pi\chi_0) \vec{H}_0, \\ \omega_{Ba} &= \frac{|e_a| B_0}{m_a C}, \quad \omega_{pa}^2 = \frac{4\pi n_a e_a^2}{m_a}, \quad \epsilon_a = \pm 1, \quad a = 1, 2; \quad B_0 = B_{0z}, \end{aligned}$$

e_a — заряд носителей тока, и тензора магнитной проницаемости

$$\begin{aligned} \mu_{ij} &= \delta_{ij} + 4\pi\chi_{ij} \\ \mu_{ij} &= \begin{pmatrix} \mu_1 - i\mu_2 & 0 \\ i\mu_2 & \mu_1 & 0 \\ 0 & 0 & \mu_3 \end{pmatrix} \end{aligned}$$

получим дисперсионное уравнение для связанных волн в спиновых стеклах:

$$\begin{aligned} n^4 (\mu_3 \cos^2 \theta + \mu_1 \sin^2 \theta) (\epsilon_1 \sin^2 \theta + \epsilon_3 \cos^2 \theta) - n^2 \{ [\mu_1 \mu_3 (\epsilon_1^2 - \epsilon_2^2) + \\ + \epsilon_1 \epsilon_3 (\mu_1^2 - \mu_2^2)] \sin^2 \theta + 2 \epsilon_3 (\mu_1 \mu_3 \epsilon_1 + \mu_3 \mu_2 \epsilon_2) \cos^2 \theta \} + \\ + \epsilon_3 \mu_3 (\epsilon_1^2 - \epsilon_2^2) (\mu_1^2 - \mu_2^2) = 0; \end{aligned} \quad (4)$$

$n = \frac{ck}{\omega}$, θ — угол между \vec{k} и осью z . Это уравнение легко решается для волни, распространяющихся вдоль внешнего магнитного поля, т. е. при $\theta = 0$.

Рассмотрим сначала случай одного типа носителей тока — электропроводников ($a = 1$). Пусть $\omega_p \gg \omega_B$, ω . Тогда из (4) следует уравнение для связанных волн

$$[\omega^2 - (\mu_1 + \mu_2)(\epsilon_1 + \epsilon_2)] [\omega^2 - (\mu_1 - \mu_2)(\epsilon_1 - \epsilon_2)] = 0. \quad (5)$$

Анализ выражения в первой квадратной скобке в (5) показывает, что связанные волны в этом случае не возникают. Рассмотрим вторую квадратную скобку

$$\omega^2 - (\mu_1 - \mu_2)(\epsilon_1 - \epsilon_2) = 0,$$

которую можно привести к виду

$$(\omega^2 - \epsilon_1 + \epsilon_2)(\Omega^2 + \gamma H_0 \omega) - 8\pi\chi_0 \omega^3 (\epsilon_1 - \epsilon_2) = 0.$$

Вдали от резонанса между спиральной волной, имеющей частоту

$$\omega_{sp} = \frac{c^2 \kappa^2 \omega_B}{c^2 \kappa^2 + \omega_p^2},$$

и спиновой волной со спектром

$$\omega_s = \frac{\gamma H_0}{2} + \sqrt{\frac{1}{4} (\gamma H_0)^2 + v^2 \kappa^2 + \frac{a \gamma^2}{2 \chi_0}},$$

связь между волнами пренебрежимо мала. Вблизи резонанса $\omega_s = \omega_{sp} = \omega$, т. е. при $\omega = \omega + \alpha$, $\alpha \ll \omega$, существует связанный спин-спиральная волна с относительной расстройкой резонанса

$$\frac{\alpha}{\omega} = \pm c \kappa \frac{|\omega - \omega_B|}{\omega_p} \sqrt{\frac{8\pi\chi_0}{\omega_B (2\omega - \gamma H_0)}}.$$

В случае двух типов носителей тока ($a = 1, 2$) с $\epsilon_1 = -\epsilon_2$, $\epsilon_3 = 0$ уравнение для связанных волн имеет вид

$$(\omega^2 - \epsilon_1)(\Omega^2 + \gamma H_0 \omega) - 8\pi\chi_0 \omega^2 \epsilon_1 = 0$$

и при $\omega_B \gg \omega$ вдали от резонанса в среде распространяются альвеновская волна с частотой

$$\omega_a = c \kappa \left(\sum_a \frac{\omega_{pa}^2}{\omega_{Ba}^2} \right)^{-\frac{1}{2}}$$

и спиновая волна с частотой ω_s . Вблизи резонанса $\omega_s = \omega_a = \omega'$ существует связанный спиново-альвеновская волна и при $\omega' = \omega' + \alpha'$, $\alpha' \ll \omega'$ относительная расстройка резонанса равна

$$\frac{\alpha'}{\omega'} = \pm \sqrt{\frac{4\pi\chi_0 \omega'}{2\omega' - \gamma H_0}}.$$

Литература

1. Schultz S., Gullikson E. M., Fredkin D. R.—Phys. Rev. Lett., 45, 1508, 1980.
2. Halperin B. J., Saslow W. M.—Phys. Rev. B, 16, 2154, 1977.
3. Андреев А. Ф.—ЖЭТФ, 1978, т. 74, с. 786.
4. Furdyna J. K.—J. Appl. Phys., 53, 7637, 1982.
5. Miyako Y., Shikazawa S., Saito T., Yuochunas Y. G.—J. Phys. Soc. Japan, 48, 329, 1980;
- 46, 1951, 1979.
6. Махмудов З. З.—УФЖ, 1967, т. 12, с. 1136.
7. Канер Э. А., Скобов В. Г.—УФН, 1966, т. 89, с. 367.

З. З. Махмудов, К. М. Султанов, Ш. А. Гулиев

СПИН ШУШЭСИНДЭ ЭЛАГЭЛИ ДАЛГАЛАР ҺАГГЫНДА

Мэгэлэдэ спин шүшэснин һидродинамик моделинэ эсасланарааг харичи сабит саһиендида јүксөтэзликли магнит нүүрзүүлүгү тензору һесабланышдыр. Элагэли спин, спирал вэ алвен далгалары үчүн дисперсија тәнилиji алыныш вэ һэлл едилмишдир.

Z. Z. Makhmudov, K. M. Sultanov, Sh. A. Kuliev

THE COUPLING WAVES IN SPIN GLASSES

On the basis of hydrodynamic theory of spin waves in spin glasses the tensor of high-frequency magnetic susceptibility is found. The dispersion relation of coupling spin, spiral and alven waves is obtained.

АЗЭРБАЙЧАН ССР ЕЛМЛЭР АКАДЕМИЈАСЫНЫН МЭРҮЗЭЛЭРИ

ДОКЛАДЫ АКАДЕМИИ НАУК АЗЕРБАЙДЖАНСКОЙ ССР

ТОМ XLI ЧИЛД

№ 1

1985

УДК 523.942/945

ФИЗИКА ПЛАЗМЫ

А. А. РУМЯНЦЕВ, М. Б. КЕРИМБЕКОВ, К. В. МАНИУЛОВ

О ВОЛНАХ В ФОТОСФЕРЕ СОЛНЦА (II)

(Представлено академиком АН Азербайджанской ССР
Н. А. Гулиевым)

Целый ряд явлений, наблюдаемых на Солнце, имеет волновую природу и является следствием процессов, происходящих на большой глубине, и особого состояния вещества в подфотосферных слоях. В настоящей статье дано новое объяснение грануляционным «цепям» и «дорожкам», а также причина сравнительно малых размеров гранул ($\lambda \sim 150$ км) в фотосфере на границе с полутенью пятна [1]. Сделана также попытка в свете имеющейся между слоями солнца связи объяснить явление концентрации сильно магнитных полей в чрезвычайно малых областях ($0'',2 \times 0'',2$) на Солнце.

Наблюдаемые на Солнце магнитные поля в масштабах длин $\lambda \sim 10^3 - 10^4$ км имеют весьма сложную структуру, представляющую собой переплетение кантов и жгутов с полями $H \sim 10^2 - 10^3$ Гс. Глобальная МГД-генерация полей таких относительно небольших линейных масштабов с сильно переплетенными силовыми линиями вряд ли возможна. В то же время ферромагнитная концепция может вполне удовлетворительно объяснить их возникновение, поддержание и динамику.

Наиболее вероятный источник локальных полей находится в подфотосферном слое на глубине порядка нескольких тысяч километров, т. е. на глубинах, где еще не сказывается дилатация магнитных силовых линий. Температура и концентрация электронов в этом слое — порядка $T_e = 4 \cdot 10^{-12}$ эрг, $n_e 3 \cdot 10^{19} \text{ см}^{-3}$, соответственно средняя тепловая скорость при этом $v_e \sim 10^8 \text{ см/с}$, а среднее расстояние между частицами $r \sim 0,5 \cdot 10^{-6} \text{ см}$. Магнитный момент электрона, обусловленный его орбитальным движением, — порядка $\mu_{op} \sim \frac{e}{c} r v_e \sim 10^{-18} \text{ CGS}$,

генерируемое при этом поле имеет напряженность $H \sim 4\pi n_e \mu_{op} \sim 300$ Гс, что достаточно для объяснения полей в магнитных волокнах. Межчастичные силы, приводящие к образованию доменных областей, как и в случае обычных ферромагнитных материалов, имеют обменную природу. Обменные квантовые силы в плазме в непрерывном спектре рассмотрены в работах [2, 3]. Эти силы могут сказываться

на расстояниях порядка $1,0 - (10 \lambda)$, где $\lambda = \frac{\hbar^*}{m_e v_e} \approx 10^{-7} \text{ см}$ — длина

волны де Бройля электрона, т. е. на расстояниях, сравнимых с расстоянием между частицами в подфотосферном слое. Выигрыш в энергии взаимодействия частиц, обусловленный обменными силами, — порядка нескольких единиц $e^2 n^{1/3}$, т. е. сравним с тепловой энергией, по-

* \hbar — постоянная Планка, деленная на 2π .

этому тепловое движение при не слишком высоких температурах $T_e < 3 \cdot 10^4$ К не разрушает доменных областей. Тurbулентные движения плаэмы могут "гасить" возникающие описанным выше образом магнитные поля. Действительно, энергия сцепления частиц в единице объема $\sim \frac{1}{2} n_e \mu_{op} H \sim \frac{H^2}{8\pi}$, тогда как энергия турбулентных пульсаций ρv^2 , где v — скорость газа в пульсациях. Поэтому в волокнах должно быть $v < \frac{H}{\sqrt{4\pi\rho}} \sim v_u \sim 10^4 - 10^5$ см/с, в противном случае волокна разрушаются за время $\tau_0 \sim \frac{\lambda}{v} \sim 10^3 - 10^4$ с. Если же $v_u \gg v$, то волокна разрушаются за время $\tau \gg \tau_0$ вследствие стохастического действия пульсации [3]. Именно согласно пуассоновскому распределению отдельные толчки набирают необходимую для воздействия на волокно скорость за время

$$\tau = \tau_0 \left(\frac{v}{3v_u} \right)^{v/v_u}. \quad (1)$$

Слабая турбулентность практически не разрушает магнитные трубы, лишь деформирует их. Магнитные элементы имеют относительно малые размеры — $\lambda < 150$ км [1]. Этот факт создает особые трудности для теории МГД-генерации, но не для рассмотренной здесь ферромагнитной теории. Наблюдения показывают, что цепи магнитных элементов образуют "дорожки", вытянутые в активных областях. Этот факт подтверждает подобие снимков фотосферы структуры поверхности магнитной жидкости, помещенной в магнитное поле [4]. Магнитную жидкость можно представить как суспензию ферромагнитных элементов ($\mu \gg 1$) магнитных трубок на диамагнитной основе ($\mu = 1$, где μ — магнитная проницаемость вещества). Выстраивание в цепи, в которых среднее число "частиц" v , в разреженном "газе" [4] ферромагнитных элементов происходит по закону

$$v = (1 - 2n|B_\infty|)^{-1}, \quad (2)$$

где n — число "частиц" в единице объема, B — второй вириальный коэффициент, равный нулю, если намагничение M стремится к нулю. B_∞ стремится к 1 при максимальных полях (индекс ∞ означает максимальное поле H). Таким образом, в соответствии с магнитным полем H меняется и длина L ($L \sim v$). Коснемся вопроса существования квазиспиновых волн в фотосфере и в связи с этим возможности появления маломасштабных волн вблизи активной области. Как известно [5], спиновые волны возможны не только в ферромагнитных телах, но и в аморфных веществах [6] и в магнитных жидкостях (μ здесь колеблется от 1 до 3). Квазиспиновые волны, возбужденные в подфотосферных слоях, скажем под пятнами, вследствие взаимодействия турбулентных вихрей с упорядоченной структурой спинов далее выносятся наружу; пятна служат волноводами [7].

Дисперсионное соотношение для случая волноводного распространения одновременно "гравитационных" и квазиспиновых волн можно привести к следующему виду [4, 5]:

$$\rho_{ekw} \omega^2 = (\rho_a - \rho_b) gk + I(\mu) \cdot k^4, \quad (3)$$

что соответствует акустической ветви квазиспиновых волн. Здесь ρ_a , ρ_b — плотности слоев в волноводе a и в окружающей среде b ;

$$\rho_{ekw} = \rho_a c \sinh(ka) + \rho_b c \sinh(kb). \quad (4)$$

Как видно из (4), ρ_{ekw} зависит от величины (ka) , т. е. от параметров волновода. Далее, $I(\mu)$ — величина, характеризующая магнитные свойства вещества μ , $k \frac{2\pi}{\lambda}$ — волновое число, g — ускорение силы тяжести. Сравнение членов правой части формулы (3) показывает, что квазиспиновые волны существенны при малых длинах волн ($\lambda \ll 150$ км) и малых перепадах плотностей $\frac{\Delta\rho}{\rho} < 10\%$, когда фазовые и групповые скорости v_g "гравитационных" волн весьма малы; мала и переносимая энергией E ($E \sim \lambda v_g \Delta\rho$) гравитационных волн, которые в числе других волн, объясняющих видимую структуру грануляции, являются значительными по мощности [1].

Литература

1. Крат В. А. — Изв. вузов. Радиофизика, 1977, т. XX, № 9. 2. Румянцев А. А. — ЖЭТФ, 1973, т. 65, с. 926—932. 3. Румянцев А. А. — ЖЭТФ, 1975, т. 39, № 2, с. 383.
4. Шлиомис М. И. — УФН, 1974, т. 112, вып. 3. 5. Ахиезер А. И., Барьяхтар В. Г., Пелетинский С. В. Спиновые волны. — М.: Наука, 1967. 6. Хандрих К. Аморфные ферромагнетики и ферримагнетики. — М.: Мир, 1982. 7. Керимбеков М. Б. — Изв. АН АзССР. Сер. физ.-техн. и матем. наук, 1980, № 2.

ШАО НПО КИ
АН АзССР

Поступило 23. IV 1984

А. А. Румянцев, М. Б. Керимбеков, К. В. Мануилов

КҮНӘШ ФОТОСФЕРИНДӘ ДАЛҒАЛАР ҮАГЫНДА

Дәнәчикләр «сыра»сының эмале кәлмәснин вә ләкәләрни яхынылығындақы дәнәчикләрни кичик өлчүлү олмасы ($\lambda < 150$ км) механизмнин жени изашы верилмишdir.

А. А. Rumyantsev, M. B. Kerimbekov, K. V. Manujlov

ABOUT THE WAVES ON THE SOLAR PHOTOSPHERE

New explanation of the granular «chains» is obtained. The small dimensions of the granules ($\lambda < 150$ km) in the areas next to the spots may be due to the existence of the «spine» waves.

Акад. АН АзССР Т. Н. ШАХТАХТИНСКИЙ, О. А. НАРИМАНБЕКОВ,
А. Е. СМОЛЯР, А. Р. АБРАМОВ, Ф. М. ИБРАГИМОВА, И. З. АЛИЕВ

КВАНТОВОХИМИЧЕСКОЕ И ЭКСПЕРИМЕНТАЛЬНОЕ ИССЛЕДОВАНИЕ КАТАЛИТИЧЕСКИХ СВОЙСТВ ИМИДАЗОЛА

Каталитические свойства имидазола и имидазолсодержащих систем изучены на примере реакций ацилирования и гидролиза [1—4], механизм которых позволяет понять особенности ферментативного протеолиза с участием таких ферментов, как трипсин и химотрипсин [5, 6].

Существующие сведения о природе промежуточных комплексов имидазола свидетельствуют о реализации донорно-акцепторного механизма катализа с различными функциональными особенностями атомов азота имидазольного кольца.

Вместе с тем известно [7, 8], что имидазол и его алкилзамещенные являются более сильными основаниями, чем пирдин и другие органические соединения с третичным атомом азота. Это позволяет предположить вероятность проявления основных каталитических свойств имидазолом и его производными, в частности в реакциях присоединения по типу Михаэля.

Для выявления таких возможностей на основе электронных и энергетических факторов мы осуществили квантовохимическое исследование различных моделей комплексов имидазола с такими ненасыщенными соединениями, как этилен и акрилонитрил.

Расчеты проводили в рамках полуэмпирической схемы CND0/2 со стандартной параметризацией [9]. Равновесные расстояния и углы молекулы имидазола взяты из [10], где они оптимизированы в ab initio расчете. Расчитанный в CND0/2 дипольный момент имидазола составляет 3,95D (экспериментальное значение согласно [11] 4,02D), что свидетельствует о правильном воспроизведении в полуэмпирическом методе суммарных эффектов распределения электронной плотности. Для этилена и акрилонитрила взяты экспериментальные структурные данные.

В процессе счета были рассмотрены различные положения молекул этилена и акрилонитрила относительно имидазольного кольца: над атомом N₁, над атомом N₂ параллельно линии связи N₁—N₂, перпендикулярно линии связи N₁—N₂, и в каждом положении проводилась полная оптимизация по параметрам R, r, α .

В результате найдено, что минимуму соответствует такое состояние, когда связь C=C молекулы C₂H₃X расположена перпендикулярно кольцу, опущенный из середины связи C=C на плоскость кольца, попадает в точку, которая смешена относительно линии связи N₁—N₂ на 0,3 и 0,37 Å для молекул этилена и акрилонитрила соответственно. В этом положении атомы углерода молекул C₂H₃X од-

новременно максимально приближаются ко всем атомам кольца. Результаты расчетов приведены в таблице. Здесь R — расстояние от середины связи C=C до плоскости кольца, α — угол поворота молекулы C₂H₃X вокруг оси, проходящей через связь C=C, r — расстояние от атома N₁ до перпендикуляра, опущенного из середины связи C=C на плоскость кольца. Оптимальному положению соответствует дипольный момент 5,3 D в случае комплекса с этиленом и 9,7 D — для комплекса с акрилонитрилом. Молекула этилена в комплексе выполняет функцию

Результаты квантовохимического расчета моделей комплексов имидазола с этиленом и акрилонитрилом

X	R, Å	r	α	ΔE , ккал/моль	q ненасыщенной молекулы	μ, D
C	1,65	1,03	0	83,6	0,03	5,3
H	1,65	1,03	9	123,8	-0,13	9,7

донора электронов, а молекула акрилонитрила служит акцептором.

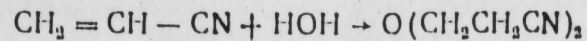
Хотя полученные значения энергии комплексообразования явно завышены, ввиду приближенного характера метода расчета вероятность образования комплекса оказывается достаточно высокой.

Из анализа распределения электронной плотности следует, что при взаимодействии имидазола с ненасыщенной молекулой происходит существенное изменение π -электронной плотности на атомах: уменьшение на атомах углерода имидазольного кольца и существенное увеличение на атомах азота, а также на атомах углерода и азота молекулы C₂H₃X. Эти изменения должны способствовать образованию связанныго π -комплекса.

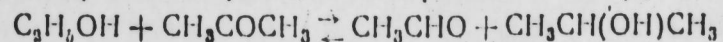
Для подтверждения теоретических прогнозов на основании квантовохимического исследования комплексов имидазола с этиленом и акрилонитрилом осуществлено экспериментальное изучение возможности проявления каталитических эффектов в реакциях цианэтилирования, переноса водорода, а также в комплексообразовании с таким эффективным π -акцептором, как тетрацетилен.

ЭКСПЕРИМЕНТАЛЬНАЯ ЧАСТЬ

Эксперименты по изучению возможности проявления каталитического эффекта в реакциях цианэтилирования воды:



и обмена водородом по реакции Мейервейна — Пондорфа



проводили в лабораторном реакторе периодического действия — круглодонной колбе с мешалкой и автоматическим контролем температуры. Кинетические зависимости $\text{pH} = f(t)$ и $\text{C}_1 = f(t)$ представлены на рис. 1, 2.

Цианэтилирование воды и обмен водородом между этиловым спиртом и ацетоном в присутствии имидазола — медленно текущие хими-

ческие реакции. При 40°C и продолжительности 24 ч выходы продуктов по этим реакциям составляют соответственно 3,6 и 1,8 мол. %.

Величина pH для первой реакции в начальный момент уменьшается, достигая предельного значения в течение 60 мин. В дальнейшем, по мере образования аддукта цианетилирования, pH реакционной среды, увеличиваясь, возвращается к первоначальному значению.

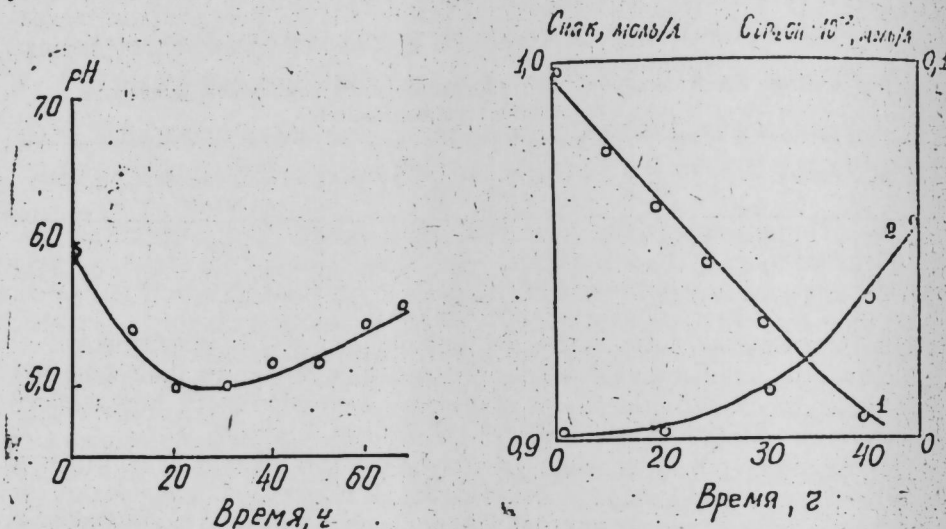


Рис. 1. Кинетическая зависимость $\text{pH} = f(\tau)$ для реакции цианетилирования воды в присутствии имидазола (40°C , концентрация акрилонитрила — 1 моль/л, имидазола — 0,1 моль/л)

С увеличением температуры растут скорости обеих реакций, реакция обмена водородом протекает с большей скоростью в кислой среде.

В отсутствие имидазола и других катализитических систем указанные реакции не протекают.

Другие катализитические системы, содержащие имидазольное кольцо, как, например, гистидин и трипсин, также проявляют слабый катализитический эффект в указанных реакциях, уступая самому имидазолу.

Таким образом, имидазол и имидазолсодержащие соединения проявляют катализитический эффект в реакциях, сопровождающихся π -комплексообразованием или переносом водорода.

Имидазол и гистидин образуют окрашенные комплексы с тетрацианетиленом с λ_{max} в области 560—580 нм.

В соответствии с концепцией [12] ЦПС по О. М. Полтораку применительно к ферментативным реакциям «химический механизм» рассмотренных реакций можно представить через циклическую цепь перераспределения связей (ЦПС).

Выводы

В соответствии с прогнозом на основании квантовохимического исследования имидазолсодержащие системы проявляют катализитический эффект в реакциях, сопровождающихся переносом водорода и π -комплексообразованием.

Литература

1. Jencks W. P., Carrluolo J.—J. Biol. Chem., 1959, 234, 1272.
2. Jencks W. P., Carrluolo J.—J. Biol. Chem., 1959, 234, 1280.
3. Jencks W. P., Carrluolo J.—J. Amer. Chem. Soc., 1961, 83, 1743.
4. Bruice T. C., Schmir G. L.—J. Amer. Chem. Soc., 1958, 80, 148.
5. Bender T. C., Turnquest B. W.—J. Amer. Chem. Soc., 1957, 79, 1656.
6. Брюс Т., Бенкович С. Механизмы биоорганических реакций.—М.: Мир, 1970.
7. Bruice T. C., Fife T. H., Bruno J. J., Benkovic P.—J. Amer. Chem. Soc., 1962, 84, 3012.
8. Kirsch J., Jencks W. P.—J. Amer. Chem. Soc., 1964, 86, 833.
9. Pople J. A., Santry D. P., Segal G. A.—J. Chem. Phys., 1965, 43, 5129.
10. Delbene J. E., Cohen I.—J. Amer. Chem. Soc., 1978, 100, 5285.
11. Осипов О. А., Симонов А. М., Минкин В. Н., Гариковский А. Д.—Докл. АН СССР, 1961, т. 137, с. 1374.
12. Полторак О. М.—Вестн. МГУ им. М. В. Ломоносова, 1971, т. 12, № 6, с. 635.

Поступило 3. X 1983

Т. Н. Шахтахтински, О. А. Нариманбеков, А. Е. Смоляр, А. Р. Абрамов, Ф. М. Ибрагимова, И. З. Элиев

ИМИДАЗОЛУН КАТАЛИТИК ХАССӘЛӘРИНИН ҚВАНТ ҚИМЈЕВІ ВӘ ТӘЧРУБИ ТӘДГИГАТЫ

CNDO/2 методу илә имидазолун этилен вә акрилонитрилле комплекс моделләри һесабланышдыр. Дипол моменти, электрон јүкләри вә комплекс эмәләкәлмә енержиинин гијматләри һесабланмыши, имидазолун π -комплексләринин эмәләкәлмә имкәни көстәрилmişdir. Һесабланаманың иәтичәләри тәчрүбә жолу илә сүбт олунышдур. Имидазолун сианетилләшмә вә һидрокендердишмә реаксијаларында катализитик эффект көтәрилmişdir.

T. N. Shahtahtinsky, O. A. Narimanbekov, A. E. Smolyar, A. R. Abramov, F. M. Ibragimova, I. Z. Aliyev

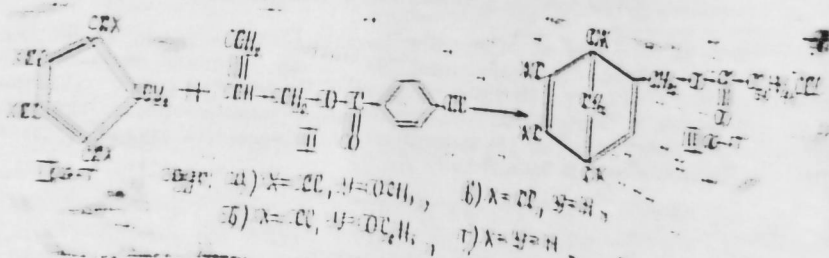
QUANTUM-CHEMICAL AND EXPERIMENTAL INVESTIGATION OF IMIDAZOLE CATALYTIC PROPERTIES

On the basis of CNDO/2 approximation the models of imidazole comp'lexes with ethylene and acrylonitrile were calculated. The values of dipole moments, electron charges and complex formation energies are given. The possibility of π -complex formation by imidazole is suggested. The results of quantum-chemical investigations are experimentally approved. The catalytic effect of imidazole in cyanoethylation and hydrogen transfer reactions is established.

П. Г. КУЗЕМСОВА, Ч. ЧОРДАГИНОВА, М. ГУСЕЙНОВ, Э. Г. АСЛАНОВА,
Р. С. БАБАЕВ
КОНДЕНСАЦИЯ АЛЛИЛОВОГО ЭФИРА *n*-ХЛОРБЕНЗОЙНОЙ
КИСЛОТЫ С ГАЛОИДНЫМИ ЦИКЛИЧЕСКИМИ ДИЕНАМИ

Продукты реакции циклического синтеза на основе полигалоидцикло-пентадиенов получены широкое использование в производстве различных материалов, обладающих активными веществами, добавок к традиционным полимерам материалов, придающим им свойство негорючести. Последнее является основным свойством полимера, так как расширяет сферу применения и избирающей, электротехнической и других областей промышленного производства [1—2].

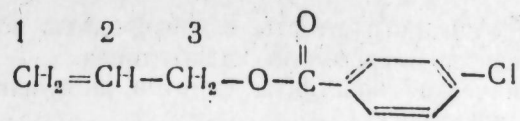
Синтез циклических соединений реакцией Диельса-Альдера является самым удобным методом, позволяющим получать ценные продукты высокой стабильности с высокими выходами. В связи с этим получение по реакции Диельса-Альдера соединений с повышенным содержанием стабильных групп, придающих полимерам свойство полимерных материалов, представляет как практический, так и практический интерес.



В данной статье приводятся результаты исследования циклической конденсации аллилового эфира *n*-хлорбензойной кислоты с различными циклическими диенами:

При исследовании указанной реакции был подробно изучен химический механизм [3—4]. Поэтому представляло интерес выяснить изменение циклической активности с введением в молекулу ядра ароматической кислоты в реакционный центр.

Синтез изученных аллиловых кислот и их циклические производные проходили по ПМР-спектрам как аддукты III, где II — аллиловый эфир *n*-хлорбензойной кислоты (II) с аналогичным соединением аллиловенной кислоты либо, что замена атома брома на более электроотрицательный атом хлора не меняет химическое поведение в гидролизе аллиловых кислот;



М. д.:

$$\delta \text{H}^1 = 5,16 (5,12); \delta \text{H}^2 = 5,80 (5,70); \delta \text{H}^3 = 4,6 (4,58).$$

Чем в более слабое поле смешен сигнал протона, тем более дезэкранировано ядро и оттянуты от него валентные электроны, тем меньше его диенофильная активность в диеновой конденсации с галоидциклическими диенами.

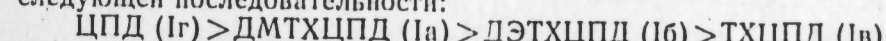
Указанный закономерность в изменении характера химсдвигов сигналов протонов наблюдается и в ПМР-спектрах синтезированных аддуктов (III), где сигналы протонов водорода у C_5 и C_6 смешиваются в слабые поля. Это свидетельствует о том, что введение атома хлора (относительно брома) в ароматическое ядро снижает реакционную способность диенофила II.

Введение в фенильное кольцо атома хлора частично уменьшает его электронную плотность, а это в целом способствует, хотя и в незначительной степени, уменьшению электронной плотности у реакционного центра.

Аллиловый эфир *n*-хлорбензойной кислоты, так же как и аналогичный эфир *n*-бромбензойной кислоты, легко реагирует с замещенными циклическими диенами, образуя соединения IIIa-g, имеющие в основном только эндоконфигурацию.

Установлено, что 5,5-диметокси-1,2,3,4-тетрахлорцикlopентадиен (Ia) по сравнению с 5,5-диэтокси-1,2,3,4-тетрахлорцикlopентадиеном и тетрахлорцикlopентадиеном имеет повышенную активность, которая связана с электронодонорным вкладом алкоxильных групп.

Реакционную способность изученных диенов можно расположить в следующей последовательности:



Указанное предположение вполне подтверждается как ПМР-спектрами, так и выходами аддуктов. Несколько заниженные выходы аддуктов цикло-(Ig) и тетрахлорцикlopентадиена (Iв) связаны с протеканием побочных реакций.

Строение синтезированных соединений доказано ИК- и ПМР-спектроскопией, элементным анализом и химическими превращениями.

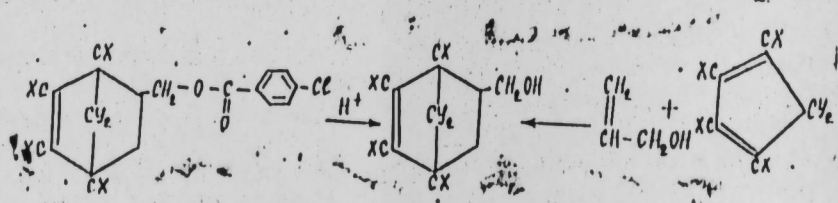
ПМР-спектр аддукта (IIIa) — 1,2,3,4-тетрахлор-7,7-диметоксибицикло-(2,2,1)-гептен-2-метилового-5 эфира *n*-хлорбензойной кислоты подтверждает эндоструктуру аддукта. Сигналы водородных атомов H_6 -эндо проявляются дуплетом в сильном поле в области 1,78 м. д., а H_6 — экзоублетьом в области 2,52 м. д. Сигналы H_5 проявляются мультиплетом при 3,08 м. д., а протоны эфирной группы — при 4,15 м. д. Константы ССВ геминальных атомов водорода у C_5 12,0 Гц, а вицинальных атомов у C_6 -водородных атомов соответствуют 4,0 и 8,0 Гц.

В ИК-спектрах аддукта имеются характерные сигналы для $C=O$ -группы в области 1720—1740 cm^{-1} , $C=C$ -группы — в области 1600—1590 cm^{-1} , $C-\text{Cl}$ и ароматики — 760—910 cm^{-1} и эфирной группы — 1000—1210 cm^{-1} .

Гидролизом синтезированных аддуктов в среде HCl и метилового спирта получены соответствующие бициклические спирты известной

эндоструктуры. Указанные спирты синтезированы встречным синтезом из аллилового спирта и соответствующего диена.

Физико-химические константы спиртов, полученных конденсацией и гидролизом, совпадали.



На основании результатов физико-химических исследований, а также встречного синтеза можно утверждать, что синтезированные соединения имеют только указанную эндоструктуру.

Физико-химические константы синтезированных аддуктов IIIa-g приведены в таблице.

№	Соединение	Т. кип. °C/ мм рт. ст.	n_{D}^{20}	D_4^{20}	Выход, %
IIIa		215-7/1	1,5620	1,5307	83,5
IIIb		205-8/1	1,5454	1,5070	75,6
IIIc		205/1 т.пл. 81-86	—	—	40,0
IIId		140-151/1	1,5435	1,230	53,7

ЭКСПЕРИМЕНТАЛЬНАЯ ЧАСТЬ

Спектры ПМР сняты на «Varian-A-60A» с рабочей частотой 60 Гц в CCl_4 , внутренний стандарт — тетраметилсилил. Индивидуальность полученных аддуктов проверялась методом тонкослойной хроматографии в системе растворителей гентан — ацетон на окиси алюминия II степени активности, проявитель — УФ-свет.

Аллиловый эфир n -хлорбензойной кислоты синтезировался по общепринятой методике этерификации в присутствии катализатора H_2O_4 .

(конц.) — 5% от веса смеси (растворитель — бензол) и имел следующие физико-химические константы: т. кип. 85—89°C/1 мм рт. ст., n_{D}^{20} 1,5843, D_4^{20} 1,2850.

Синтез 1,2,3,4-тетрахлор-7,7-диметоксицикло-/2,2,1/-гентан-2-метилового-5-эфира n -хлорбензойной кислоты IIIa и других аддуктов осуществлялся по общепринятой методике, описанной ранее в [3].

Выводы

1. Реакцией диенового синтеза получены бициклические аддукты на основе аллилового эфира n -хлорбензойной кислоты с циклическими диенами.

Литература

1. Реакции и методы исследований органических соединений/Под ред. Б. А. Каценского.— М., 1962, т. II, с. 10.
2. Коган Л. М.—Хим. пром-сть, 1969, № 5, с. 447.
3. Гусейнова М. М., Кязимова Т. Г., Бабаев Р. С., Асланова Э. Г.—Докл. АН АзССР, 1979, т. XXXV, № 10, с. 45—48.
4. Гусейнова М. М., Кязимова Т. Г., Бабаев Р. С., Асланова Э. Г.—Докл. АН АзССР, 1980, т. XXXVI, № 4, с. 51—54.

ИПХХТ АН АзССР

Поступило 13. V 1982

Т. Г. Казымова, М. М. Гусейнов, Е. Г. Асланова, Р. С. Бабаев

П-ХЛОРБЕНОЗУРЫЛ АЛЛИЛ ЕФИРИНИН МҮХТАЛІФ ДИЈЕНАЛӘРЛӘ КОНДЕНСАЦИЯСЫ

Могаләде n -хлорбензој түршисунун аллил ефириниң мүхталіф дијенләр-сиктик дијенләрлең конденсациясы оյрындылады.

Синтез олуимуш маддәләрни гүрулышу ИГ-, ПМР-спектроскопия элемент анализына кимәлдө жөлү или тоедиг единмеше көстәрмәләрниң ки, бу аддуктлар индоқонфигурасија маликдир.

Т. Г. Kyazimova, M. M. Guseinov, E. G. Aslanova, R. S. Babayev

CONDENSATION OF ALLYL ESTER OF *n*-CHLOROBENZOIC ACID WITH DIFFERENT DIENES

Diene condensation of allyl ester of *n*-chlorobenzoic acid with different cyclic dienes is studied. The structures of the compounds synthesized are proved by IR, PMR-spectroscopy and elemental analysis and chemical transformations.

ГЕЈРИ-УЗВИ КИМЈА

О. Э. ЭЛИЈЕВ Азэрб. ССР ЕА МУХБИР УЗВУ П. Џ. РУСТЭМОВ,

Tb₂O₃—NiO—B₂O₃ СИСТЕМИНДЭ 1100°C-ДЭ ГАРШЫЛЫГЛЫ ТЭ'СИРИН ӨЈРЭНИЛМЭСИ

Tb₂O₃—NiO—B₂O₃ системи никел-борат эринтийини 1100°C-дэ Tb₂O₃ лэ дојдурмагла тэдгиг едилмишдир.

NiO—B₂O₃ бинар системини дэ тэтгиг етмишик. Бу системдэ анчаг бир бэрк фаза алыныр ки, онун да тэркиби Ni₃(BO₃)₂ кимдир. Ni₃(BO₃)₂ бирлэшмэсн јүксэх температурда ана мэһлуулдан узуулугу 0,3—0,4 мм олан парлаг јашыл рэнкдэ кристаллар шэклиндэ ажрылыр.

NiO—B₂O₃ системиндэ тэбэгэлэшмэ NiO 51,6 чэки фазын мигдарында мөвчуддур. Бу гарышыгын үзэрийнэ надир торпаг элемент оксиди элавэ етдикдэ никел-оксидийн мигдары азалыр вэ ана мэһлуулда бу андан башлаараг надир торпаг элемент оксидийн мигдары артыр. Белэлийн, хэр дэфэ Tb₂O₃ мүэjjэн чэки фазийн үумми гарышыгын үзэрийнэ элавэ етмэклэ ону тербиум-оксидлэ дојдуурууг. Нэтичэдэ системдэ көгүүрлэн оксидлэр арасында гарышылыглы тэ'сир өјрэниллир.

Tb₂O₃—NiO—B₂O₃ системини тэдгиг етмэх үүчин борат туршусундан, кимјэви тэмиз никел-оксиддэйн вэ тэмизлиji 99,98% олан Tb₂O₃-дэй истифадэ едилмишдир. Борат туршусу учучу олдууландан онун мигдары тэлэб едилэндэн бир чэки фазын артыг көтүүрүлмүшдүр.

Өјрэнилэн оксид системиндэ јүксэх температурда белэ өзлүлүк бөјүкдүр. Она көрэ дэ бу системдэ кимјэви таразлыгын јараамасыны сур'этлэндирмэх үүчин үумми гарышыг платин гарышдырычы васитэсилэ дайма гарышдырылмышдыр.

Нэтичэдэ Tb₂O₃—NiO—B₂O₃ системиндэ 1100°C-дэ кимјэви таразлыгын 9—10 saat эрзиндэ јараандыгы мүэjjэн едилмишдир.

Тэчрууб заманы сабит температурда ишлэмэни тэ'мин етмэх үүчин электрик печиний ejii зонасында гыздырма апарылмыш, Pt—PtRh термоочутундэн, автотрансформатордан вэ милливолтметрдэн, истифадэ едилмишдир.

Системин тэдгиги заманы алынан бүтүн фазалар кимјэви ѡолла анализ едилмишдир. Мэсэлэн, арашдырылан фазаларын тэркибиндэ борат анхиидриди (B₂O₃) мигдарча борат туршусуна көрэ тэ'жин олунур. Мэлум олдуу кими, борат туршусу сулу мүһитдэ бир-эсаслы туршу шэклиндэдир ки, бу туршу да чох зэифдир. Онун туршуулууғуна артырмаг үүчин чохатомлу спирт олан манийтдэн истифадэ едилмишдир. Бу заман борат туршусу H[BO₂(OH)₆]_n тэркибли манийт-борат туршусу кими титрләнир. Титрлэмэ үүчин 0,1% NaOH мэһлууландан истифадэ едилмишдир.

Никел исэ өзүнү икиэсаслы туршу кими апаран диметил-глиоксим-дэн истифадэ етмэклэ калориметрик тэ'жин едилмишдир.

Анализ олунан фазада Tb₂O₃-үн мигдары јараанан фэргэ эсасэн тэ'жин олунур.

Tb₂O₃—NiO—B₂O₃ системини тэбэгэлэшмэ областында ики маје вэ бир бэрк фаза алыныр. Бу маје фазалар бир-бирлэриндэн механики ѡолла асанлыгла ажрылыр. Јүнкүл маје фаза сојудугда аг рэнкдэ шүшэвэры күтлэ верир. Кимјэви анализ онун практики тэмиз борат анхиидриидэн ибарэл олдугуу көстэрмишдир. Тэркибиндэ 1—1,5%-э гэдэр метал оксидлэри вардыр.

Икинчи маје фаза исэ никел ортоборатын дојмуш мэһлууландан иба-рэтдир. Ону 1100°C-дэн отаг температурна гэдэр сүр'этлэ сојутдугда түнд-бэнөвшэйн рэнкдэ шүшэвэры күтлэ эмэлэ кэтирир. Тэдричлэ сојутдугда исэ кристаллашма кедир вэ никел-ортоборатын хырда кристаллары эмэлэ кэлир. Сүр'этлэ сојутма заманы алынан шүшэвэры күтлэни тэдричлэ отаг температурндан 800°C-э гэдэр гыздырьдыгда да кристаллашма баш верир. Бу заман там кристаллашма кетмэси учүн 28—30 saat вахт тэлэб олунур.

Кимјэви вэ рентген-фаза анализлэрийн нэтичэлэри эсасында Tb₂O₃—NiO—B₂O₃ системини 1100°C-дэ нал диаграмы гуруулмушдур (1-чи чэдвэл).

1-ЧИ ЧЭДВЭЛ

Tb₂O₃—NiO—B₂O₃ системинде 1100°C-дэ ана мэһлуулун чэки фазын илэ тэркиби вэ онунла таразлыгда олан фазалар

Tb ₂ O ₃	B ₂ O ₃	NiO	Таразлыгда олан фазалар
—	48,4	51,4	Ni ₃ (BO ₃) ₂ , B ₂ O ₃
4,2	51,62	44,6	Ni ₃ (BO ₃) ₂ , B ₂ O ₃
9,5	49,3	41,2	Ni ₃ (BO ₃) ₂ , B ₂ O ₃
14,2	50,4	35,4	Ni ₃ (BO ₃) ₂ , B ₂ O ₃
16,3	48,5	36,2	Ni ₃ (BO ₃) ₂ , B ₂ O ₃
20,1	48,4	32,5	Ni ₃ (BO ₃) ₂ , B ₂ O ₃
22,8	47,0	30,2	Ni ₃ (BO ₃) ₂ , B ₂ O ₃
26,5	48,5	25,0	Ni ₃ (BO ₃) ₂ , B ₂ O ₃
32,4	47,3	25,3	Ni ₃ (BO ₃) ₂ , B ₂ O ₃
37,2	41,8	21,0	Tb ₂ O ₃ , Tb ₃ Ni ₃ (BO ₃) ₄
35,4	38,3	26,3	Tb ₂ Ni ₃ (BO ₃) ₄
34,5	35,3	30,2	Tb ₂ Ni ₃ (BO ₃) ₄
30,5	34,0	35,5	Tb ₂ Ni ₃ (BO ₃) ₄
28,7	31,1	40,2	Tb ₂ Ni ₃ (BO ₃) ₄
32,6	24,4	43,0	Tb ₂ Ni ₃ (BO ₃) ₄
30,7	22,8	46,5	Tb ₂ Ni ₃ (BO ₃) ₄
33,0	18,6	48,4	Tb ₂ Ni ₃ (BO ₃) ₄
36,2	12,8	51,0	Tb ₂ Ni ₃ (BO ₃) ₄
36,3	10,1	53,6	Tb ₂ Ni ₃ (BO ₃) ₄

Тэбэгэлэшмэ областында 1100°C-дэ ики маје фаза анчаг бир бэрк фаза илэ, јэ'ни Ni₃(BO₃)₂ тэркибли никел-ортоборатын кристаллары илэ таразлыгда олур. Никел-ортоборатын һэллолма ёјриси үумми гарышыгда тербиум-оксиди мигдары 37,2 чэки фазийн чатана кими давам едир.

1-чи чэдвэлдэн көрүндүү кими, үумми гарышыгда Tb₂O₃-үн мигдары 37,2 чэки фазийн чатдыгда маје фазаларын тэбэгэлэшмэси гуртарыр вэ һэмийн нөгтэдэ маје фаза анчаг бир бэрк фаза илэ таразлыгда олур. Бу нөгтэ (јэ'ни 37,2% Tb₂O₃, 41,8% B₂O₃ вэ 21,0% NiO-дэн ибарэл олан тэркиб) кечид нөгтэсий һесаб олуу билээр. Белэ ки, һэмийн нөгтэдэн сонра системдэ ана мэһлуулдан тербиум илэ никелин икили ортоборатынын кристаллары ажрылмаа башлајыр.

Илкин компонентләринн үмуми гарышыныда Tb_2O_3 -үн мигдары 37,2%-э чатдыгдан соңра, $1100^{\circ}C$ -дә анчаг Tb_2O_3 -үн мигдарыны артырмагла системин изотермик кәсијинин тәдгигини давам етдиримәк мүмкүн олмады. Белә ки, Tb_2O_3 -үн мигдарынын соңракы артымында алышан гарышыг эримир вә системдә гарышлыглы тә'сир ие. Илкин компонентләрин чеки нисбәтләринин бу чүр артырылмасы илә $1100^{\circ}C$ -дә $Tb_2O_3-NiO-B_2O_3$ системине изотермик кәсијини тәркибдә Tb_2O_3 -үн 38,2 вә NiO - B_2O_3 системине изотермик кәсијини тәркибдә Tb_2O_3 -үн 54,3 чеки фазизине чатана гәдәр давам етдиримәк мүмкүндүр. Синтез олуумуш $Tb_2Ni_3(BO_3)_4$ тәркибли икили ортоборатын кристалларыны дуру хлорид туршусу илә јумагла ана мәһлүлдан аյырмаг олмур. Белә ки, истәр маје, истәрсә дә бәрк фаза дуру хлорид туршусунда тәчруби оларыг һәлл олмур. Һәллолма гаты хлорид туршусу мәһлүлүн илә гыздырылдыгда баш верир ки, бу заман бәрк фаза да һәлл олур. Она көрә дә Скрејнемакерс методундан истифадә етдик. Бунун учун бәрк фаза илә зәнигин олан нүмүнә гыздырылараг гаты хлорид туршусунда һәлл едилир вә кимјәви анализ олунур. Соңра исә һәмин гајда үзрә ана мәһлүл анализ олунур. Һәр ики нәтичә бәрабәрјанлы үчбучаг үзәринең көчүрүлүр вә алышан һәр ики нәтәдән дүз хәтт кечирилүр. Нәтичәдә кечирилән дүз хәтләрин кәсишмә нәтәсеси алышан бирләшмәнин тәркибинә уйғын кәлир.

Беләликлә, $Tb_2O_3-NiO-B_2O_3$ системинде $1100^{\circ}C$ -дә илк дәфә $Tb_2Ni_3(BO_3)_4$ тәркибли икили ортоборат алышын, онуң јашама области вә изотермик һәллолма әјриси там шәкилдә мүәјжәнләшdir.

Tb_2O_3 , NiO вә B_2O_3 оксидләринин эквивалент чеки нисбәтләрини көтүрмәклә, бәрк фаза реаксијасы эсасында да $Tb_2Ni_3(BO_3)_4$ тәркибли икили ортоборат синтез едилшилди. $Tb_2O_3-NiO-B_2O_3$ системине изотермик тәдгиги заманы платин гарышдырычы үзәринде $Tb_2Ni_3(BO_3)_4$ бирләшмәсендән ана мәһлүлдан $1100^{\circ}C$ -дә айылан ири кристалларын мүмкүн гәдәр тәминаләри микроскоп алтында сечилмиш вә онларын дифрактограмлары чәкилшилди. Бәрк фаза реаксијасы нәтичәсендә алышан икили ортоборатын да дифрактограмы чәкилшилди. Беләликлә, ана мәһлүлдан вә бәрк фаза реаксијасы илә алышан $Tb_2Ni_3(BO_3)_4$ тәркибли икили ортоборатын индентик олдуғу мүәјжән едилшилди (2-чи чәдвәл).

$1100^{\circ}C$ -дә $Tb_2O_3-NiO-B_2O_3$ системинде ана мәһлүлдан айылышы $Tb_2Ni_3(BO_3)_4$ тәркибли икили ортоборатын кристаллары чох бәрк олуб,

2-ЧИ ЧӘДВӘЛ

$Tb_2Ni_3(BO_3)_4$ тәркибли икили ортоборат кристалларынын дифрактограммы үзрә апарыланын һесабламанын нәтичәсін

d	J	d	J
4,3834	38,6	2,1480	4,20
3,9090	9,30	1,8750	30,20
3,4220	4,65	1,8230	25,10
3,2550	100	1,7320	21,80
3,0570	6,00	1,7140	10,20
2,6140	78,10	1,6470	7,90
2,4610	8,80	1,6300	7,40
2,2150	15,80	1,5290	10,70
2,1950	7,90	1,5050	5,60

шүшәни асаилыгла чызыр вә бирчинслидир, $1100^{\circ}C$ -дән отаг температурана кими сојутдугда, һавада вә суда узун заман неч бир дәјишикли-јә уфрамыр. Пикнометрик хүсүси чәкиси $4,37 \text{ g/cm}^3$ -дир.

Нәтичә

- $Tb_2O_3-NiO-B_2O_3$ системине $1100^{\circ}C$ -дә тәдгиг едилән кәсијинең кениш тәбәгәләшмә областы мөвчуддур.
- Системдә иккى яни бирләшмә: $Ni_3(BO_3)_2$ вә $Tb_2Ni_3(BO_3)_4$ тәркиб ортоборатлар алышын.
- Алышан бәрк фазалар вә шүшәвары маје фаза суја, һаваја вә туршуларын дуру мәһлүлларына гарыш давамлыдыр.

С. М. Киров адына Азәрајман
Дөвләт Университети

Алымышыр
4. II. 84.

О. А. Алиев, П. Г. Рустамов

ИЗУЧЕНИЕ ВЗАИМОДЕЙСТВИЯ В СИСТЕМЕ $Tb_2O_3-NiO-B_2O_3$ ПРИ $1100^{\circ}C$

Система $Tb_2O_3-NiO-B_2O_3$ была изучена методом изотермического насыщения при $1100^{\circ}C$. Охарактеризованы области существования твердых фаз $Ni_3(BO_3)_2$ и $Tb_2Ni_3(BO_3)_4$. Получены в монокристаллическом состоянии и исследованы синтезированные бораты.

О. А. Aliev, P. G. Rustamov

STUDY OF INTERACTION IN $Tb_2O_3-NiO-B_2O_3$ SYSTEM AT $1100^{\circ}C$

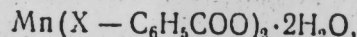
$Tb_2O_3-NiO-B_2O_3$ system was studied by the method of isothermal saturation at $1100^{\circ}C$. The spheres of existence of solid phase $Ni_3(BO_3)_2$ and $Tb_2Ni_3(BO_3)_4$ were described. Synthesized borates were investigated and obtained in monocrystallized condition.

НЕОРГАНИЧЕСКАЯ ХИМИЯ

Ф. М. ЧЫРАГОВ, Ф. Н. МУСАЕВ, Д. Г. ГАМБАРОВ
чл.-корр. АН АзССР Х. С. МАМЕДОВ

**РЕНТГЕНОГРАФИЧЕСКОЕ И ТЕРМИЧЕСКОЕ ИССЛЕДОВАНИЕ
КОМПЛЕКСОВ Mn (II) С БЕНЗОИНОЙ КИСЛОТОЙ И ЕЕ
ПАРАГАЛОГЕНОПРОИЗВОДНЫМИ.**

Комплексы синтезированы по методике [1] путем обменной реакции между хлоридами марганца (II) и натриевой соли соответствующих кислот в водной среде при pH 6—7. Ниже приведены химические составы комплексов, которые определены методами гравиметрического и элементного анализов:



где X = H, F, Cl, Br, J.

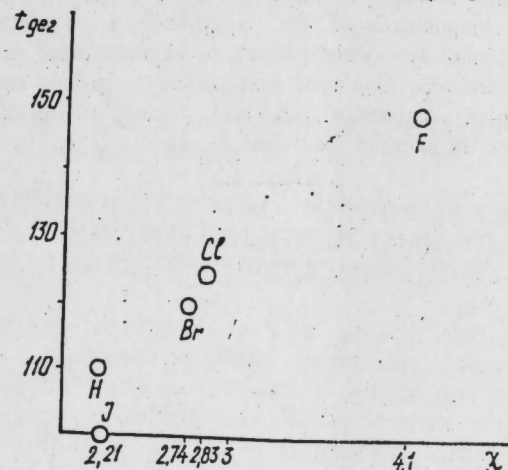
Рентгенографическое исследование показало, что комплексы являются индивидуальными кристаллическими соединениями. Комплексы бензойной и *n*-фторбензойной кислоты изоструктурны. Найдена корреляция между межплоскостными расстояниями (*d*) (под малые углы) и атомным радиусом паразаместителей; с увеличением атомных радиусов увеличивается и значение *d*.

ИК-спектры исходных лигандов и комплексов сняты на приборе UR=20 в области 400—4000 см⁻¹ с вазелиновым маслом и в гексахлорбутадиене. Наблюдающиеся в исходных лигандах в области 1655—1695 см⁻¹ интенсивные полосы поглощения относятся к антисимметричным валентным колебаниям карбоксильной группы. Однако для комплексов указанная полоса смещается в сторону низкочастотной области и лежит в интервале 1540—1520 см⁻¹, что также подтверждает их образование. Разница между частотами антисимметричных и симметричных валентных колебаний COO⁻-группы составляет для комплексов примерно 125 см⁻¹, тогда как для свободных лигандов — 270—235 см⁻¹. Сокращение разницы между ν_{as} (COO) и ν_s (COO) до 125 см⁻¹ указывает на бидентатно-мостиковый характер карбоксильной группы. В ИК-спектре комплексов также наблюдаются деформационные колебания δ (H₂O) в области 1635—1610 см⁻¹ и валентные колебания ν (OH) в области 3200—3400 см⁻¹. Смещение ν (OH) в сторону низкочастотной области указывает на участие молекулы воды в образовании координационных и водородных связей.

Термическое разложение комплексов исследовано в атмосфере воздуха на венгерском Q-термографе фирмы МОМ. Скорость нагревания 10°/мин, в качестве эталона использован Al₂O₃.

Дегидратация комплекса бензойной кислоты с марганцем происходит одностадийно при 110°C с выделением двух молекул воды. Дифрактограммы, снятые при температурах 150 и 210°C, показывают рентге-

ноаморфность продуктов обезвоживания, а эндоэффект при 230°C соответствует плавлению безводной фазы. Разложение комплекса начинается сразу после экзоэффекта, наблюдавшегося на кривой ДТА при 330°C. Установлено, что продуктом разложения комплекса является Mn₂O₃. Таков же общий характер обезвоживания и для остальных ком-



Зависимость температур дегидратации от электроотрицательности

плексов. Представляет интерес зависимость температур дегидратации от электроотрицательности заместителей. Как видно из рисунка, с ростом электроотрицательности температура дегидратации закономерно увеличивается, что связано, по-видимому, с усилением водородных связей с галогенами. Аналогичная закономерность отмечается и для температур плавления, но в данном случае зависимость обратна.

Литература

1. Амирасланов И. Р., Мамедов Х. С. и др.— Журн. структурной химии, 1978, т. 19, № 6, с. 1120—1128.

АГУ им. С. М. Кирова

Поступило 12. IX 1983

Ф. М. Чырагов, Ф. Н. Мусаев, Д. Г. Гэмбэрэв, Х. С. Мамедов

**Mn-НЫН БЕНЗОЈ ТУРШУСУ ВӘ ОНУН ПАРА-НАЛОКЕНЛИ ТОРӘМӘЛӘРИ ИЛН
ЭМӘЛӘ КӘТИРДИЈИ КОМПЛЕКС БИРЛӘШМӘЛӘРИН РЕТКЕНОГРАФИК ВӘ
ТЕРМИКИ ТӘДГИГИ**

Mn (X-C₆H₅COO)₂·2H₂O (X=H, Fr Cl, Br, J) тәркиби комплексләр синтез едәлиш, гравиметрик вә элемент анализ методу илә комплексләрни кимјөви тәркиби мүәյҗән едилшишdir. Реткенографик анализ методу илә мүәйҗән едилшишdir ки, комплекс бирләшмәләр индивидуал кристаллик маддәләрdir. ИК-спектроскопик анализ методу илә комплекс бирләшмәләрдә карбонил группуны бидентат-корпү характер даышыгы мүәйҗән едилшишdir. Комплексләрни термики парчалайнассы көстәрмишdir ки, сујун чыхмасы налокенләрни електромәнифилијиндән асылы оларaq мүәйҗән гапунаујунылуға табедир.

F. M. Chyragov, F. N. Musayev, D. G. Gambarov, H. S. Mamedov

X-RAY AND THERMAL STUDY OF Mn(II) COMPLEXES WITH BENZOIC ACID AND ITS PARA-HALOGENIDE DERIVATIVES

Complexes of $Mn(n-X-C_6H_5COO)_2 \cdot 2H_2O$ type where $X=H, F, Cl, Br, I$ were synthesized. Chemical compositions of the complexes were studied by gravimetrical and element assays. Complexes were shown to be individual crystalline compounds by X-ray study. IR-spectroscopy displayed that carbonyl groups are of bidentate-bridge character in complex compounds. Thermal decomposition demonstrated water dehydration dependence on halogen electrical negativity.

АЗЭРБАЙЧАН ССР ЕЛМЛЭР АКАДЕМИЯСЫНЫН МЭРҮЗЭЛЭРИ

ДОКЛАДЫ АКАДЕМИИ НАУК АЗЕРБАЙДЖАНСКОЙ ССР

ТОМ XLI ЧИЛД

№ 1

1985

УДК 541.128.13

ФИЗИЧЕСКАЯ ХИМИЯ

Э. Н. АМИРБЕКОВ, А. Б. ГУСЕИНОВ, Э. А. МАМЕДОВ,
чл.-корр. АН АзССР Р. Г. РИЗАЕВ

ИЗМЕНЕНИЕ КИСЛОТНО-ОСНОВНЫХ СВОЙСТВ
КАТАЛИЗАТОРА ОКИСЛИТЕЛЬНОГО АММОНОЛИЗА ТОЛУОЛА
ПОД ВОЗДЕЙСТВИЕМ РЕАКЦИОННОЙ СМЕСИ

Сложнооксидный катализатор Л-8 эффективно ускоряет реакцию окислительного аммонолиза толуола (в оптимальных условиях избирательность по бензонитрилу достигает 95—98% при почти полном превращении исходного углеводорода). В отсутствие аммиака он катализирует главным образом глубокое окисление толуола — избирательность по продуктам мягкого окисления (бензальдегиду, бензойной кислоте) не превышает 10%. С учетом того, что аммиак является основанием, нами исследовались изменения кислотно-основных свойств поверхности контакта под влиянием реакционной смеси в сопоставлении с соответствующими изменениями его активности.

МЕТОДИКА ЭКСПЕРИМЕНТА

Изученный катализатор Л-8 представляет собой нанесенную на $\gamma=Al_2O_3$ смесь нескольких оксидов металлов. Удельная поверхность — 95 м²/г. Активность в реакции окислительного аммонолиза толуола измеряли в безградиентном реакторе с виброожженным слоем катализатора при 673 К и следующем составе реакционной смеси: 4% C₇H₈, (0—15)% NH₃ и 26% O₂. В качестве газа-разбавителя использовали очищенный гелий.

Основность и кислотность катализатора определяли методом обратного титрования оставшихся после адсорбции соответственно бензойной кислоты и *n*-бутиламина [1], тип кислотных центров — по ИК-спектрам адсорбированного пиридина [2].

РЕЗУЛЬТАТЫ И ИХ ОБСУЖДЕНИЕ

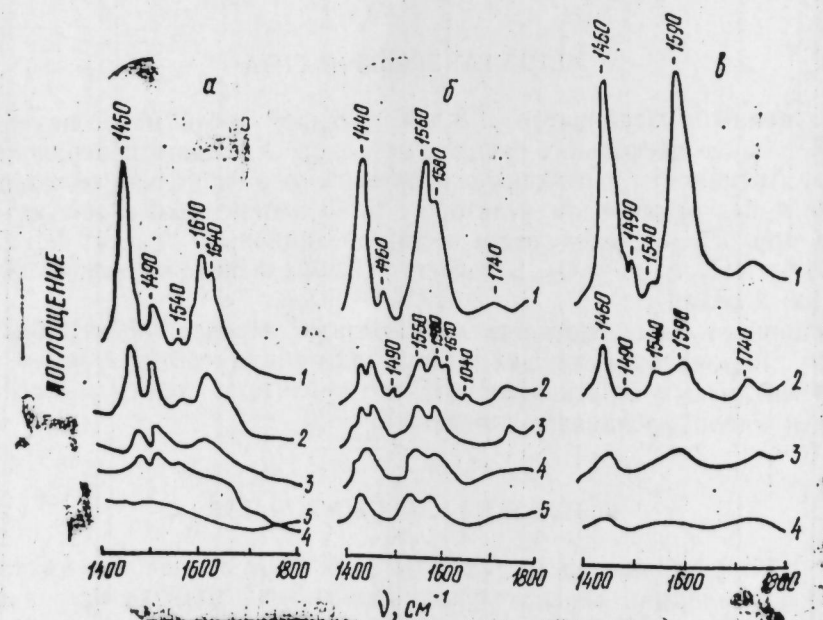
В таблице приведены результаты измерений активности катализатора Л-8 в реакции окислительного аммонолиза толуола при разных содержаниях аммиака в реакционной смеси. Здесь же представлены данные по кислотности и основности образцов, доведенных до стационарного состояния и быстро охлажденных в инертной атмосфере. Как видно, с повышением концентрации аммиака в смеси растет не только скорость образования бенzonитрила, но и скорость общего превраще-

ния толуола. Одновременно уменьшается количество кислотных центров на поверхности катализатора. Этот результат согласуется с данными ИК-спектроскопического исследования, приведенными на рисунке.

Адсорбция пиридина на катализаторе при комнатной температуре приводит к появлению в спектре полос поглощения с частотами 1450, 1490, 1540, 1610 и 1640 см^{-1} (рисунок, а). После прогрева катализатора

Конц-ия аммиака в смеси, об. %	Скорость, $r \cdot 10^{-15}$ молекул $\text{C}_7\text{H}_8/(\text{м}^2 \cdot \text{с})$		Кислот-ность, $A \cdot 10^3$	Основ-ность, $B \cdot 10^3$
	Общая	Бензонитрила		
—	15,7	—	2,20	1,89
2,0	19,0	7,50	2,01	2,21
5,7	21,7	19,7	1,65	2,74
10,0	23,1	21,6	1,46	3,26
15,0	23,6	22,4	1,19	3,89

в вакууме при 423 К интенсивность всех полос, кроме 1540 и 1640 см^{-1} , уменьшается, что связано с удалением физически адсорбированного пиридина. Характерные для этой формы полосы поглощения 1450, 1490 и 1610 см^{-1} практически совпадают с полосами поглощения, проявляемыми обычно при адсорбции пиридина на льюисовских кислотных центрах с образованием координационной связи [2]. Наличие последней формы подтверждается тем, что указанные полосы наблюдаются в спектре и после прогрева катализатора при 523 К, т. е. в условиях, в которых



ИК-спектры пиридина, адсорбированного на свежеприготовленном (а), обработанном толуол-кислородной (б) и толуол-кислород-аммиачной (в) смесью образцах катализатора:

1 — адсорбция пиридина при 293 К; 2, 3, 4 и 5 — десорбция в вакууме при 423, 473, 573 и 673 К

трудно допустить существование физически адсорбированного пиридина. Координационно связанный пиридин десорбируется полностью с поверхности катализатора при 673 К, что позволяет классифицировать обнаруженные апротонные кислотные центры как достаточно сильные.

Полосы поглощения 1540 и 1640 см^{-1} согласно [2] можно отнести к иону пиридиния, образующемуся в результате адсорбции на бренстедовских кислотных центрах. В роли последних выступают, по-видимому, поверхностные гидроксильные группы с частотами колебаний 3610 и 3650 см^{-1} , на что указывает исчезновение полос поглощения после адсорбции пиридина. Эти данные показывают, что на поверхности свежеприготовленного катализатора присутствуют кислотные центры обоих типов.

Обработка катализатора толуол-кислородной смесью приводит к появлению в ИК-спектре полос поглощения 1380, 1440, 1460, 1560, 1580 и 1740 см^{-1} (рисунок, б), соответствующих карбонатно-карбоксилатным структурам [3]. Адсорбция пиридина на таком образце и последующий прогрев при 423 К вызывают появление в спектре полос поглощения 1490, 1550, 1640 см^{-1} и увеличение интенсивности и уширение полосы 1580 см^{-1} . Появление полос 1550 и 1640 см^{-1} можно связать с образованием иона пиридиния в результате адсорбции на кислотных центрах Бренстеда. Полосу 1450 и плечо 1610 см^{-1} можно отнести к пиридину, координационно связанному с центрами Льюиса. Интенсивность и термическая устойчивость этих полос заметно меньше, чем в случае свежеприготовленного катализатора. Это наблюдение согласуется с результатами измерения кислотности методом титрования, согласно которым для свежеприготовленного и обработанного толуол-кислородной смесью образцов она равна соответственно 3,29 и 2,20 мэкв/м².

Качественно схожая картина наблюдается в случае катализатора, обработанного смесью толуола, кислорода и аммиака (рисунок, в). Здесь также после десорбции при 423 К физически адсорбированного пиридина обнаруживаются полосы поглощения, характерные для карбонатно-карбоксилатных структур (1460, 1590, 1740 см^{-1}), иона пиридиния (1540 см^{-1}) и координационно связанного пиридинина (1490 см^{-1}). Однако имеется и существенное отличие, заключающееся в меньшей интенсивности и термической устойчивости двух последних полос в сравнении с аналогичными спектрами свежеприготовленных и обработанных безаммиачной смесью образцов.

Таким образом, обработка катализатора смесью толуола, кислорода и аммиака приводит к значительному снижению кислотности поверхности. При этом имеет место преимущественное снижение концентрации апротонных кислотных центров, что следует из сравнения интенсивностей полос 1450 и 1540 см^{-1} спектров 2 рисунка а и б. Одновременно возрастает содержание основных центров (таблица). По-видимому, это увеличение основности является результатом связывания кислотных центров аммиаком и образования частично дегидрированных структур типа NH_2 , NH , HNO , обладающих электронодонорными свойствами. Возможность образования таких форм аммиака на поверхности оксидных систем допускается авторами работ [4, 5].

Литература

1. Бородин В. Н. — ЖФХ, 1977, т. 51, с. 928. 2. Литтл Л. Инфракрасные спектры адсорбированных молекул. — М.: Мир, 1969, с. 249. 3. Горюховатский Я. Б., Кузнецова В. А. — Докл. АН СССР, 1977, т. 232, с. 375. 4. Ilchenko N. J. Golodets G. J. J. Catalysis, 1975, v. 39, p. 57. 5. Осипова З. Г., Соколовский В. Д. Кинетика и катализ, 1979, т. 20, с. 910.

ИНХП им. Ю. Г. Мамедалиева
АН АзССР

Поступило 16. IV 1984

Е. Н. Эмирбеков, Э. Б. Гусейнов, Е. А. Мамедов, Р. И. Ризаев

**РЕАКЦИЯ ГАРЫШЫГЫНЫН ТӘ'СИРИ АЛТЫНДА ТОЛУОЛУН
ОКСИДЛӘШДИРИЧИ АММОНОЛИЗ ҚАТАЛИЗАТОРУНУН ТУРШУ-ЭСАСИ
ХАССӘЛӘРИНИН ДӘЖИШМӘСИ**

Титрләмә вә ИГ-спектроскопија үсулу илә толуолун оксидләшдирчи аммонолизинин мұхтәлиф інварианттың мүреккәб оксид катализаторунын туршу-эсаси хассәләри өздерилмишdir. Қөстәрілмишdir ки, реакција мүнитинин тә'сири алтында туршу мәркәзләринин күчү вә гатылығы азалып, эсаси мәркәзләрин мигдары исә артып. Бела исәб едилр ки, сонунчулар туршу мәркәзләринә аммонијакын адсорбциясы наимесинде эмәлә кәлир.

E. N. Amirbekov, A. B. Guseinov, E. A. Mamedov, R. G. Rizayev

**CHANGE OF ACID-BASE PROPERTIES OF TOLUENE AMMOXIDATION
CATALYST UNDER THE INFLUENCE OF REACTION MIXTURE**

Using the titration and IR-spectroscopy methods the acid-base properties of treated differently complex oxide catalyst for the toluene ammoxidation are studied. It is shown that under the influence of reaction mixture the strength and concentration of acidic sites decrease while the content of basic sites increases.

It is assumed that the basic sites are formed as a result of the ammonium adsorption on acidic centers.

АЗӘРБАЙЧАН ССР ЕЛМЛӘР АКАДЕМИЈАСЫНЫН МӘРҮЗӘЛӘРИ

ДОКЛАДЫ АКАДЕМИИ НАУК АЗЕРБАЙДЖАНСКОП ССР

ТОМ XLI ЧИЛД

№ 1

1985

УДК 631.81.095.337:635.21:631.445.24

АГРОХИМИЯ

Чл.-корр. АН АзССР А. Н. ГЮЛЬХМЕДОВ, Н. А. АГАЕВ, А. М. АЗИМОВ,
Т. М. АГАЕВА

**ВЛИЯНИЕ МИКРОЭЛЕМЕНТА МАРГАНЦА НА УРОЖАЙ
И КАЧЕСТВО ЛЮЦЕРНЫ**

Для получения устойчивых высоких и качественных урожаев большинства сельскохозяйственных культур необходимо правильное применение микроудобрений.

Положительное влияние марганцевых удобрений на величину и качество урожая люцерны и клевера отмечено многочисленными исследователями.

По нашим данным, внесение марганцевого микроудобрения на фоне NPK в светло-каштановые почвы Агдамского района способствует повышению урожайности и улучшению качества сена люцерны (табл. 1).

Таблица 1
Влияние возрастающих доз марганца на урожай сена люцерны

Варианты опыта (доза, кг/га д. в.)	1978 г.			1979 г.			1980 г.			Среднее за три года (1978—1980)		
	Средн. урож., ц/га	Прибавка		Средн. урож., ц/га	Прибавка		Средн. урож., ц/га	Прибавка		Средн. урож., ц/га	Прибавка	
		ц/га	%		ц/га	%		ц/га	%		ц/га	%
Контроль без удобрений	56,9	—	—	48,7	—	—	46,4	—	—	50,7	—	—
$N_{60}P_{60}K_{60}$ — Фон	84,2	—	—	70,8	—	—	66,3	—	—	73,8	—	—
Фон+ Mn_2	93,7	9,5	9,5	76,1	5,3	7,5	70,1	3,8	5,7	80,0	6,2	8,4
Фон+ Mn_4	99,8	15,6	15,6	79,7	8,9	12,6	74,4	8,1	12,2	84,6	10,8	14,6
Фон+ Mn_6	106,4	22,2	26,4	85,6	14,8	20,9	79,2	12,9	19,5	90,4	16,6	22,5
Фон+ Mn_8	101,8	17,6	17,6	86,4	15,6	22,0	71,8	5,5	8,3	86,7	12,9	17,5
P, %	2,5			2,3			1,8			2,2		
$HCP_{0,05}$	3,8			3,5			2,9			3,4		

Наиболее эффективной из четырех примененных доз солей сернокислого марганца в среднем за три года оказалась доза 6 кг/га. Прибавка урожая сена люцерны составила 16,6 ц/га, или 22,5%. Дальнейшее повышение дозы марганцевых удобрений вызвало снижение прибавки урожая сена люцерны (от 8 кг/га Mn — 12,9 ц/га, или 17,5%).

Результаты, полученные в полевых опытах с люцерной, обрабатывались математическим методом дисперсионного анализа на ЭВМ. Как видно из табл. 1, точность опыта высокая; от 1,8 до 2,5%. Наибольшей

достоверностью все три года характеризовались прибавки урожая сена люцерны от внесения 6 кг/га марганца. Средние данные за все эти годы выявили ту же достоверность, что и показатели отдельных лет.

На развитие и другие жизненные процессы растений большое влияние оказывают азотистые вещества. Однако исследования по выявлению роли азотистых веществ проводились в основном на зерновых культурах и хлопчатнике. Кормовые бобовые изучены очень слабо. С учетом этого нами в течение двух лет (1978—1979) в условиях светлокаштановых почв Агадамского района изучалось влияние микроудобрений на азотистые вещества люцерны (табл. 2).

Таблица 2
Влияние возрастающих доз марганца на химический состав сена люцерны
(среднее за 1978—1979 гг.)

Варианты опыта (доза, кг/га д. в.)	Азот			P ₂ O ₅	Кальций	Марганец, мг/кг
	Общий	Белковый	Небелковый			
Контроль, 6/у	2,68	1,83	0,85	0,52	1,03	38,4
N ₆₀ P ₆₀ K ₆₀ —фон	3,26	2,52	0,74	0,56	1,35	40,5
Фон+Mn ₂	3,40	2,69	0,71	0,90	1,44	45,6
Фон+Mn ₄	3,53	2,85	0,68	0,85	1,52	47,1
Фон+Mn ₆	3,66	3,01	0,65	0,91	1,56	48,4
Фон+Mn ₈	3,36	2,66	0,70	0,87	1,50	48,8

Как видно из данных таблицы, внесение различных доз марганца изменяет содержание общего азота в сене люцерны. Наилучшие результаты получены от внесения в почву марганца в дозе 6 кг/га; содержание общего азота в сене люцерны в этом варианте составляло 3,66%. Другие дозы марганца незначительно изменяют содержание общего азота в сене люцерны. Но, несмотря на это, применение любых доз марганца увеличивает содержание общего азота в сене люцерны по сравнению с удобренным NPK фоном в пределах 0,10—0,40%.

Что касается влияния марганца на содержание отдельных форм азота, т. е. белкового и небелкового, то, основываясь на данных табл. 2, можно сказать, что марганцевое микроудобрение более эффективно в отношении синтеза белкового азота. От применения всех использованных доз марганцевого микроудобрения прибавка белкового азота в сене люцерны по сравнению с удобренным NPK фоном составила 0,14—0,49%. Минимальное содержание белкового азота отмечалось в вариантах с применением сернокислого марганца в дозах 8 и 2 кг/га. Содержание белкового азота в этих вариантах составляло соответственно 2,66 и 2,69% (в фоновом варианте — 2,52%).

Следует отметить, что содержание как общего, так и белкового азота достигает максимума при определенных оптимальных дозах марганцевых микроудобрений. Во всех вариантах начальные и повышенные дозы марганца весьма незначительно изменяли содержание общего и белкового азота в сене люцерны.

На основании проведенных исследований можно прийти к выводу, что увеличение содержания общего белка в сене люцерны происходит в основном за счет белкового азота. Под воздействием марганца интенсивность синтеза белкового азота возрастает, что очень важно при ис-

пользовании в животноводстве белковых кормов. Аналогичные изменения в сене люцерны происходят и с небелковым азотом. По всем вариантам содержание небелкового азота по сравнению с контролем снижается. Отсюда можно сделать вывод, что между внесением в почву марганцевого удобрения и повышением урожая сена люцерны и содержания в нем белковых веществ существует непосредственная взаимосвязь.

Нами исследовано также влияние марганца на содержание целлюлозы в сене люцерны. Как видно из данных табл. 3, в результате внесе-

Таблица 3

Влияние возрастающих доз марганца на химический состав сена люцерны
(среднее за 1978—1979 гг.)

Варианты опыта (доза, кг/га д. в.)	Сухой корм				Зеленая масса	
	Целлю- лоза	Зола	Сухое ве- щество	Витамин C	Витамин C	Витамин A
	%	%	мг/100 г	мг/100 г	мг/кг	
Контроль, 6/у	28,7	9,1	20,2	17,4	33,5	57,8
N ₆₀ P ₆₀ K ₆₀ —фон	28,1	9,7	24,0	21,8	50,8	78,2
Фон+Mn ₂	27,9	9,8	24,4	26,5	61,6	82,0
Фон+Mn ₄	27,9	10,2	25,0	29,3	67,0	85,7
Фон+Mn ₆	27,7	10,5	25,4	31,0	70,4	89,1
Фон+Mn ₈	27,8	10,1	24,7	29,2	68,8	84,2

ния в почву марганца оно по сравнению с контрольным вариантом снизилось. Однако снижение это мизерное, и многие исследователи связывают его с повышением в растениях содержания азотистых веществ. Если в контроле процент целлюлозы составлял 28,7, то в удобренных марганцем вариантах — 27,7—27,9.

Сухой и сочный корма должны быть богаты, наряду с основными питательными веществами, и разными витаминами. Среди витаминов, которыми так богата зеленая масса кормовых бобов, особое место занимает витамин A — одна из составных частей каротина, способствующего нормальному росту и развитию животных. Именно поэтому качество кормов во многом зависит от количественного содержания в них каротина.

Нами в течение двух лет исследовалось содержание витаминов A и C в зеленой массе и сене люцерны (табл. 3). Полученные результаты показывают, что в зависимости от доз марганца содержание витаминов A и C в растениях люцерны сильно меняется. Максимум их приходится на варианты с внесением в почву 6 кг/га сульфата марганца — витамина C в сухой и зеленой (свежей) массе люцерны содержит соответственно 31,0 и 70,4 мг/100 г, а витамина A (каротина) в свежей массе люцерны — 89,1 мг/кг. Таким образом, подкармливаемая сернокислым марганцем люцерна может обеспечивать витаминизированными кормами животноводство и в зимнее время.

Под влиянием сернокислого марганца в люцерне менялось также содержание общей золы, сухого вещества, фосфора, кальция и марганца.

Данные по химическому составу растения, приведенные в табл. 2—3, показывают, что процентное содержание золы изменяется в пределах

9,8—10,5. В удобренных NPK фоновых вариантах золы содержится 9,7%. Под воздействием марганца содержание ее возрастает до 10,5%.

Что касается кальция, способствующего укреплению стеблей растения, то люцерна как растение очень нежное особенно нуждается в нем в первый год жизни.

Данные табл. 2 показывают, что если содержание кальция в удобренном фоне составляет 1,35%, то в наиболее эффективном варианте, т. е. с внесением в почву 6 кг/га сернокислого марганца, оно возрастает до 1,56%.

Применение марганца положительно сказывается и на содержании фосфора в растениях люцерны. Как видно из данных табл. 2, фосфора в люцерне содержится 0,80—0,91%, в удобренном фоновом варианте — 0,66%. Во всех вариантах увеличение дозы марганца ведет к снижению содержания фосфора в растениях. Изменение его в люцерне от внесения в почву разных доз сернокислого марганца на фоне NPK выглядит следующим образом: при дозе 2 кг/га — 0,80, 4 кг/га — 0,85, 6 кг/га — 0,91 и 8 кг/га — 0,87%.

Нами изучено также действие марганца на содержание его самого в люцерне. Судя по табл. 2, действие это положительно. Содержание марганца в растениях находится в прямой зависимости от вносимых в почву доз этого вида микроудобрения. При внесении в почву 2 кг/га марганца содержание этого элемента в растениях составляет 45,6 мг/кг, при повышении дозы до 4 кг/га увеличивается до 47,1 мг/кг, при 6 и 8 кг/га — еще больше, составляя соответственно 48,4 и 48,8 мг/кг.

Нами определялось также накопление сухого вещества люцерны, обусловленное процессами ассимиляции, интенсивностью обмена вещества и являющееся показателем повышения урожайности.

С агрономической точки зрения, по сбору сухого вещества можно судить об общем урожае сельскохозяйственных культур. Исходя из этого нами перед каждым укосом у всех взятых образцов растений люцерны вначале определялся вес зеленої массы, а после смешивания — сухое вещество. Изучение сухого вещества по всем вариантам давало представление об урожайности растений.

Данные табл. 3 показывают, что внесение различных доз марганца в почву заметно улучшает содержание сухого вещества в люцерне. Так, если в фоновом варианте, удобренном NPK, оно составляло 24,0%, то в вариантах с марганцевым микроудобрением — 24,4—25,4%. В наиболее эффективном варианте с внесением марганца в дозе 6 кг/га процент сухого вещества был равен 25,4.

Институт почвоведения и агрохимии
АН АзССР

Поступило 6. III 1983

Э. Н. Күләһмәдов, Н. А. Агаев, А. М. Эзимов, Т. М. Агаева

ЮНЧАНЫН МӘҮСҮЛДАРЛЫГЫНА ВӘ МӘҮСУЛУН ҚЕЙФИЈАТЫНӘ МАНГАН МИКРОЕЛЕМЕНТИНИН ТӘСИРИ

Мангани микрокүбрәснинин юнчанын кәмијәт вә қејфијәтиң тәсириниң өјрәнімек мәгсәдилә үч ил мұддәттінде (1978—1980) Гарабаг дүзү дагатәни дүзәнлигінин (Ағдам раionы һәмміндегі) ачығ-шабалыды торнагларында тәдгигат ишиләри апарылмышды.

Мангани-суlfаттың дөрд дозасынан (2, 4, 6, 8 кг/га) истифада едилміш вә мүэжізарәтә иисбәтті артыймы 16,6 сант/га вә жаһуд 22,5% олмушудур.

Мангани күбрәснин тәсирі істігасында юнча күләшнин тәркібінде азоту, фосфору, күдүн, калсиумын, манганин, гуру маддәнин вә с. мигдары иессәре чарлаға дәрәчәдә жүксөлмешидір.

A. N. Gulakhmedov, N. A. Agaev, A. M. Azimov, T. M. Agaeva

THE INFLUENCE OF MANGANESE MICROELEMENT ON THE YIELD AND QUALITY OF LUCERNE

The effect of manganese microfertilizer was studied in quantity and quality of the lucerne yield in the course of three years (1978—1980) in the light-chestnut soils under the mountain plain of the Karabakh steppe within the Agdam region.

The manganese sulphate salt showed the most effective dose among four doses—6 kg/g in the course of three years. The addition of the yield of hay of lucerne made up 16,6 cent/g (22,5%). The content of general ashes, dry matter, phosphorus, different forms of nitrogen, cellulose, vitamins A and C changed also under the manganese in lucerne.

ФИЗИОЛОГИЯ ЧЕЛОВЕКА И ЖИВОТНЫХ

Н. М. ГИРЕЕВ

**ЭКСПЕРИМЕНТАЛЬНЫЕ ДАННЫЕ О ВЛИЯНИИ НЕФТИ
И НЕФТЕПРОДУКТОВ РАЗНЫХ МЕСТОРОЖДЕНИЙ НА
ПОКАЗАТЕЛИ КРОВИ МОЛОДЫ ОСЕТРОВЫХ
И ҚАРПОВЫХ РЫБ**

(Представлено академиком АН Азербайджанской ССР
Г. Г. Гасановым)

В настоящее время накоплен большой фактический материал о влиянии нефти и нефтепродуктов на различные морфофизиологические и биохимические показатели отдельных представителей водных организмов [1—8, 11]. Однако в большинстве случаев полученные данные противоречивы и мнения авторов по данному вопросу расходятся.

Такое положение, как справедливо отмечается в [9, 10], связано, вероятно, с исследованием различных видов нефти, различающихся по химическому составу. При изучении действия того или иного вида нефти необходимо установить влияние их компонентов на физиологическое состояние разных организмов.

В настоящей статье приводятся результаты изучения влияния трех видов азербайджанской нефти на морфологические показатели крови осетровых и карповых рыб.

МАТЕРИАЛ И МЕТОДИКА ИССЛЕДОВАНИЙ

В качестве объектов исследования была взята модель осетра и куринского сазана в возрасте 6—10 мес. Сырую нефть месторождений «Сураханы», «Нефтяные камни», «Ширван» брали в концентрации 0,05 мл/л; нефтепродукты (нафтеновую кислоту, керосин и бензин) — в различных концентрациях.

Опыты проводили весной и летом при температуре 18,3—22°C. Продолжительность их — от 2 до 60 сут. Пересадив рыб по 5—10 особей в воду с разной концентрацией токсикантов, вели наблюдения за изменением физиологических параметров.

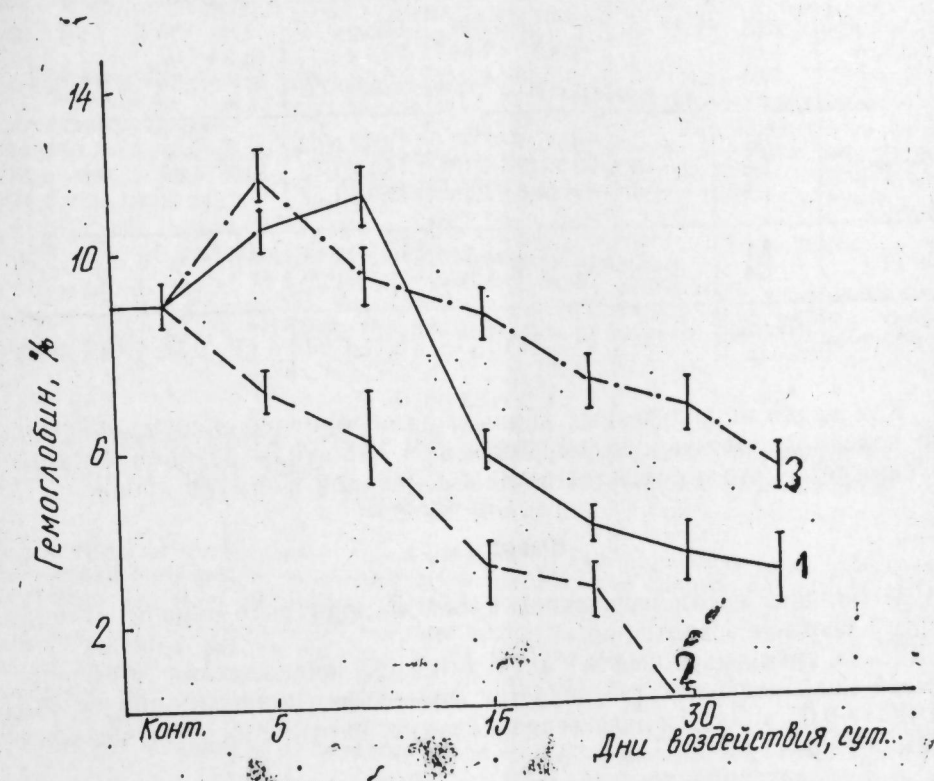
Гематологические показатели определялись по общепринятым методикам.

РЕЗУЛЬТАТЫ ИССЛЕДОВАНИЙ И ИХ ОБСУЖДЕНИЕ

В ходе экспериментов найдено, что количество гемоглобина в крови под воздействием нефти и нефтепродуктов в зависимости от време-

ни экспозиции меняется (рисунок). Через 5 сут после воздействия нефти и керосина оно заметно увеличивается, а в среде, где имеются нафтеновые кислоты, — уменьшается. В растворах нефти повышение содержания гемоглобина в крови наблюдается до 10—15 сут воздействия, при более длительном оно снижается.

Значительные изменения происходят и в лейкоцитарной формуле крови рыб.



Влияние нефти — 0,05 мл/л (1); нафтеновых кислот — 0,05 (2); керосина — 0,03 мл/л (3) на динамику гемоглобина в крови

Судя по показателям крови, нефть месторождения «Нефтяные камни» оказалась более токсичной, чем сураханская и ширванская. Аналогичное изменение лейкоцитарной формулы крови осетра вызывают и нефтепродукты различной концентрации (таблица).

Опыты показали, что при концентрации бензина и керосина 0,1 мл/л количество лимфоцитов почти не меняется, тогда как моноцитов незначительно увеличивается, а эозинофилов уменьшается. При повышении концентрации бензина и керосина до 0,3—0,5 мл/л количество лимфоцитов и эозинофилов достоверно уменьшается, а моноцитов и полиморфоядерных клеток — увеличивается. Очень сильным токсическим действием обладают нафтеновые кислоты; так, уже при концентрации 0,03—0,05 мл/л происходят необратимые изменения в лейкоцитарной крови молоди осетра. Вероятно, токсичность нефти различных месторождений определяется уровнем в них нафтеновых кислот.

Изменение морфологических показателей крови молоди осетра (возраст 12 мес.) при воздействии разной концентрации нафтеновых кислот, керосина и бензина (длительность опытов 10 сут)

Нефтепродукты	Конц-ция, мл/л	Время экспозиции, сут	Лейкоцитарная формула, %			
			Лимфоциты	Моноциты	Полиморфонядерные клетки	Эозинофилы
Нафтеновая кислота	0,01	6	71,8 ± 1,27	10,8 ± 0,99	9,8 ± 0,20	7,6 ± 0,24
	0,03	5	53,7 ± 1,88	29,4 ± 1,42	13,2 ± 1,01	3,7 ± 0,13
	0,05	5	52,9 ± 2,02	30,6 ± 1,55	13,9 ± 1,35	2,5 ± 0,09
Керосин	0,1	7	75,4 ± 1,83	12,9 ± 0,83	5,6 ± 0,33	6,1 ± 0,18
	0,3	6	70,7 ± 1,16	15,1 ± 1,12	10,2 ± 1,03	4,0 ± 0,29
	0,5	6	61,0 ± 1,45	19,3 ± 1,57	14,8 ± 1,42	1,9 ± 0,04
Бензин	0,1	5	72,3 ± 1,23	13,5 ± 1,15	9,0 ± 0,98	5,2 ± 0,26
	0,3	5	61,9 ± 1,06	21,7 ± 1,59	12,6 ± 1,46	3,8 ± 0,15
Контроль	Чистая вода	—	79,1 ± 1,31	8,7 ± 0,99	3,8 ± 0,52	8,4 ± 0,28

Как видно из полученных данных, даже при небольшом загрязнении водоемов нефтью и нефтепродуктами защитная реакция организма снижается, что отражается на лейкоцитарной формуле крови.

Выводы

1. Влияние нефти на картину крови молоди рыб зависит от вида нефти и срока ее воздействия.
2. Из трех видов нефти (сурханская, ширванская, Нефтяных камней) наиболее токсичной является последняя; концентрация ее выше 0,03—0,05 мл/л вызывает значительные нарушения лейкоцитарной формулы крови рыб.
3. Концентрация керосина и бензина более 0,1 мл/л нафтеновых кислот 0,01 мл/л губительно действует на защитные функции молоди.

Литература

1. Веселов В. А. Влияние на рыб загрязнения воды нефтью. — «Рыб. хоз-во». 1948, № 12, с. 21—22.
2. Касимов Р. Ю., Рустамова Ш. А. Влияние различных концентратов нефти из Ширванских нефтепромыслов на различные этапы развития осетровых рыб. — В кн.: Мат-лы науч. сессии ЦНИОРХ. Баку, 1968, с. 31—32.
3. Касимов Р. Ю. Влияние различных концентраций нефти и щелочей на некоторые физиологические показатели молоди рыб. — В сб.: Нейрофармакологический и электрографический анализ механизмов афферентных влияний с висцеральными системами. Баку: Элм, 1978, с. 127—135.
4. Лукьяненко В. Н. — В кн.: Токсикология рыб. М.: Пищевая пром-ть, 1967, с. 3—216.
5. Лукьянков и др. Анализ действия токсичных веществ на ЦНС рыб в свете проблемы биотестирования качества водной среды. — Биол. науки, 1980, № 2, с. 5—18.
6. Мазманиди И. Д. К вопросу о симптоматологии отравления и механизме действия растворенных нефтепродуктов на некоторые виды гидробионтов Черного моря. — В кн.: Мат-лы Всесоюз. симпозиума по изучению Черного моря и Средиземного. Севастополь: Наукова думка, 1973, т. 4, с. 75—11.
7. Миронов О. Г. Биологические ре-сурссы моря и нефтяное загрязнение. — М.: Пищевая пром-ть, 1972, с. 105.
8. Нельсон-Смит А. Загрязнение моря нефтью. — Л.: Гидрометеоиздат, 1973, с. 5—123.
9. Рустамова Ш. А., Касимов Р. Ю. Влияние нефтяного загрязнения на важнейшие физиологи-

ческие функции рыб. — Изв. АН АзССР. Сер. биол. наук, 1977, № 3, с. 105—110. 1s
Kühnhold W. W. Investigations on the toxicity of seawater-extracts of the crude oil on eggs of cod (*Gadus morhua*). — Berichte der Deutschen Wissenschaftlichen Kommission für Meeresforschung, 1974, 23, N 2, p. 165—180.

Институт физиологии им. А. И. Каравея

Поступило 26. II 1982

Н. М. Киреев

МУХТАЛЫФ НЕФТ ІДАГЛАРЫНДАН КӨТҮРҮЛМУШ НЕФТ ВӘ НЕФТ МӘҢСУЛЛАРЫНЫН НӘРӘ ВӘ ӘЧӘКИ БАЛЫГЛАРЫ ГАНЫНА ТӘ'СИРИНӘ АНД ТӘДДИГИ НӘТИЧӘЛӘР

Мәгәләдә Азәрбајҹан нефтинин вә нефт мәңсулларынын үч нөвүнүн (нафтен түршесү, керосин вә бензин) нәрә вә әчәки балыглары ганынын морфология көстәричиләрни тә'сири верилмишdir. «Сураханы», «Нефт дашлары» вә «Ширван» нефт жатагларындан көтүрүлмүш нефт тәддиги едилемшишdir. Айдын олмушшур ки, нефтин дикәр нөвлөриндән фәргли олараг, «Нефт дашлары»дан көтүрүлмүш нефт даһа күчлү токсикаты тә'сири маликдир.

Гејд етмәк лазымдыр ки, нефтин лейкоситләрini формасына тә'сири балыг нөвүнди, нефт вә нефт мәңсулларынын тә'сир мүддәттindән асылыдыр.

Тәддигатларын нәтижәси көстәрмешdir ки, керосин вә бензинин 0,1 мл/л-дән артыг, нафтен түршесүнүн 0,01 мл/л-дан артыг концентрасијасы ганын мудафиә функциясына мәнфи тә'сир көстөрир, бунун нәтижәсінде дә ганда лимфосит вә эозинофилләрин сајы азалып.

N. M. Gireyev

EXPERIMENTAL DATA ON THE INFLUENCE OF OIL AND OIL-PRODUCTS FROM DIFFERENT DEPOZITS UPON BLOOD QUOTIENT OF STURGEON AND CARP JUVENILE

The effect of three types of the Azerbaijan oil and oil-products (naphthenic acid kerosene and benzine) on morphological blood indices of sturgeon and carp juvenile was studied. Oil from "Surazan", "Neftyaney Kamni", "Shirvan" depozits was investigated. It was established that the most toxic is the oil from "Neftyaney Kamni". It should be noted that the influence of oil on leucocytic formula depends upon specific differences and periods of oil and oil-products influence. The data obtained showed that the concentration of kerosene and benzine more than 0,1 ml/l and naphthenic acid more than 0,01 ml/l had negative effect on blood defensive functions which was expressed in decrease of lymphocyte and eosinophil quantity.

УДК 616.127-005.8-092.11.4:615.273.5

ЭКСПЕРИМЕНТАЛЬНАЯ МЕДИЦИНА

Я. Д. МАМЕДОВ, Ф. И. ИСЛАМ-ЗАДЕ, Г. Ш. ГАРАЕВ

**СВЕРТЫВАЮЩАЯ И ПРОТИВОСВЕРТЫВАЮЩАЯ АКТИВНОСТЬ
КРОВИ НА ФОНЕ ЭКСПЕРИМЕНТАЛЬНОГО ИНФАРКТА
МИОКАРДА ПРИ ПРИМЕНЕНИИ КОМПЛЕКСА
ТЕРРИЛИТИН-ГЕПАРИН**

(Представлено академиком АН Азербайджанской ССР
Г. Г. Гасановым)

Признание роли коронаротромбоза в патогенезе инфаркта миокарда служит обоснованием применения тромболитических препаратов при лечении данного заболевания. Более того, по мнению авторов, эффект тромболитической терапии при инфаркте миокарда определяется прежде всего, воздействием на кровоток в системе микроциркуляции перининфарктной зоны [5, 12]. Нарушения микроциркуляции играют значительную роль при распространении некроза в перининфарктную зону. После возникновения инфаркта миокарда на ограничение размеров некротической зоны можно рассчитывать только за счет «спасения» оклонекротической зоны [11], являющейся потенциально опасным участком возможного расширения зоны некроза. Таким образом, поиск перспективных методов тромболитического лечения инфаркта миокарда имеет большое практическое значение.

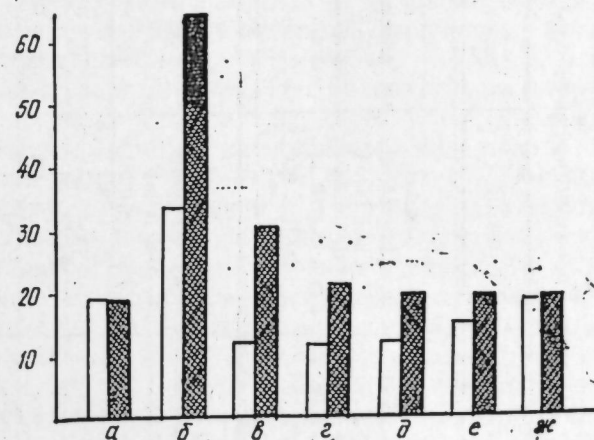
За последние годы арсенал лекарственных средств пополнился новым протеолитическим препаратом отечественного производства — террилитином, который обладает фибринолитическим действием [4]. Экспериментами установлено, что при внутреннем применении террилитина происходит лизис артериальных и венозных тромбов [1, 7, 9]. Наши предыдущие исследования показали, что комплекс террилитина с гепарином более интенсивно повышает активность фибринолиза, нежели один террилитин [8].

Учитывая вышеуказанное, мы задались целью изучить действие тромболитического препарата террилитина в комплексе с гепарином при экспериментальном инфаркте миокарда. Исследования проводились на 20 беспородных собаках, разделенных на 2 группы. Инфаркт миокарда воспроизводили методом электротермокоагуляции передней межжелудочковой артерии сердца у бодрствующих животных [2].

8 собакам контрольной группы после моделирования инфаркта миокарда внутривенно вводили раствор гепарина в дозе 100 МЕ на 1 кг массы тела, а 12-ти основной проводили инъекцию террилитина (10 протеолитических единиц на 1 кг массы тела) и гепарина (100 МЕ/кг) — через 3 ч после моделирования инфаркта миокарда и через 24 ч после первой инъекции. В контрольной группе 2 собаки пали в течение первых суток после воспроизведения инфаркта миокарда. Анализы крови

брали до воспроизведения инфаркта миокарда, через 1 и 24 ч после первой инъекции и через 3, 6, 14 и 30 сут после моделирования «болезни». Коагуляционный потенциал крови устанавливали тромбоэластографическими исследованиями на отечественном гемокоагулографе ГКГМ 4-02. Для оценки функциональной способности противосвертывающей системы определяли следующие показатели: толерантность плазмы к гепарину по Sigg (1952), содержание свободного гепарина — по Э. Сирман (1957), суммарную фибринолитическую активность цельной крови — по Б. А. Кудряшову и Л. А. Ляпиной [6]. Кровь брали из вены. Полученные данные обрабатывали методом вариационной статистики [10].

Ранее нами было сообщено, что при указанной модели экспериментального инфаркта миокарда (без применения препаратов) состояние коагуляционного статуса крови меняется в зависимости от срока, прошедшего после воспроизведения «болезни». В первые часы после воспроизведения экспериментального инфаркта миокарда отмечается умеренное повышение коагуляционного потенциала и повышение фибринолитической активности крови, со второго дня — увеличение активности свертывающей системы крови. Начиная со второй недели активность свертывающей системы постепенно снижается и к концу первого месяца приближается к норме [3].



Суммарная фибринолитическая активность крови животных (%) при применении гепарина и комплекса террилитин-гепарин:

а) до воспроизведения инфаркта миокарда; б) через 1 ч после введения препаратов на фоне острого инфаркта миокарда; в) через 24 ч после введения препаратов; г) через 3 дня; д) через 1 нед.; е) через 2 нед.; ж) через 1 мес. после воспроизведения инфаркта миокарда. Светлые столбики — фибринолитическая активность крови при применении гепарина, заштрихованные — при применении комплекса террилитин-гепарин

В таблице представлены результаты тромбоэластографических анализов контрольной и основной групп животных. Р вычислено из сравнения данных по первой и второй группам в аналогичные сроки после воспроизведения инфаркта миокарда.

Исследования показали, что при применении гепарина активность свертывающей системы крови временно снижается, о чем свидетельст-

Изменения показателей тромбоэластографии при экспериментальном инфаркте миокарда на фоне применения гепарина и комплекса террилитин-гепарин

Группа	Статистические показатели	После воспроизведения инфаркта миокарда и после введения препаратов								
		До воспроизведения инфаркта миокарда		через 1 ч		через 24 ч		через 3 дня	через 1 нед	через 2 нед
I	<i>n</i>	8	694,25±25,71	134±14,09	169±20,76	185±26,67	240±21,59	405±46,69	6	405±46,69
	R, с	415,5±36,85	318±31,48	130±14,34	98±9,25	140±8,15	151±22,20	210±25,5	210±25,5	
	K, с	217,5±25,44	50,13±1,54	67±1,84	68,67±2,58	65,33±1,49	60,67±2,31	59±2,92	59±2,92	
	Ma, мМ	58±1,32	102,09±6,96	208,15±18,33	233,67±3,70	192,92±15,93	158,7±14,55	119,9±16,94	119,9±16,94	
II	<i>n</i>	8	3,01±0,156	16,09±2,05	15,89±1,305	12,40±1,780	9,60±1,074	6,03±0,589	6	6,03±0,589
	R, с	400±28,037	965±66,335	547,7±40,49	497±31,46	419±37,35	396,7±24,299	409±36,65	9	409±36,65
	K, с	221,5±13,792	491±43,56	351,5±40,39	256,5±0,03	P<0,001	P<0,001	P<0,001	202±10,68	P>0,5
	Ma, мМ	55,67±0,87	41,08±1,242	46,33±2,05	50,83±2,048	P<0,001	224±17,98	232±17,76	P>0,5	P>0,5
III	<i>n</i>	12	126,5±4,386	70,59±3,708	96,15±8,183	107,19±8,331	52,75±2,323	57,23±1,949	56±1,239	56±1,239
	R, с	P>0,5	P>0,1	P<0,001	P<0,001	P<0,001	P<0,001	P<0,001	P>0,1	P>0,2
	K, с	5,55±0,375	1,80±0,142	3,24±0,332	4,26±0,326	P<0,001	117,31±10,68	138,31±11,90	128,18±6,51	P>0,2
	Ma, мМ	P>0,5	P>0,001	P<0,001	P<0,001	P<0,001	P<0,001	P<0,001	5,77±0,316	5,35±0,521
IV	<i>n</i>	12	1,26±0,142	1,80±0,142	1,80±0,142	1,80±0,142	P<0,001	P<0,001	P<0,001	P>0,5
	R, с	P>0,5	P>0,1	P>0,1	P>0,1	P>0,1	P>0,1	P>0,1	P>0,1	P>0,1
	K, с	5,55±0,375	5,55±0,375	5,55±0,375	5,55±0,375	P<0,001	P<0,001	P<0,001	P<0,001	P<0,001
	Ma, мМ	P>0,5	P>0,1	P>0,1	P>0,1	P>0,1	P>0,1	P>0,1	P>0,1	P>0,1

вуют удлинение времени реакции (*R*), времена образования кровяного сгустка (*K*), уменьшение максимальной амплитуды (*Ma*), снижение эластичности сгустка (*ε*) и индекса коагуляции *Ct* через 1 ч после введения гепарина. Однако через 24 ч после введения гепарина отмечается выраженная гиперкоагуляция, которая, по-видимому, связана с исчезновением экзогенного гепарина из циркулирующей крови и повышением тромбопластической активности крови при инфаркте миокарда. В дальнейшем состояние коагуляционного потенциала крови меняется в зависимости от срока, прошедшего после воспроизведения инфаркта миокарда. В течение первых двух недель активность свертывающей системы крови находится на высоком уровне. По истечении указанного срока показатели тромбоэластографии постепенно приближаются к норме.

У животных, получивших террилитин с гепарином через 1 ч после введения комплекса, отмечается более выраженная гипокоагуляция, а в дальнейшем — постепенная нормализация показателей тромбоэластографии. В этой группе гиперкоагуляционные сдвиги не отмечаются и в более поздние сроки исследования.

При применении гепарина активность противосвертывающей системы крови временно повышается. Фибринолитическая активность крови у животных первой группы в исходном состоянии находится на уровне 19,28±0,592, а через 1 ч после введения гепарина на фоне экспериментального инфаркта миокарда — на уровне 33,53±2,75 (*P*<0,001). В указанный период заметно снижается толерантность плазмы к гепарину (в исходном состоянии 215,6±25,31, через 1 ч после введения гепарина — 475±37,31, *P*<0,001) и увеличивается содержание свободного гепарина (соответственно 6,625±0,498 и 17,75±1,67, *P*<0,001). В последующем у животных контрольной группы наблюдается угнетение функциональной способности противосвертывающей системы, что выражается в заметном снижении фибринолитической активности, содержание свободного гепарина и увеличении толерантности плазмы к гепарину. В течение первых двух недель изучаемые показатели противосвертывающей системы крови находятся на низких уровнях, а нормализация указанных показателей наблюдается только по истечении первого месяца после воспроизведения инфаркта миокарда. У животных, получивших комплекс террилитина с гепарином, наблюдается более выраженная активизация противосвертывающей системы крови в первые часы после воспроизведения инфаркта миокарда (фибринолитическая активность у животных первой группы 33,53±2,75, у животных второй группы 63,88±2,64, *P*<0,001; толерантность плазмы к гепарину соответственно 475±37,31 и 627,17±40,884, *P*<0,02; содержание свободного гепарина 17,75±1,67 и 28,25±2,63, *P*<0,01). В дальнейшем у животных основной группы, в отличие от контрольных, угнетение фибринолиза не отмечалось (рисунок).

Таким образом, применение гепарина в комплексе с террилитином в остром периоде инфаркта миокарда предотвращает угнетение фибринолиза и повышение функциональной активности свертывающей системы. Нормальные показатели свертывающей и противосвертывающей системы крови у собак, получивших комплекс террилитина с гепарином в более поздние сроки, могут быть связаны с благоприятным течением инфаркта миокарда у животных данной группы, о чем свидетельствуют электрокардиографические исследования и морфологические анализы после умерщвления собак.

Э. Р. АХМЕДОВА, А. А. КУЛИЕВ, Э. И. ГИГИЕНОВА,
В. Д. КУЛИЕВ, Н. П. МЕХТИЕВА

ЖИРНОКИСЛОТНЫЙ СОСТАВ СЕМЯН ШАЛФЕЯ МУСКАТНОГО (*Salvia Sclarea L.*) В УСЛОВИЯХ АЗЕРБАЙДЖАНА

(Представлено академиком АН Азербайджанской ССР
В. И. Ульянищевым)

Шалфей мускатный (*Salvia sclarea L.*) — цениное эфирномасличное растение богато одновременно и жирными маслами. Это редкое свойство поставило его в ряд технических культур, относительно которых может быть решен вопрос о двойном использовании — для получения эфирного и жирного масел. В работах [1—3] констатируется факт достаточно высокого содержания эфирного масла в соцветиях (0,162—0,52; 0,28—0,3; 0,189—0,330%). Содержание жирного масла в семенах шалфея мускатного, по данным [4] и [5], доходит до 30%. Как показывают наши исследования [6], процент эфирного масла в растении варьирует в зависимости от фазы развития в широких пределах — от 0,178 до 0,852, а содержание жирного масла в семенах — 24,5%.

Л. М. Драновская [7], изучив физико-химические свойства жирного масла из семян шалфея мускатного, установила, что оно относится к высыхающим маслам и обладает большей способностью к высыханию, чем широко применяемое льняное масло. Это качество очень ценится при изготовлении лаков, а масляные краски на его основе обладают хорошей светостойкостью и кроющей способностью, легко смешиваются с другими масляными красками и дают прочный слой.

В настоящей статье приводятся результаты исследования жирнокислотного состава семян шалфея мускатного, выращенного на Закатальском опорном пункте и на участке Ботанического сада Института ботаники.

МЕТОДИКА ИССЛЕДОВАНИЙ

Объектом исследований служили семена шалфея мускатного урожая 1979—1980 гг., хранившиеся в лабораторных условиях при нормальной температуре и влажности. Очищенные и измельченные, они трехкратно экстрагировались петролейным эфиром (40—60°) при комнатной температуре. Объединенные экстракты упаривали на ротационном испарителе, а выделенное жирное масло просушивали в вакуум-сушильном шкафу при 40°С. Физико-химические показатели масла определяли общепринятыми методами: удельный вес, число омыления, кислотное число — по [8], йодное число — по [9], коэффициент рефракции на рефрактометре ИРФ-22, число Поленского и число Рейхарта — Месселя — по [10].

Смесь жирных кислот из масла выделяли раствором KOH в мета-

Литература

1. Андреев С. В., Кубатиев А. А., Кобкова И. Д., Мамедов Я. Д. и др. — В кн.: Актуальные проблемы гемостазиологии. М.: Наука, 1981, с. 384—391.
2. Гараев Г. Ш. Удостоверение на рационализаторское предложение, выданное БРИЗ 1-го ЛОКЗМИ им. акад. И. П. Павлова, № 83/76.
3. Ислам-заде Ф. И. — В кн.: Мат-лы Респ. науч. конф. аспирантов, II. Баку: Элм, 1981, с. 245—248.
4. Ишинецкий А. А. — В кн.: Актуальные проблемы гемостазиологии. М.: Наука, 1981, с. 91—98.
5. Коняев Б. В., Яковлев В. Б., Авдеева И. А. Междунар. конф. «Противотромбическая терапия в клинической практике»: Тез. докл. — М., 1979, с. 96—98.
6. Кудряшов Б. А., Ляпина Л. А. — Лабор. дело, 1978, № 10, с. 587—588.
7. Мамедов Я. Д., Гусейнов Г. А., Рейш А. В. — В кн.: Актуальные проблемы гемостазиологии. М.: Наука, 1979, с. 255—258.
8. Мамедов Я. Д., Гусейнов Г. А., Рейш А. В. — В кн.: Актуальные проблемы гемостазиологии. М.: Наука, 1981, с. 290—294.
9. Мамедов Я. Д., Рейш А. В. — В кн.: Актуальные проблемы гемостазиологии. М.: Наука, 1981, с. 384—391.
10. Ойвин А. В. — В кн.: Мат-лы по патогенезу воспаления и патологии сосудистой проницаемости. Степнабад, 1956, т. 21, вып. 3, с. 195—230.
11. Руда М. Я. — Кардиология, 1981, № 1, с. 5—8.
12. Trigano J. A., Torrasani J., Jouze A. — Rev. Practic, 1974, v. 55, p. 5019—5035.

АМИ им. Н. Нариманова

Поступило 13. V 1982

Ж. Ч. Мәммәдов, Ф. И. Исламзадә, Г. Ш. Гараев

ЕКСПЕРИМЕНТАЛ МИОКАРД ИНФАРКТЫ ФОНУНДА ТЕРРИЛИТИНЛӘ ҢЕПАРИНИН ТӘТБИГИ ЗАМАНЫ ГАНЫН ЛАХТАЛАНМА ГАБИЛИЈИЛДІТІ

Итләрдә експериментал миокард инфаркты фонунда террилитин-ңепарин комплексинин ганын лахталанмаға ёкса-лахталанма системаларын тәсіри тәдгіг олунмушшудар. Ңәтижеләр мүгајиса етмәк үчүн һејвандарын бир һиссесине ңепаринде террилитин, дикәр һиссесине исә жалының ңепарин яридилинишдір (вена дахлини). Тәрүбәләр көстәрмишишdir ки, террилитин-ңепарин гарышығы ганын ёкса-лахталанма габилијәтінниң нәзәрәре өткөнде өткөнде әрәпчәдә յұксәлдір, лахталанма габилијәтін мұвағгәтін оларға азалағы, сондайлар исә иккічили ңиперкоагулация қишишаға едір. Ңепаринде бирлікдә террилитин тәтбиги едилдікде иккічили ңиперкоагулация қалы мүшәнідә олумур.

Ya. J. Mamadov, F. I. Islam-zade, G. Sh. Garaev

COAGULATIVE AND ANTI-COAGULATIVE ACTIVITY OF BLOOD ON THE BACKGROUND OF EXPERIMENTAL MYOCARDIAL INFARCTION WITH THE USE OF COMPLEX PREPARATION TERRILITIN—HEPARIN

The article deals with the study of influence of thrombolytic preparation terrilitin in combination with heparin upon the coagulative and anti-coagulative activity of blood in the presence of experimental myocardial infarction of dogs. Heparin was used as a control.

The investigations show that with the use of terrilitin the anti-coagulative activity of blood appreciably grows while the coagulative system inhibits. The use of terrilitin with heparin prevents the repeated growing of coagulative activity of blood in the distant time after the injections, which we observe in the cases of the use of heparin only.

Иоле при комнатной температуре. Мыла растворяли в воде, и из полученного раствора неомыленную часть экстрагировали трижды петролейным эфиром. Мыла разлагали 10%-ной H_2SO_4 под слоем диэтилового эфира.

Жирные кислоты этирифицировали диазометаном, и полученные метиловые эфиры жирных кислот количественно разделяли методом газожидкостной хроматографии. Газожидкостную хроматографию проводили на хроматографе «Хром-4» с пламенно-ионизационным детектором на колонке из нержавеющей стали, заполненной «Chromaton N-AW-DMCS» с 17%-ным этиленгликольсульфратом. Длина колонки 2,5 м, температура — 242°C. Скорость газоносителя гелия — 100 мл/мин, водорода — 60, воздуха — 60 мл/мин.

Пики метиловых эфиров жирных кислот идентифицировали по величине относительного времени удерживания с использованием линейной зависимости логарифмов этой величины от числа атомов углерода (II).

ЭКСПЕРИМЕНТАЛЬНАЯ ЧАСТЬ

Содержание жирного масла в воздушно-сухих семенах — 24,5%.

Физико-химические свойства жирного масла	
Цвет —	светло-желтый
Удельный вес, d_4^{20}	0,90
Коэффициент рефракции n_d^{20}	1,4770
Число омыления, мг КОН/г	117,81
Кислотное число, мг КОН/г	2,21
Эфирное число	115,57
Подное число, % У ₂	131,0
Число Попенского, %	0,27
Число Рейхарта—Месселя, %	2,8

Содержание неомыленных веществ, % — 0,31.

На рис. 1 представлена хроматограмма жирных кислот триацилглицеридов. Идентификацией устанавливались наличие кислот и рассчитывалось содержание их в % от общего количества:

Тридециловая ($C_{13:0}$)	— 0,5
Миристиновая ($C_{14:0}$)	— 0,3
Миристолеиновая ($C_{14:1}$)	— 0,1
Пальмитиновая ($C_{16:0}$)	— 3,6
Пальмитолеиновая ($C_{16:1}$)	— 1
Стеариновая ($C_{18:0}$)	— 1,2
Олеиновая ($C_{18:1}$)	— 26,0
Линолевая ($C_{18:2}$)	— 19,1
Линоленовая ($C_{18:3}$)	— 48,2

где 0 — насыщенная к-та; 1 — с одной двойной связью; 2 — с двумя двойными связями; 3 — с тремя двойными связями.

В результате ферментативного гидролиза триацилглицеридов панкреатической липазой получены моноглицериды, которые подвергались щелочному гидролизу. Выделенные жирные кислоты — моноглицериды переведены в метиловые эфиры соответствующих кислот с помощью диазометана.

На рис. 2 представлена газожидкостная хроматография моноглицеридной фракции.

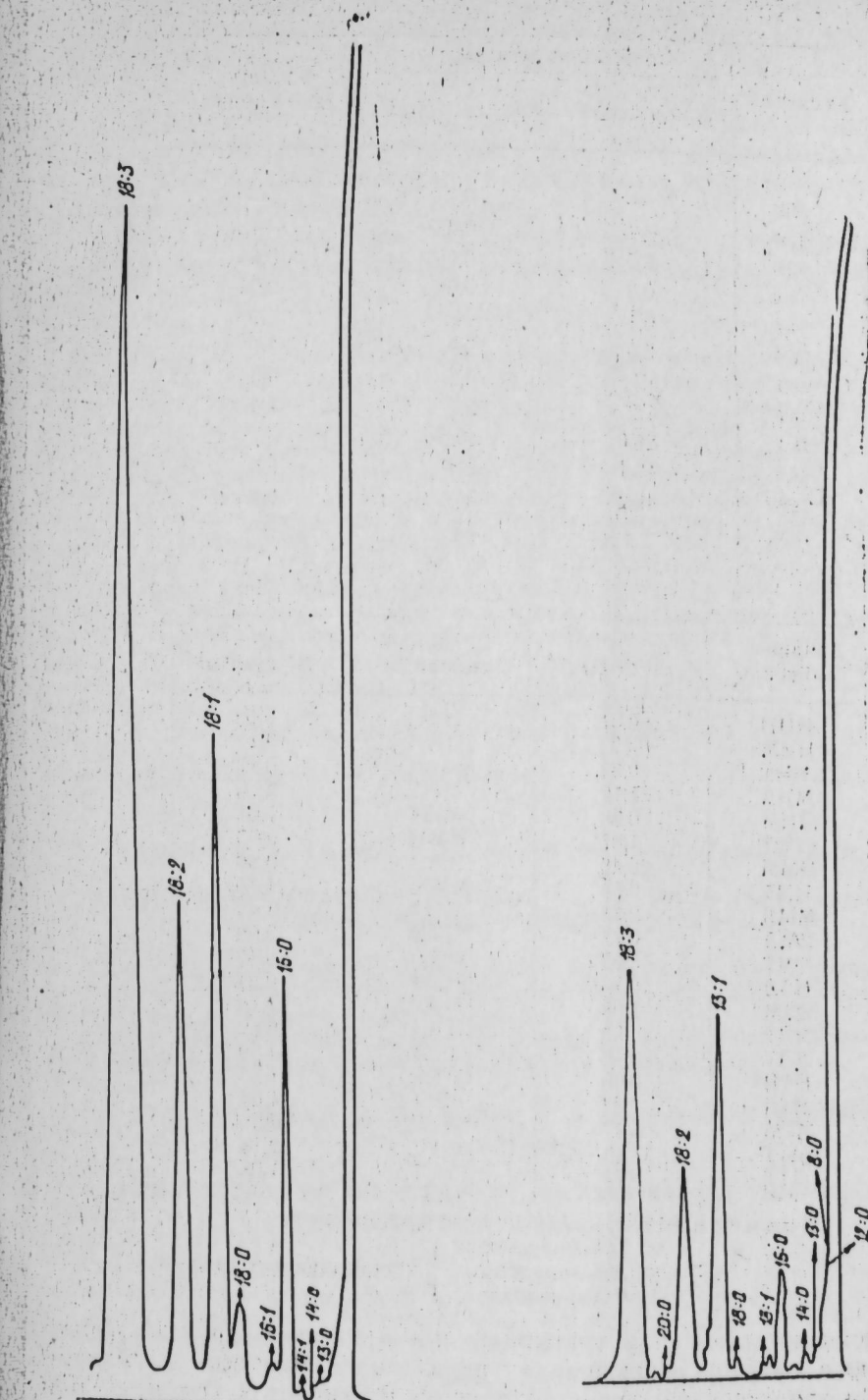


Рис. 1. Состав жирных кислот — триацилглицеридов масла семян шалфея мускатного

Рис. 1. Состав моноглицеридной фракции жирного масла семян шалфея мускатного

Таблица 1

Кислоты	Содержание кислот		Фактор обогащения
	Триглицериды	Моноглицериды	
C _{8:0}	—	0,3	—
C _{12:0}	—	0,08	—
C _{13:0}	0,5	0,08	0,01
C _{14:0}	0,3	0,04	0,01
C _{14:1}	0,1	—	0
C _{16:0}	3,6	5,9	1,5
C _{16:1}	1	0,5	0,5
C _{18:0}	1,2	2,0	1,6
C _{18:1}	26,0	18,9	0,7
C _{18:2}	19,1	17,5	0,8
C _{18:3}	48,2	54,0	1,1
C _{20:0}	—	0,8	—

Таблица 2

Гиацинтил- глициериды	% от суммы	Гиацинтил- глициериды	% от суммы
ННН	0,01	НДН	0,03
ННМ	0,22	ННД	0,14
ННТ	0,32	МНМ	0,87
МНД	1,12	МНТ	2,55
МНМ	0,36	МНТ	1,61
ТНТ	1,87	НМН	0,03
НММ	0,46	НМД	0,30
НМТ	0,68	МММ	1,86
ММД	2,38	ММТ	5,44
ДМД	0,77	ДМТ	3,50
ТМТ	3,98	НДМ	0,42
НДД	0,26	НДТ	0,61
МДМ	1,68	МДД	2,16
МДТ	4,90	ДДД	0,69
ДДТ	3,16	ТДТ	3,59
НТН	0,08	НТМ	1,28
НТД	0,83	НТТ	1,88
МТМ	5,17	МТД	6,66
МТТ	15,14	ДТД	2,14
ДТТ	9,74	ТТТ	11,08

Примечание. Н—насыщенная кислота;
 М—моноеновая }
 Д—дienовая } ненасыщенные кислоты,
 Т—триеновая }

Жирнокислотный состав триглицеридов и моноглицеридной фракции, а также «фактор обогащения» представлены в табл. 1. Фактор обогащения характеризует средство каждой из кислот к среднему или крайним положениям глицерина. Очевидно, оно может изменяться в пределах от 0 и 3.

Позиционно-видовой состав (табл. 2) триглицеридов рассчитывали по видоизмененному Маркманом [12] методу Колемана.

Выводы

1. В результате анализа жирнокислотного состава жирного масла семян Ш. мускатного установлено наличие в триглицеридах девяти жирных кислот, среди которых в наибольшем количестве содержатся линолевая, олеиновая и линоленовая.

Среди моноглицеридов идентифицировано одиннадцать жирных кислот, которые составляют различные сочетания триглицеридов.

Литература

- Зобенко Л. П.—В сб.: Эфирномасличное сырье и технология эфирных масел. М., 1968, с. 90—95.
- Шарапов Н. И.—В сб.: Эфирномасличное сырье и технология эфирных масел. М., 1968, с. 24.
- Иванченко Н. Я.—В сб.: Эфирномасличное сырье и технология эфирных масел. М., 1968, с. 256—263.
- Синягин И. Мускатный шалфей как масличное сырье.—М.: Снабтехиздат, 1932.
- Воскресенская Г. В. Краткий отчет о научно-исследовательской работе за 1953 г.—Краснодар, 1954, с. 114.
- Ахмедова Э. Р., Исмаилов Н. М., Касимов А. Р.—Докл. АН АзССР, 1981, т. XXXVII, № 3, с. 65—69.
- Драновская Л. М.—Масло-жировая пром-сть, 1961, № 6.
- Арутюнян Н. С., Аришева Е. А.—Пищевая пром-ть, 1979, с. 176.
- Earle F. R., Melvin E. H., Mason L. H., Vanetten C. H., Wolff I. A. Search for new industrial oils from plant families.—The Journal of the American Oil Chemists Society, 1959, vol. 36, № 7, p. 304—307.
- Ермаков А. И., Арасимович В. В., Смирнова—Иконникова М. И. Мурри И. К. Методы биохимических исследований растений.—М.—Л.: Сельхозиздат, 1952, с. 520.
- Butterworth P. H. W., Hemming F. N. Intracellular distribution of the free and esterified forms of dolichol in pig liver.—Archives of Biochemistry and Biophysics, 1968, vol. 128, № 2, p. 503—508.
- Маркман А. Л., Черненко Т. В., Умаров А. У.—Прикл. биохимия и микробиология 1969, № 5, с. 616.

Институт ботаники им. В. Л. Комарова

Поступило 14. IV 1982

Е. Р. Эймадова, А. А. Гулиев, Е. И. Кикиенова, В. Д. Гулиев, Н. П. Мекитрева
**АЗЭРБАЙЧАН ШЭРДАНИНДА ЭНБАР СУРВАСИННИН (Salvia sclarea L.)
 ТОХУМЛАРЫНЫН ІАҒ-ТУРШУ ТӘРКИБИ**

Өнбәр сурвасинин тохумларынын јагынын ғағ-туршу тәркебинин анализи иетичә-
 синде триглицеридләрдә дөггүз ғағ туршусу мүәјҗән едилишишdir. Бунлардан линолел,
 олеин ва линолени туршусу чохлуг тәшкил едир.

Моноглицеридләр ичәрсендә он бир ғағ туршусу идентификасија олупуб ки, бун-
 ларда триглицеридләрни мұхтәлиф бирләшмәләрни әмәлә қетирир.

E. R. Ahmedova, A. A. Kuliev, E. I. Gigienova, V. D. Kuliev,
 N. P. Mekhtieva

**COMPOSITION OF OIL ACIDS OF GRAINS SALVIA SCLAREA IN
 THE CONDITIONS OF AZERBAIJAN**

As a result of the analysis of composition of oil acids of grains Salvia sclarea the authors established the presence in three-glycerides of nine oil acids, among which the greatest quantities of linoleic, oleic and linolenic acids were kept; eleven oil acids among the monoglycerides were identified.

ЭДӘБИЈАТШУНАСЛЫГ

Е. М. ЫАЧЫЈЕВА

«ҮЛДҮЗЛУ ТӘПӘ» ДАСТАНЫ

(Азәрбајчан ССР ЕА академици М. З. Җафаров тәрәғиндан тәсдим едилмишdir)

Мөвсес Гагантатлының «Ағван өлкәсінин тарихи» әсәри V—Х әсрләр Азәрбајчан әдәбијаты вә мәдәнијети барәдә дәјәрли мә'лumat верән бир мәнбәдир. Бу әсәрдә верилмиш дастан, нағыл, тәмсил, дини мәвзуда жазылмыш һекај-јухулар, Чаванширии өлүмүнә һәср едилмиш ағы-мәреңі, дуа вә алғышлар, ганунлар, фәрманлар вә мәктублар гәдим Азәрбајчан әдәбијатының мараглы нұмуниәләриндәндер. Түрк халглары, о чүмләдән азәрбајчанлылар өз инам вә е'тигадларыны, арзу вә истәкләрини, дујгуларыны, һиссләрини бу вә дикәр сијаси һадисәләрлә, тарихи шәхсләрлә бағламыш, буны нағылларда, дастанларда, дејимләрдә жашатмышлар. Ичтимай-сијаси һәјатда баш верән һәр бир һадисәје Азәрбајчан фолклору вә бәдии әдәбијаты өз мұнасибетини билдиришишdir. «Ағван өлкәсінин тарихи»ндә верилмиш «Үлдүзлу тәпә» дастанында халгын иғтисади һәјатыны сарсыдан, зәһмәткеш кәндилләрин вәзијәтини ағырлашдыран дағыдычы јүрүшләриң дәрии ииғрәт вә гәзәблә дамғаланмасы, иисанпәрвәрлик, әхлаги сафлығ, әмин-аманлығ-кими мә'нәви кејиғијәтләриң өз эксии тапмасы әсәриң халг ичәрисинде кениш жајымасына сәбәб олмушшур.

VII—X јүзилліктерин тарихи гајнагларындан мә'лум олур ки, гәдим чағлардан бәри Күр чајынын сағ вә сол саңилләрни бојунча жашајан гәбілә бирләшмәләрни отураг вә көчәри һәјат кечирмиш, гоишу гәбілә бирләшмәләрине гарши јүрүшләр едирмиш. Бело јүрүшләрдән бири V јүзиллийни тәхминен 440—445-чи илләриңдә баш верири. Һүнларын һөкмдары бөյүк алајла Күр чајыны кечиб Ути Мил-Гарабағ вилајетинин Халхал шәһәриндә (индики Газах-Агстафа) өз дүшәркәсінин салыр. Гошуниң үч һиссәје бөлүб, она рәһберлік етмәји үч сәркәрдәје тапшырыр. Оныларың бир бөлүјүнү Ағван өлкәсінин Арсағ-Гарабағ вилајетине, о бири бөлүктерини исә Күрчүстән вә Ермәнистан елиңе қөндерир.

«Үлдүзлу тәпә» дастанының гыса мәзмуну: «Күр чајындан шималда жашајан бир гәбіләнин башчысы сәрвәт топламаг иијәтилә гоишу елә јүрүш едир. Сәркәрдәнин гошуни шиддәтли һүчума кечир, өлкәни гарәт едир, шәһәр вә кәндләри дағыдыр, құнақсyz халгы гылышынан кечирир. Гәбілә башчысы Бәрдәнин көклю сакинләриндән олан Азәрбајчан көзәли Тагукини көрүб севир, она сөвләнмәји тәклиф едир. Гәддарлығы илә өјүнән, шәһәр вә кәндләри дағыдан сәркәрдә мәгрүр тәбиэтли Азәрбајчан көзәлини ирадәсінин гыра биімпир. Көзәл Тагукиңокмдара итаёт етмир, онун тәклифиңе истеңза илә жаиашыр.

Азәрбајчан көзәлини гызыл, күмүш, зәнкни либасларла әлә ала-чагына үмид бәсләјән сәркәрдәнин иијәти бу дәфә дә боша чыхыр.

Жүрүшчүләр вар-дөвләтә, заңири учалыға бағланајан Азәрбајчан көзәлинин өзләриңе табе едә билмәдикдә, оны ахирәт дүијасының чәһәниәм өзабы илә һәдәләјирләр. Намуслу өлүмү үстүн тутаң Тагуки кәнара чәкилиб, көjlәр аллаһы Танғырыны көмәјинә ҹагырыр, тәмиз вә пак галмага чалышыр. «Улу танры, мәни утандырма, мұвәggәти тәһлүкәдән мәни сағ вә тәмиз сахла. Сән мәни ишыг селиндән жаратдың, сәнә пәнаң кәтирирәм, елә ет ки, мән бүтүн құнаһлардан узаг, уча вә тәмиз галым.»

Тагукини мәглүб олмадығыны көрән сәркәрдә гәзәбини боя билмир, оны фачиәли шәкилдә әзаб-әзијјәтлә өлдүрмәји әмр едир. Фачиәли шәкилдә өлдүрүлмүш Тагуки мә'нәви чәһәтдән ғәләбә чалыб, ана тәбиэтә.govушур, үлдүзлара јүксәлир. О кечә һөкмдар гошуни шәнилик едәркән онлары горху вә һејрәт бүрүүр. Мин әзабла өлдүрүлән Тагукиниң чәсәдиңдән вә јерә атылмыш чырыг палтарларындан үлдүз сели ахыб, жүрүшчүләрин көзләрини гамашдырыр. Горхуя дүшүб амансыз һәрәкәтиндән пешман олан сәркәрдә өз гошуни илә Тагукиниң чәсәди өнүндә диз чөкүр, онун чәназәсінин вә палтарларыны мүгәддәс бир шејкими горујуб сахламагы әмр едир.

Вәтәнпәрвәрлик, ләјагәти уча тутмаг, паклыг, үлвијјәт, шәрәф, иисаплыг дәјәрини горумаг дастанда өн планда верилир. Мәнисуб олдуғу иәслин айлә намусу, өлкәнин, елиң адыны јүксәк тутмаг, рәзил жашамағданса намуслу өлүмү үстүн тутаң, сәдәгәт, көзәллик, дәрии ағыл, зәка женилмәз ирадә рәмзи олан Тагуки сурәті гәдим Азәрбајчан әдәбијатының мараглы сурәтләриндән биридир вә Азәрбајчанда халг арасында кениш жајымыш «Үлкәр үлдүзу» әфсанәси илә бағылышыр.

«Үлдүзлу тәпә» дастанының Азәрбајчан жазылы вә шифаһи халг әдәбијатының нұмунәси олдуғуну көстәрән дәлилләрдән бири онун өз бәдии гидастыны шифаһи халг әдәбијаты кими зәнкни хәзинәдән алмасыдыр. Әфсанәјә көрә, Давуд пејғәмбәр ашиг олдуғу Үлкәри зорла һәрәмханасына апармаг истәјир. Давуд пејғәмбәр кетмәк истәмәјен Үлкәр узаг бир јерә чәкилиб дуа едир, онун дуасы гәбул олунур. Гыз парлаг үлдүз олуб қөјә чәкилир, она Үлкәр үлдүзу дејирләр.

Чох әламәтдарды ки, «Үлдүзлу тәпә» дастанының идеја-мәзмуну, сүжети өтән әсрләрдән бәри Азәрбајчаның һәм шималында, һәм дә әнүбунда кениш жајымыш «Үлкәр үлдүзу» әфсанәси вә инди дилләрдә дастан олан «Апарды селләр Сараны» дастанындакы идеја, мәзмун, сүжет вә әһвалатла тамамилә ejnidir. Ишғалчы сәркәрдә илә намусуну горујан азәрбајчанлы гыз арасында мүкалимә, сөзләр ejnidir. Кичик фәрг жалызы ондан ибарәтдир ки, «Үлдүзлу тәпә» дастанында Тагукини сәркәрдә әзабла өлдүрүр, «Үлкәр үлдүзу» әфсанәсіндәки Үлкәр исә қөјә чәкилир. «Апарды селләр Сараны» дастанында Сара намусуну горумаг үчүн өзүнү Араза атыб бөгүлур. Ону селләр апарыр. Бу да сәчијјәвидир ки, әфсанәдә вә һәр ики ғәмли дастанда һадисә Бәрдәјә жаҳын бир јердә баш верири.

Тагуки азәрбајчанча парлаг үлдүз демәкдир. Бу сөз түрк, монгол Алтай халгларында да бөյүклик, шимшәк вә илдүримла әлагәләндирлир. Әсәрдә түрк халгларының шимшәк аллаһы Гуар, Көjlәр аллаһы Таңғырыја танынмаларындан дәјәрли мә'лumat верилир.

Дастанда Тагукини христианлығы гәбул етдији тәсвир едилсә дә, мәгрүр тәбиэтли гызын динә мәнфи мұнасибәти өз сөзләриндән бәлли олунур. О, һәр чүр руһани дүнијакөрүшүнә, мөвһумата, хурафата гарши ҹыхараг, эсл сәадатин вә раһатлығын һәјатда олдуғуну сөjlәјир, дүнијәви һисс вә арзулары дини хүлжалардан, ахирәтдән үстүн тутур. Християндлығын тәблиғ етдији ахирәт дүијасының әбди һәјатында хошбәхт

ступом в середине и с вытянутыми концами крыльев составляют третий тип (рис. 1, 3, 4). Древнейшими стрелами такого типа считаются стрелы из Алишаров [5, 323—324, рис. 195, 10], хотя подобные стрелы, обнаруженные в Ганджинском районе [6], Човдаре, Бешташени, Кушчи [7] и других памятниках Закавказья, датируются концом II тыс. до н. э.

Четвертый тип представлен стрелами с миндалевидным лезвием, закругленными и прямыми плечиками (рис. 2, 1—5).

Пятый тип характеризуется двумя экземплярами, отличающимися треугольным лезвием. Один из них — с прямым плечиком, а второй — с немного закругленным (рис. 2, 6, 11).

Аналоги четвертого и пятого типов стрел имеются в Талышских погребениях [2, 75, рис. 76, 4, 5, 12].

Перья стрел шестого типа отличаются подромбовидной формой, скраины которых, параллельно протягиваясь по продольной оси, на конце резко суживаются (рис. 2, 7—10). Стрелы подобного типа встречались в Джульфинской коллекции [8] и в археологических памятниках на территории Армянской ССР [9].

Особого внимания заслуживают стрелы первого и второго типов. Комплекс аналогичных стрел Талышских погребений Ж. Морганом датирован III периодом эпохи бронзы, а К. Шеффером — 1450—1350 гг. до н. э. [2, 73, 5, 497, 41]. Последняя датировка подтверждается комплексом первого типа; полихромные статуэтки, обнаруженные вместе со стрелами, по мотивам росписи характерны для второго периода культуры крашеной керамики Азербайджана. Следовательно, эти стрелы относятся к XV—XIV вв. до н. э.

Последний тип стрел характерен для Джульфинской коллекции, но не представлен в Талышских комплексах, а стрелы третьего, четвертого и пятого типов не представлены в Джульфинской коллекции. Поздний возраст джульфинских находок и близость стрел шестого типа со стрелами урартской эпохи, датированными IX—VIII вв. до н. э., позволяют нам отнести последний тип к XI—X вв. до н. э. Следовательно, остальные типы стрел относятся к XIV—XII вв. до н. э.

Спектральный анализ проб, взятых из стрел, показал, что они изготовлены из различных сплавов меди. При этом медно-мышьяковые, медно-свинцово-свинцовые и медно-оловянно-мышьяковые сплавы представлены двумя экземплярами. Кроме того, один из них оказался медно-свинцовыми и один медно-оловянными. Химический состав остальных предметов характеризуется медью с малыми примесями других элементов.

Химический анализ наконечников стрел показал, что превышение содержания свинца более чем на 1% сопровождается появлением золота. Поэтому можно предполагать, что при изготовлении свинцовых сплавов для наконечников стрел использовались руды Агдеринского золотисто-полиметаллического месторождения.

Исследование кызылванских наконечников в свете ближневосточных и закавказских сопоставлений, а также изучение их химического состава позволяют говорить, что во второй половине II тысячелетия металлообработка в Нахичевани базировалась на местном сырье.

Литература

1. Спицын А. С. — Изв. ИАК. СПб., 1909, вып. 20, ч. 6; Абдуллаев О. А. Энеолит и бронза на территории Нахичеванской АССР. — Баку, 1969, ч. 174—170, 2; Morgan J. Recherches préhistoriques dans le Talyche tina. — Paris, рис. 76, фиг. 76, 3, 5.

3. Асланов Г. М., Вандов Р. М., Ионе Г. И. Древний Мингечаур. — Баку, 1959, табло XV, 10, 4. Джсафарзаде И. М. — Изв. АН АзССР, 1946, № 9, табло IX, № 3, 5. Shaeffer C. F. A. Stratigraphie comparée et chronologie de l'Asie Occidentale. — Lond., 1948. 6. Нариманов И. Г. Археологические памятники Ганджинского района. — Баку, 1958, с. 92, табло XVI, 2, 3, 4/на азерб. яз. 7. Куфтун Б. А. Археологические раскопки в Триалети. — Тбилиси, 1941, табло XIV, рис. 85, 4, 5, 8. Алиев В. Г. — Изв. АН АзССР. Тер. обществ. наук, 1968, № 3, с. 81—82, табло IV, 6, 9. Есаян С. А. Оружие и военное дело древней Армении. — Ереван, 1966, табло VIII, 14.

Институт истории АН АзССР

Поступило 15. VI 1983

В. Б. Бахшалиев

НАХЧЫВАНДАН ТАПЫЛМЫШ ТУНЧ ОХ УЧЛАРЫНЫН БӨЗИ ТИПЛЭРИ БАГЫНДА

Нахчыван МССР эразисинде јерләшəн Гызылвәнк некрополунда анырылан газин-тылар заманы хөјли тунч ох учу ашкар едилемши, лакин идијәдәк кифајэт гәдэр вј-рәнилмәмишdir.

Гызылвәнк ох учларынын Загафгзија вə Яхыш Шәрг ох учлары илə мугајисәли тәһлили бүиларын е. а. II миниллийн иккичи јарысына аид олдугуну көстөрүр, кимҗәви тәркибинин вјроцилмәси исə бу дөврдө металышламәдә јерли хаммалдан истифадә олуңдугуну демәјэ имкән верир.

V. B. Bakhsheiev

ABOUT SOME TYPES OF BRONZE ARROWS WHICH WERE FOUND IN NAKHICHEVAN

As a result of archaeological excavation carried out by N. V. Federov, I. I. Mashennikov and A. A. Muller on the territory of the Kislivank necropolis (Nakhichevan ASSR) many bronze arrows were discovered. But the archaeologists have paid little attention to this event till now. Both the interpretation of the Kislivank arrow heads and the study of their chemical composition show that they dated from the second half of the II-nd millennium and the Nakhichevan metal working at that time rested on the local raw material.

Агрокимја

Э. Н. Күләһмәдов, И. А. Агаев, А. М. Эзимов, Т. М. Агаева.
Юнчаның мәһсүлдарлығына вә мәһсүлүн кеіфійтінә мангани микроелементтерін тә'сіри 55

55

Инсан вә һејванлар физиолокијасы

Н. М. Киреев. Мұхтәлиф нефт жатагларынан көтүрүлмүш нефт вә нефт мәһсүлларының иәрә вә чәки балыглары ганыны тә'сіринә аид тәдгиги иетичеләр 60

60

Тәчрүби тәбабәт

Ж. Ч. Мәммәдов, Ф. И. Исламзадә, Г. Ш. Гараев. Експериментал миокард инфаркттың фонунда террилиттің һепаринин тәтбиги заманы ганыны лахталайма габилийтәті 64

64

Ботаника

Е. Р. Әймәдова, А. А. Гулиев, Е. И. Кикиенова, В. Д. Гулиев, Н. П. Мендиева. Азәрбајҹан шәрәнтиндә әнбәр сүрвәсінин (*Salvia sclarea L.*) тохумларының яғ-туршу тәркиби 69

69

Әдәбијатшүаслыг

Е. М. Ыачыева. «Улдузлу тәпә» дастаны 74

74

Археология

В. Б. Бахшәлиев. Нахчывандан тапталмыш түнч ох учларының бәзи типтери һагында 77

77

МҮНДӘРИЧАТ

Ријазијјат

А. Ел-Кади. Бир гарышыг мәсәләнин һәлли
Ә. Н. Чәфәров. Еңтијатларын бирләшмасынан ибәрәт олан қоалисијалы ојууларын формалашдырылмасы вә редуксијасы һагында
А. Ч. Чәбәрајылов, Р. Ш. Мәммәдов. Областда верилмиш гарышыг тәрәмәли функцијаларын чәкили фәзаларда сәрһәд хассәләри

3

7

10

14

20

25

Механика

Ф. Б. Нагыев, Ф. М. Мәммәдова. Бухар-газ габарчыларының маједә мәчбури рәгсләри
И. М. Аметов, А. М. Мәммәдзәдә, Һ. Ҳ. Мәликов. Газ-маје системләриндә релаксасија һадисәләри

14

20

25

Јарымкечиричиләр вә диелектрикләр физикасы

Н. Э. Чамалов, Б. Ш. Бархалов, Ж. С. Фејзиев, Ч. Ш. Абдиев, Н. А. Йәсәнова. Бисмут атомларының Ві—Sb бәрк мәһілүлү монокристалларының контакт материалы илә аյрылма сәрһәддинин кечид мугавимәтина тә'сіри

25

Магнит һадисәләри физикасы

З. З. Мәмудов, К. М. Султанов, Ш. А. Гулиев. Спин шүшәсіндә әлагәли далгалар һагында

29

Плазма физикасы

А. А. Румянцев, М. Б. Қәримбәјов, К. В. Мануилов. Құнәш фотосферинде далгалар һагында

33

Кимја

Т. Н. Шаһтахтински, О. А. Нәриманбәјов, А. Е. Смолјар, А. Р. Абрамов, Ф. М. Ибраһимова, И. З. Әлиев. Имидазолун катализитик хассәләриниң Квант кимјәви вә тәчрүби тәдгигаты

36

Ұзви кимја

Т. Г. Қазымова, М. М. Ыусејнов, Е. Һ. Асланова, Р. С. Баһаев. P-хлорбензол туршусунун аллил ефириның мұхтәлиф дијенләрлә конденсләшмәсі

40

Гејри-ұзви кимја

О. Э. Әлиев, П. Һ. Рустамов. Tb₂O₃—NiO—B₂O₃ системинде 1100°C-дә гаршылыглы тә'сирин еўрәнишмәсі

44

Ф. М. Чырагов, Ф. Н. Мусаев, Д. Г. Гәмбәров, Ҳ. С. Мәммәдов. Ми-ниң бензој туршусу вә онун пара-һалокенили тәрәмәләри илә әмәлә катиридији комплекс бирләшмәләрини рентгенографик вә термики тәдгиги

48

Физики кимја

Е. Н. Эмирбәјов, Ә. Б. Ыусејнов, Е. Э. Мәммәдов, Р. И. Ризаев. Реаксија гарышының тә'сирин алтында толуолун оксидләшdirичи аммонијуз катализаторунун туршу-әсаси хассәләрини дајишмәсі

51

Агрономия

А. Н. Гюльхамедов, И. А. Агаев, А. М. Азимов, Т. М. Агаева,
Влияние микроэлемента марганца на урожай и качество люцерны 55

Физиология человека и животных

И. М. Гиреев. Экспериментальные данные о влиянии нефти и нефтепро-
дуктов разных месторождений на показатели крови молоди осетровых и карпо-
вых рыб 60

Экспериментальная медицина

Я. Д. Мамедов, Ф. И. Ислам-заде, Г. Ш. Гараев. Свертывающая
и противосвертывающая активность крови на фоне экспериментального инфарк-
та миокарда при применении комплекса терриптин-гепарин 64

Ботаника

Э. Р. Ахмедова, А. А. Кулев, Э. И. Гигинова, В. Д. Кулев,
Н. Н. Мехтиев. Жирноислотный состав семян шалфея мускатного (*Salvia
Sclarea L.*) в условиях Азербайджана 69

Литературопедагогика

Э. М. Гаджиева. Дистан «Звездный холм» 74

Археология

В. Б. Вахшиев. О некоторых типах бронзовых наконечников стрел
из Нахичевани 77

СОДЕРЖАНИЕ

Математика

А. Эль-Кади. Решение одной смешанной задачи	3
А. Н. Джалилов. О формализации и редукции коалиционных игр с объ- единением ресурсов	7
А. Д. Джабрайлов, Р. Ш. Мамедов. Границные свойства заданных в области функций со смешанными производными из бесконечных пространств	10

Механика

Ф. Б. Нагиев, Ф. М. Мамедова. Колебания парогазовых пузырьков в акустическом поле	14
И. М. Аметов, А. М. Мамед-заде, Г. Х. Мубиков. О релаксацион- ных явлениях в газожидкостных системах	20

Физика полупроводников и диэлектриков

Н. А. Джамалов, В. Ш. Бархалов, Я. С. Фейзиев, Д. Ш. Абди- ев, И. А. Гасanova. Влияние концентрации атомов висмута на переходное сопротивление на границе раздела монокристаллов твердых растворов Bi-Sb с контактным материалом	25
---	----

Физика магнитных явлений

З. З. Махмудов, К. М. Султанов, Ш. А. Кулев. Связанные волны в проводящих сплошных стеках	29
--	----

Физика плазмы

А. А. Румянцев, М. Б. Керимбеков, К. В. Мунуилов. О волнах в фотосфере солнца (II)	33
---	----

Химия

Т. Н. Шахтахтинский, О. А. Нариманбеков, А. Е. Смолир, А. Р. Абрамов, Ф. М. Ибраимова, И. З. Алиев. Квантовохимическое и экспериментальное исследование катализитических свойств имидазола	36
--	----

Органическая химия

Т. Г. Кязимова, М. М. Гусейнов, З. Г. Асланова, Р. С. Вабен. Конденсация аллилового эфира <i>n</i> -хлорбензойной кислоты с различными никличес- кими диполями	40
--	----

Неорганическая химия

О. А. Алиев, П. Г. Рустамов. Изучение взаимодействия в системе $Tb_2O_3-NiO-V_2O_5$ при 1100 °C	44
Ф. М. Чиряев, Ф. Н. Мусев, Д. Г. Гамбиров, Х. С. Мамедов. Рентгенографическое и термическое исследование комплексов Mn (II) с бензойной кислотой и ее параглогонопроизводными	48

Физическая химия

Э. Н. Амирбеков, А. В. Гусейнов, Э. А. Мамедов, Р. Г. Риязев. Изменение кислотно-основных свойств катализатора окислительного аммонийной толуола под воздействием реакционной смеси	51
---	----

9. Текст статьи печатается на белой бумаге через два интервала на одной стороне листа стандартного размера, с полями с левой стороны (не более 28 строк на одной странице по 58—60 знаков в строке). В тексте нельзя делать рукописные вставки и вклейки.

Статьи, напечатанные на портативной машинке, не принимаются.

10. Текст статьи должен быть изложен кратко, тщательно отредактирован и подписан авторами в печать. В математических статьях желательно избегать доказательств теорем, лемм и т. п. При использовании в тексте сокращенных названий (кроме общепринятых) необходимо давать их расшифровку.

11. Математические и химические формулы и символы в тексте должны быть вписаны четко. Следует избегать громоздких обозначений, применения, например, дробные показатели степени вместо радикалов, а также \exp . Занумерованные формулы обязательно выключаются в красную строку, номер формулы ставится у правого края страницы. Желательно нумеровать лишь те формулы, на которые имеются ссылки. Подстрочные и надстрочные индексы и степени следует отмечать карандашом, дугами сверху и снизу:

$$R^n, \ r_n$$

Греческие буквы нужно обводить (в кружок) красным карандашом. Буквы готического шрифта и рукописные в рукописях не использовать, векторные величины — подчеркивать черным, буквы латинского рукописного шрифта следует отметить на полях (например, H рукоп.).

Во избежание ошибок следует четко обозначать прописные (заглавные) и строчные буквы латинского алфавита, имеющие сходное начертание ($Cc; Kk; Pp; Oo; Ss; Uu; Vv$; и т. д.), буквы $I(i)$ и $J(j)$ букву I и римскую единицу I , а также арабскую цифру I и римскую I' (вертикальная черта), I и штрихи в индексах, I (латинское эль) и e . Прописные буквы подчеркивают карандашом двумя черточками снизу (C), а строчные — сверху (c).

Следует избегать знаков типа \sim (волна), $\odot, \oplus, \otimes; \square | \square |, \diamond, \vee, \wedge$

(крышки) над и под буквами, а также знаков:

$$\hbar, \times, \underline{\epsilon}, \phi, \dot{\phi}, \ddot{\epsilon}$$

Латинские названия вписываются на машинке.

Слова «теорема», «лемма», «следствие», «определение», «замечание» и т. п. следует подчеркивать штриховой чертой, а текст утверждений типа теорем — волнистой чертой (исключая математические символы).

При выборе единиц измерения рекомендуется придерживаться международной системы единиц СИ.

12. При описании методики исследования следует ограничиваться оригинальной ее частью. При элементном анализе приводить только усредненные данные.

13. Необходимо тщательно проверить написание местных географических названий.

14. Цитированная литература проводится общим списком на отдельной странице: ссылки в тексте даются порядковым номером в круглых скобках над строкой (например, ¹). Список литературы оформляется следующим образом:

для книг: инициалы и фамилии авторов, полное название книги, место и год издания;

для журнальных статей: инициалы и фамилии авторов, название журнала, номер тома, номер выпуска, страница и год издания.

Ссылки на неопубликованные работы не допускаются.

15. Все статьи должны иметь резюме на английском языке, кроме того статьи написанные на русском и азербайджанском языках должны иметь резюме на азербайджанском и на русском соответственно.

Публикация статьи в «Докладах» не препятствует напечатанию расширенного ее варианта в другом периодическом издании.

Сдано в набор 09. 01. 85. Подписано к печати 20. 02. 85. ФГ 00107. Формат бумаги 70×100^{1/16}. Бумага типографская № 1. Гарнитура шрифта литературная. Печать высокая. Усл. печ. лист 6,82. Усл. кр.-отт. 6,82. Уч.-изд. лист 5,30. Тираж 590. Заказ 22. Цена 70 коп.

Издательство «Элм».

370143 Баку-143, проспект Нариманова, 31, Академгородок, Главное здание
Типография «Красный Восток» Государственного комитета Азербайджанской ССР
по делам издательства, полиграфии и книжной торговли, Баку, ул. Ази Асланова, 80

70 гэп.
коп.

Индекс
76355